

第316回群馬大学アナログ集積回路研究会

IGBTの伝導とスイッチング特性

松田順一
群馬大学

日時 2016年12月02日(金) 14:00~17:00

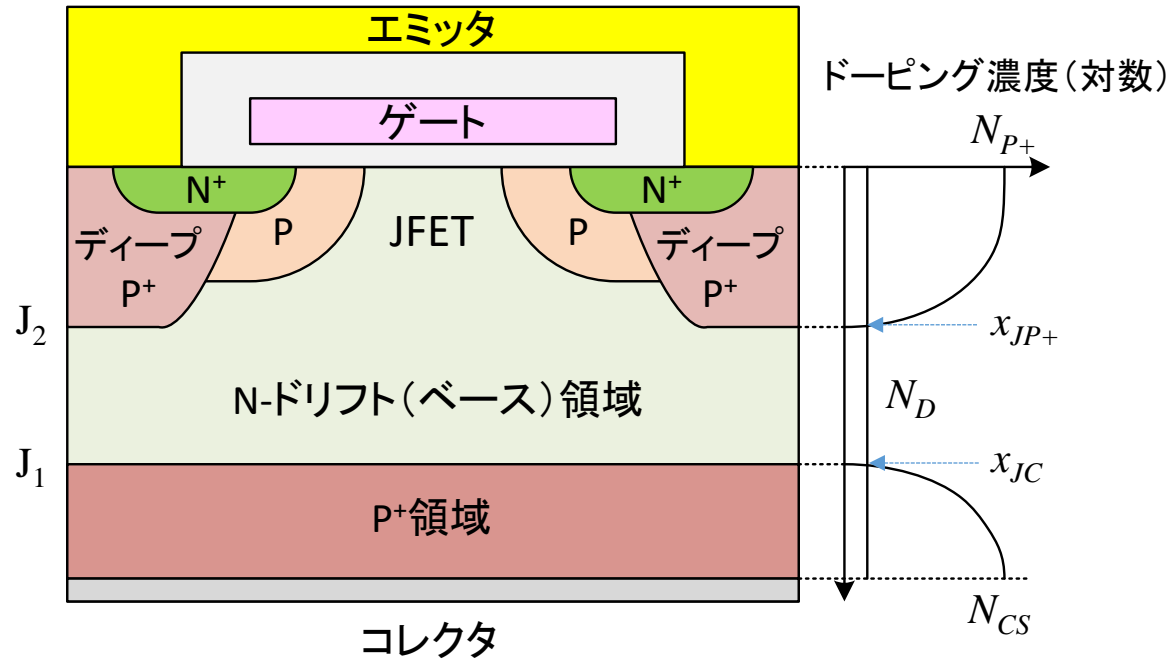
場所 群馬大学理工学部(桐生キャンパス)総合研究棟502号室

概要

- IGBTの構造
- IGBTの動作と出力特性
- IGBT等価回路
- ブロッキング特性
 - 対称型IGBT(順方向と逆方向ブロッキング、リーク電流)、非対称型IGBT(順方向と逆方向ブロッキング、リーク電流)
- オン状態の特性
 - オン状態モデル、対称型IGBT(オン状態キャリア分布、オン状態電圧降下)、非対称型IGBT(オン状態キャリア分布、オン状態電圧降下)
- 電流飽和モデル
 - 対称型IGBT(キャリア分布、出力特性、出力抵抗)、非対称型IGBT(キャリア分布、出力特性、出力抵抗)
- スwitchング特性
 - ターンオン特性(フォワード・リカバリ)、ターンオフ特性(無負荷状態、抵抗負荷、インダクタ負荷)、ターンオフ期間のエネルギー損失、パワー損失最適化

参考文献 B. Jayant Baliga, “Fundamentals of Power Semiconductor Devices,” Springer Science + Business Media, 2008

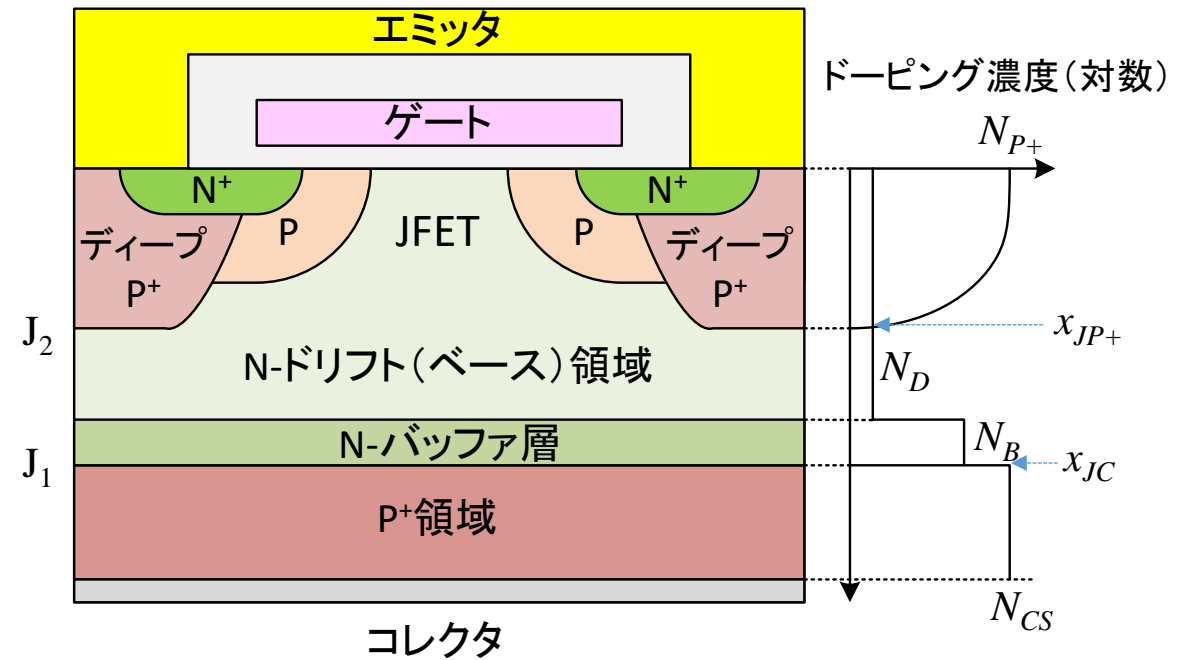
IGBTの構造



対称型IGBT(ノンパンチスルー型)

使用基板: N型(ブロッキング電圧に応じた濃度と厚み)

P+領域(コレクタ): ウエハの裏面からP+拡散

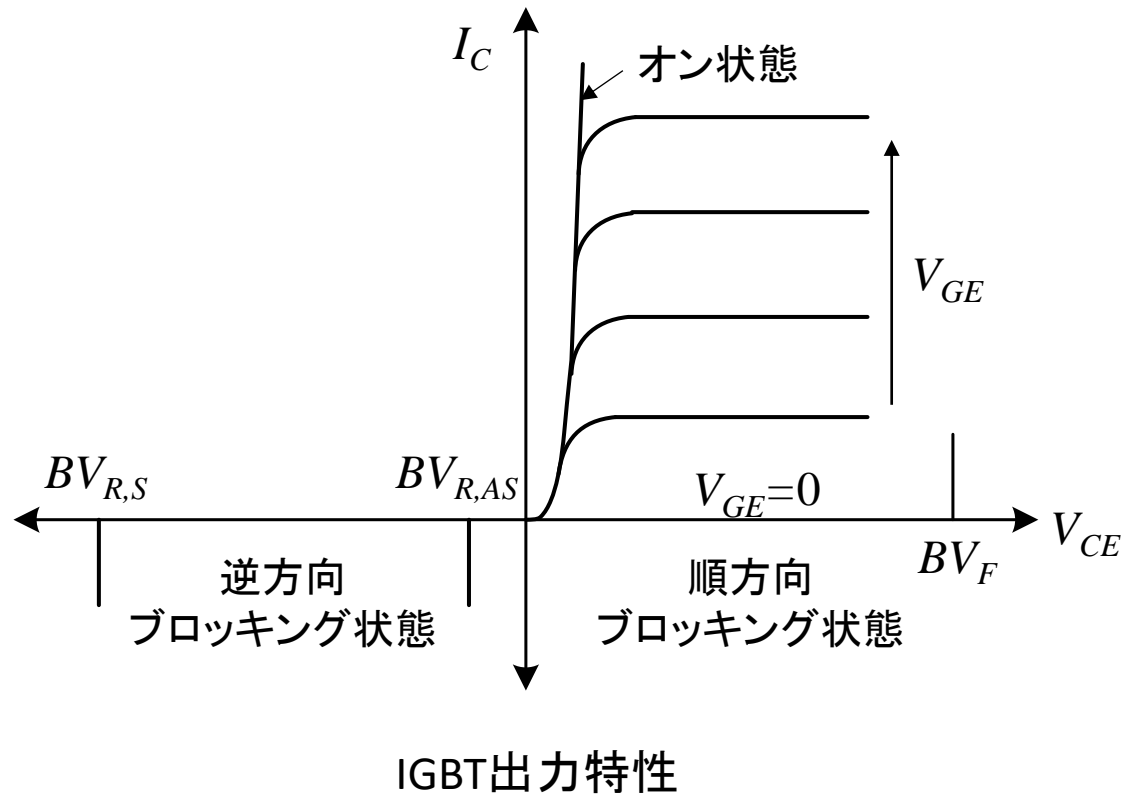


非対称型IGBT(パンチスルー[フィールド・ストップ]型)

使用基板: P+型(コレクタ)

N-バッファとN-ドリフト領域: エピタキシャル成長
(ブロッキング電圧に応じた濃度と厚み)

IGBTの動作と出力特性



・ブロッキング特性 (PNPオープン・ベース・ブレークダウン電圧)

順方向ブロッキング: J_2 逆バイアス、 J_1 順バイアス

対称型耐圧: N-ベース領域の厚みと少数キャリア・ライフタイム起因

非対称型耐圧: N-ベースの低濃度領域の厚み起因

逆方向ブロッキング: J_1 逆バイアス、 J_2 順バイアス

対称型耐圧: 順方向ブロッキングの場合と同じ

非対称型耐圧: J_1 で高耐圧をサポート不可⇒DC用途

・オン状態特性

大きなゲート電圧 (MOSFET線型領域)

IGBTの特性⇒PiNダイオード特性

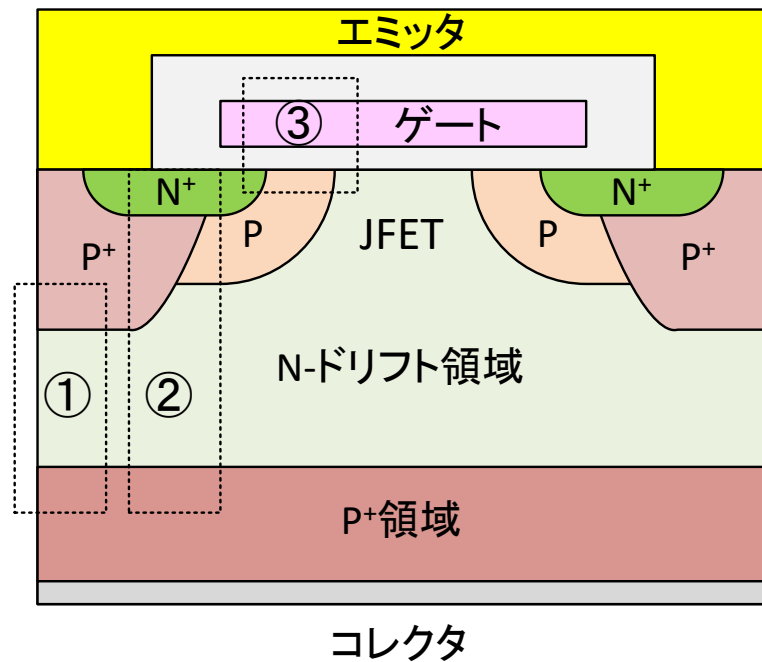
低いゲート電圧 (MOSFET飽和領域)

IGBTの特性⇒飽和電流特性 (∵ベース電流飽和)
(短絡回路保護に有効)

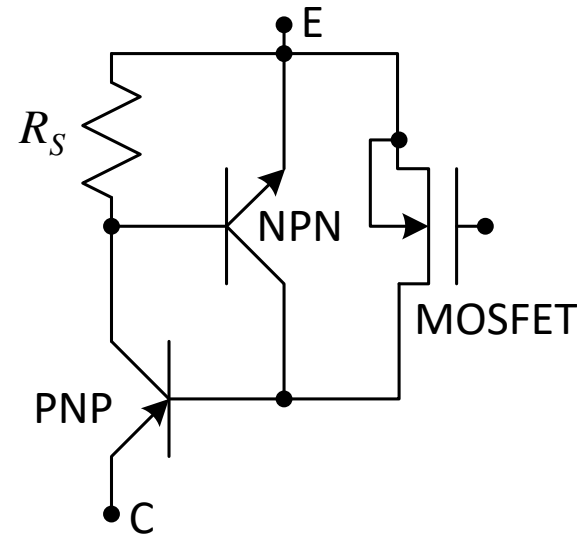
・スイッチング損失 (ターンオフ)

スイッチング損失とオン状態電圧降下⇒トレードオフの関係

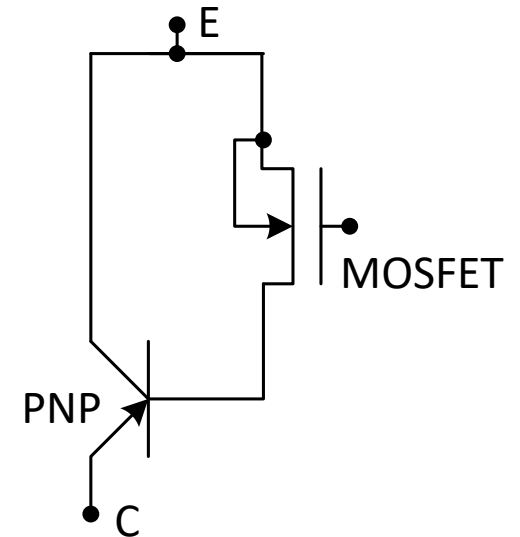
IGBT等価回路



- ① PNPバイポーラ・トランジスタ
- ② 寄生サイリスタ
- ③ MOSFET



等価回路
(寄生サイリスタ有り)

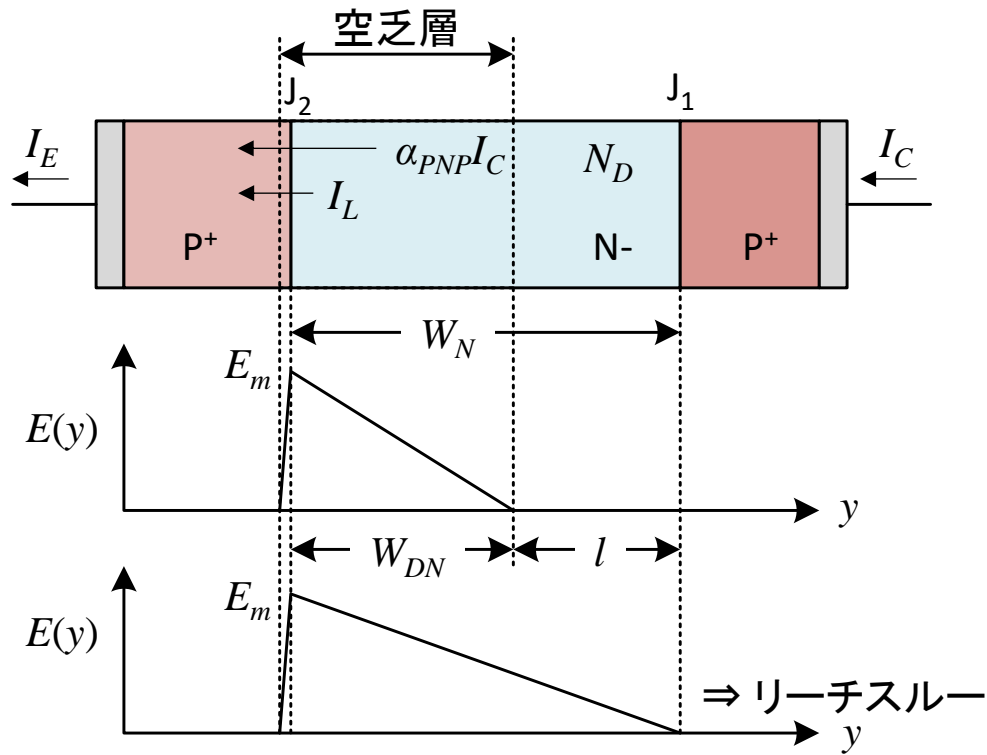


等価回路
(寄生サイリスタ無し)

寄生サイリスタの動作を完全に抑えることが重要

(ディープP+⇒ラッチアップ抑制)

対称型順方向ブロッキング特性



リーチスルーの場合のブレークダウン電圧

$$BV_{RT} = \frac{qN_D}{2\epsilon_S} W_N^2$$

オープン・ベース・ブレークダウン条件

$$\alpha_{PNP} = \gamma_E \alpha_T M = 1$$

$$\therefore \begin{cases} I_C = \alpha_{PNP} I_C + I_L \\ I_C = \frac{I_L}{1 - \alpha_{PNP}} \end{cases}$$

$$\alpha_T = \frac{1}{\cosh(l/L_P)}$$

$$l = W_N - \sqrt{\frac{2\epsilon_S V_C}{qN_D}}$$

$$M = \frac{1}{1 - (V_C/BV_{PP})^n}$$

α_{PNP} : ベース接地電流利得

$\gamma_E (\doteq 1)$: J_1 の注入効率

α_T : ベース輸送ファクター

M : キャリア増倍係数

L_P : ベース領域の正孔の拡散長

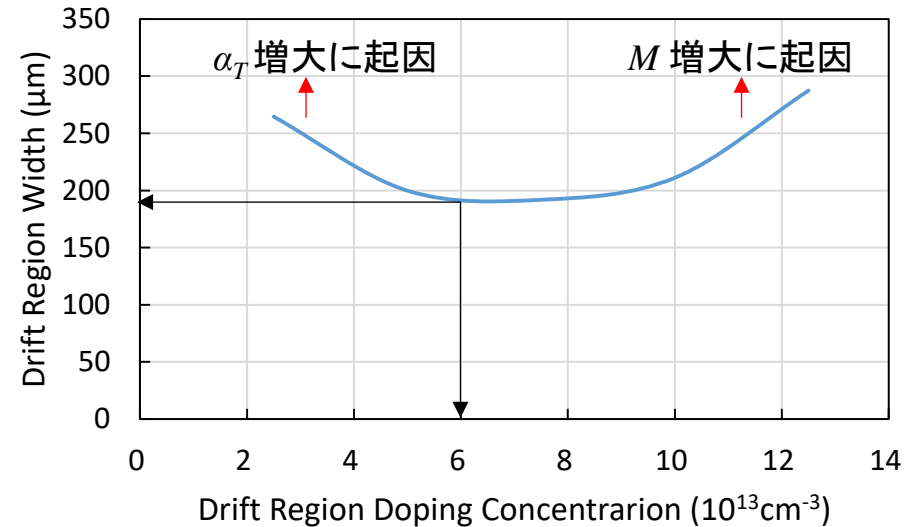
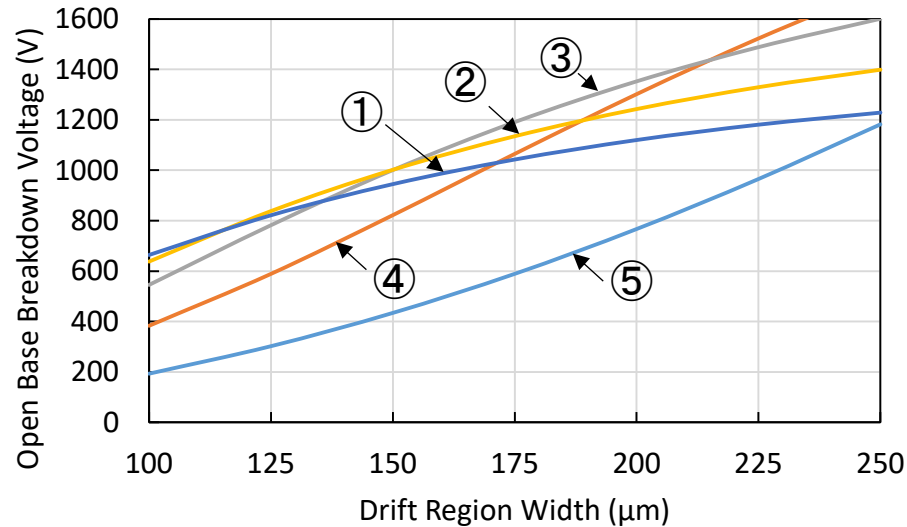
V_C : コレクタ電圧

$$BV_{PP} = 5.24 \times 10^{13} N_D^{-3/4} \text{ (V)}$$

$N_D \text{ (cm}^{-3}\text{)}$

n=6: P+/Nダイオードの場合

オープン・ベース・ブレークダウン電圧とドリフト領域幅の関係 (ドリフト領域幅とドーピング濃度の最適値導出)



オープン・ベース・ブレークダウン電圧と
ドリフト領域長さの関係 (N_D : パラメータ)
(対称型順方向ブロッキング特性)

ドリフト領域幅とドーピング濃度の関係
オープン・ベース・ブレークダウン電圧: 1200V
(マージンをみて1300Vでプロット)

最小ドリフト領域幅(190 μ m)の時の
ドーピング濃度 $\Rightarrow 6 \times 10^{13} \text{cm}^{-3}$ (最適値)

① $N_D = 1.25 \times 10^{14} \text{cm}^{-3}$

④ $N_D = 5.0 \times 10^{13} \text{cm}^{-3}$

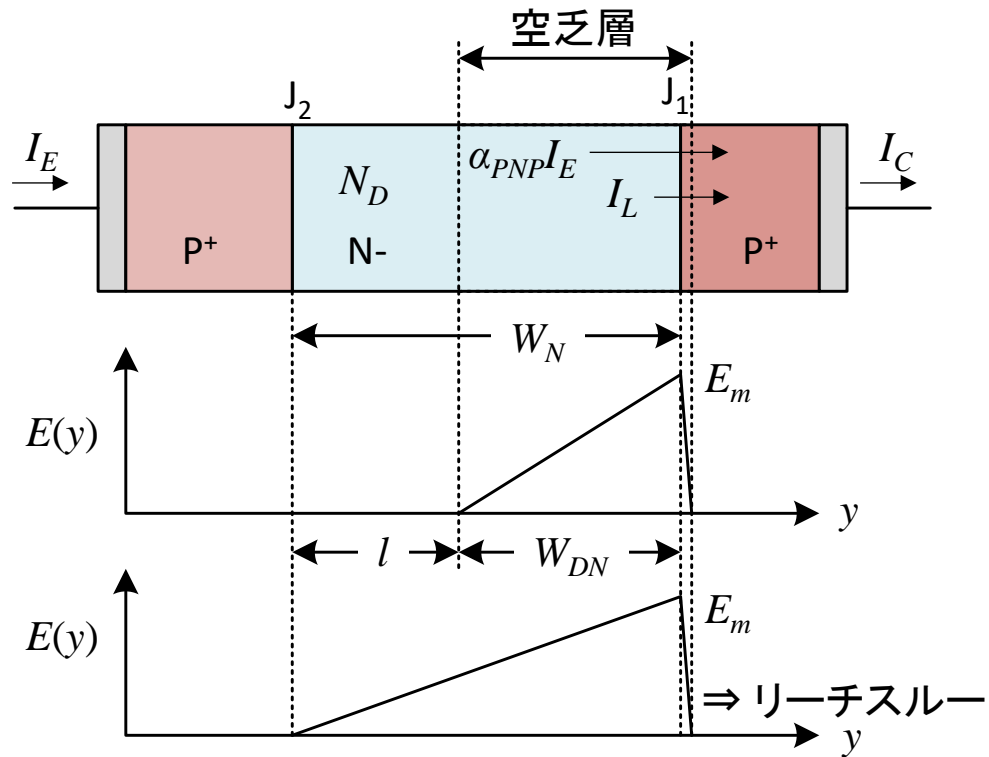
② $N_D = 1 \times 10^{14} \text{cm}^{-3}$

⑤ $N_D = 2.5 \times 10^{13} \text{cm}^{-3}$

③ $N_D = 7.5 \times 10^{13} \text{cm}^{-3}$

N ドリフト領域内の少数キャリアライフタイム $\tau_p = 10 \mu\text{s}$ と仮定

対称型逆方向ブロッキング特性



対称型逆方向ブロッキング特性

⇒ 対称型順方向ブロッキング特性と同様
(オープン・ベース・ブレークダウン条件)

電界ピーク位置

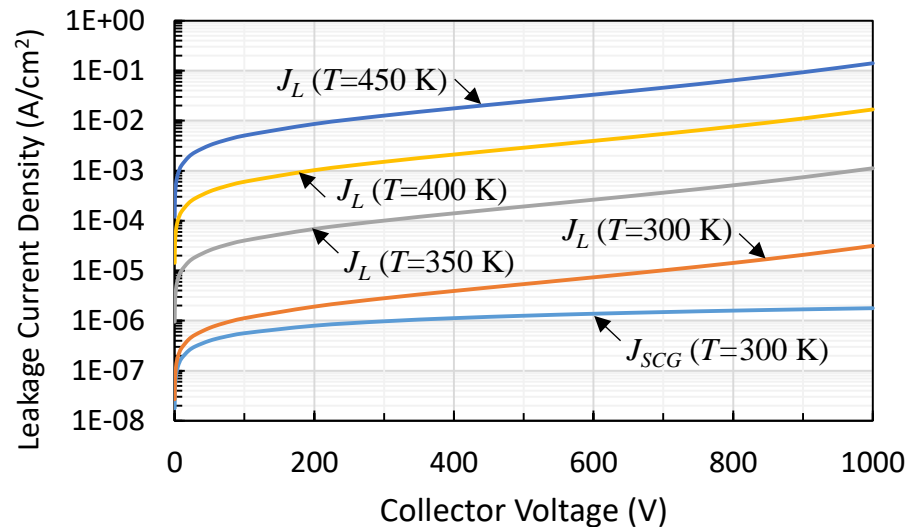
対称型順方向ブロッキング ⇒ J_2

対称型逆方向ブロッキング ⇒ J_1

リーチスルーの場合のブレークダウン電圧

$$BV_{RT} = \frac{qN_D W_N^2}{2\epsilon_S}$$

対称型構造のリーク電流特性(温度依存性)



リーク電流密度のコレクタ電圧依存性

$$W_N = 200 \mu\text{m} \quad N_D = 5 \times 10^{13} \text{ cm}^{-3} \quad \tau_{SC} = 20 \mu\text{s} \quad \tau_p = 10 \mu\text{s}$$

$$\alpha_{PNP} \cong \alpha_T \quad (M = 1)$$

$$\alpha_T = \frac{1}{\cosh(l/L_p)} \quad L_p = \sqrt{D_p \tau_p} \quad D_p = \frac{kT}{q} \mu_p$$

リーク電流密度 J_L (空乏層内の発生電流密度 J_{SCG})
 \Rightarrow 内部のPNPトランジスタが J_{SCG} を増幅

$$J_L = \frac{J_{SCG}}{1 - \alpha_{PNP}}$$

$$J_{SCG} = \frac{qW_D n_i}{\tau_{SC}} = \frac{n_i}{\tau_{SC}} \sqrt{\frac{2q\epsilon_s V_C}{N_D}}$$

τ_{SC} : 空間電荷発生ライフタイム

τ_p : ベース領域少数キャリア・ライフタイム

D_p : ベース領域少数キャリア拡散係数

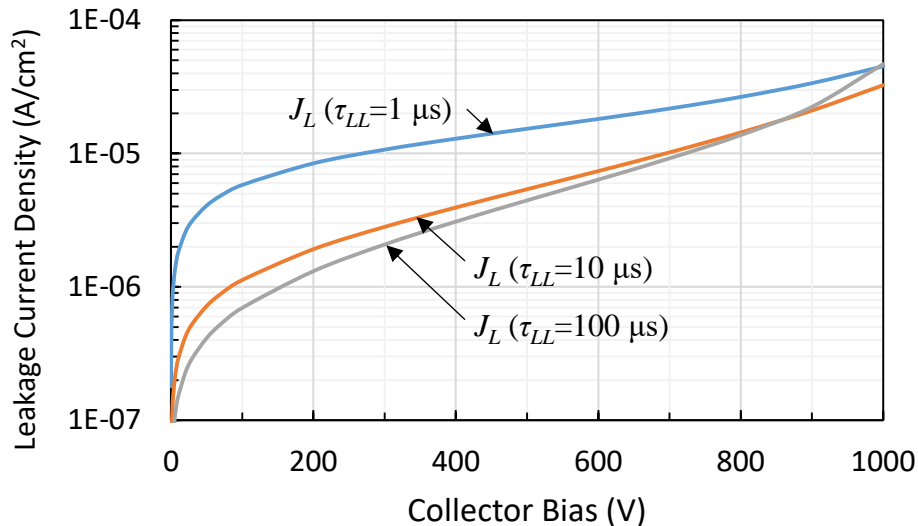
k : ボルツマン定数

T : 絶対温度

q : 素電荷量

μ_p : ベース領域少数キャリア移動度

対称型構造のリーク電流特性 (ライフタイム依存性)



リーク電流密度のコレクタ電圧依存性

$\tau_p \rightarrow \tau_{LL}$ (低レベル・ライフタイム)

$\tau_{SC} = 2\tau_{LL}$ 仮定

$W_N = 200 \mu\text{m}$ $N_D = 5 \times 10^{13} \text{ cm}^{-3}$

$\alpha_{PNP} \cong \alpha_T M$ $T = 300 \text{ K}$

ベース空乏層内の発生電流

$$J_L(\tau_{LL} = 1 \mu\text{s}) > J_L(\tau_{LL} = 10 \mu\text{s})$$

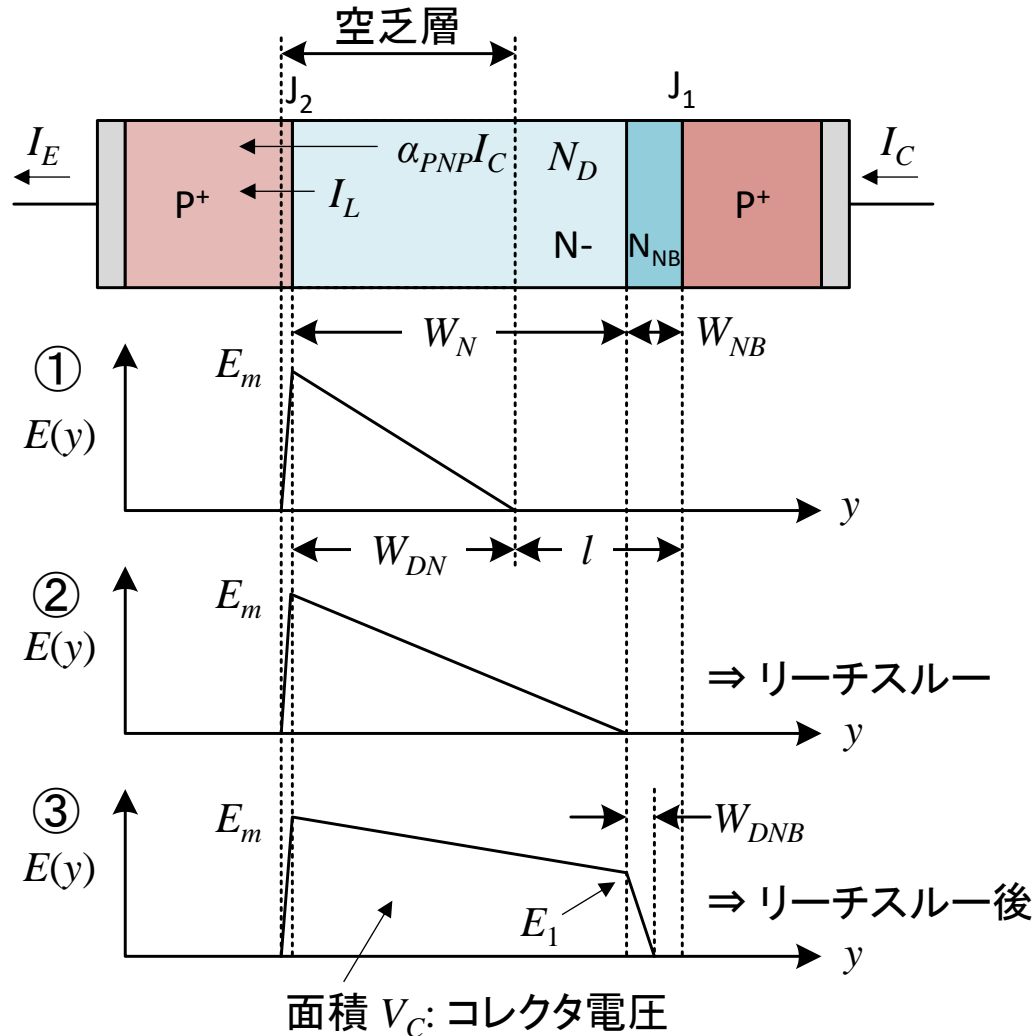
$$J_L(\tau_{LL} = 100 \mu\text{s}) < J_L(\tau_{LL} = 10 \mu\text{s})$$

ベース中性領域内の拡散電流

$$J_L(\tau_{LL} = 1 \mu\text{s}) < J_L(\tau_{LL} = 10 \mu\text{s})$$

$$J_L(\tau_{LL} = 100 \mu\text{s}) > J_L(\tau_{LL} = 10 \mu\text{s})$$

非対称型順方向ブロッキング特性(1)



① 空乏層幅 $W_{DN} \ll N$ ベース幅 W_N の場合の耐圧

$$BV_{PP} = 5.24 \times 10^{13} N_D^{-3/4} \text{ (V)} \quad N_D \text{ (cm}^{-3}\text{)}$$

② リーチスルー時 ($E_m < E_C$: 臨界電界) のコレクタ電圧

$$V_{RT} = \frac{qN_D W_N^2}{2\epsilon_s}$$

③ パンチスルー発生後の耐圧

$$BV_{PT} = E_C W_N - \frac{qN_D W_N^2}{2\epsilon_s}$$

⇒ 実際には、オープン・ベース・ブレークダウン現象が発生し、耐圧は BV_{PT} より低下する。

(注) ①～③の縦軸のスケールは異なる

非対称型順方向ブロッキング特性(2)

オープン・ベース・ブレークダウン条件

$$\alpha_{PNP} = \gamma_E \alpha_T M = 1$$

$$\therefore \begin{cases} I_C = \alpha_{PNP} I_C + I_L = I_E \\ I_C = \frac{I_L}{1 - \alpha_{PNP}} \end{cases}$$

$$\alpha_T = \frac{1}{\cosh(W_{NB}/L_{P,NB})}$$

$$\gamma_E = \frac{D_{P,NB} L_{nE} N_{AE}}{D_{P,NB} L_{nE} N_{AE} + D_{nE} W_{NB} N_{DNB}}$$

$$M = \frac{1}{1 - (V_{NPT}/BV_{PP})^n}$$

n=6: P⁺/Nダイオードの場合

$L_{P,NB}$: Nバッファ層の少数キャリアの拡散長

$D_{P,NB}$: Nバッファ層の少数キャリアの拡散係数

L_{nE} : P⁺コレクタ領域の少数キャリアの拡散長

D_{nE} : P⁺コレクタ領域の少数キャリアの拡散係数

N_{AE} : P⁺コレクタ領域のドーピング濃度

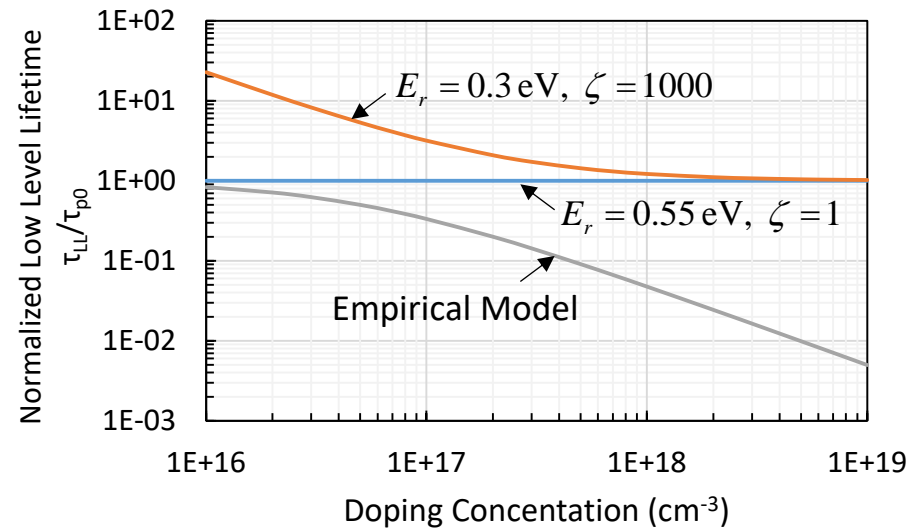
N_{DNB} : Nバッファ層のドーピング濃度

W_{NB} : Nバッファ層の幅

V_{NPT} : ノンパンチスルー電圧

(Nバッファ層内での空乏層広がり無視)

非対称型順方向ブロッキング特性(3)



規格された低レベル・ライフタイムとドーピング濃度の関係

低レベル・ライフタイム (Nドリフト領域のドーピング濃度に依存)

$$\frac{\tau_{LL}}{\tau_{p0}} = \left[1 + \frac{n_i}{N_D} e^{(E_r - E_i)/kT} \right] + \zeta \frac{n_i}{N_D} e^{-(E_r - E_i)/kT}$$

$$\zeta = \frac{\tau_{n0}}{\tau_{p0}} \quad E_r: \text{再結合中心のエネルギー位置}$$

低レベル・ライフタイムの経験式 (Empirical Model)

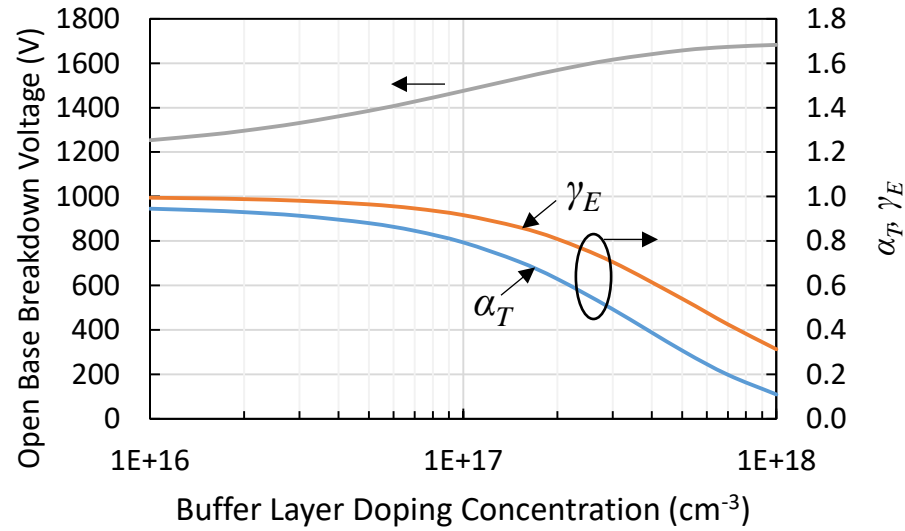
$$\frac{\tau_{LL}}{\tau_{p0}} = \frac{1}{1 + (N_D/N_{REF})} \quad N_{REF} = 5 \times 10^{16} \text{ cm}^{-3}$$

Nバッファ層の少数キャリアの拡散長

$$L_{P,NB} = \sqrt{D_{P,NB} \tau_{LL}} \quad D_{P,NB} = \frac{kT}{q} \mu_{P,NB}$$

$\mu_{P,NB}$: Nバッファ層内の少数キャリア移動度

非対称型順方向ブロッキング特性(4)



オープン・ベース・ブレイクダウン電圧の
Nバッファ層ドーピング濃度依存性

$$W_N = 100 \mu\text{m} \quad W_{NB} = 10 \mu\text{m}$$

$$N_D = 5 \times 10^{13} \text{ cm}^{-3} \quad \tau_{P0} = 1 \mu\text{s}$$

$$T = 300 \text{ K}$$

ノンパンチスルー電圧: V_{NPN}

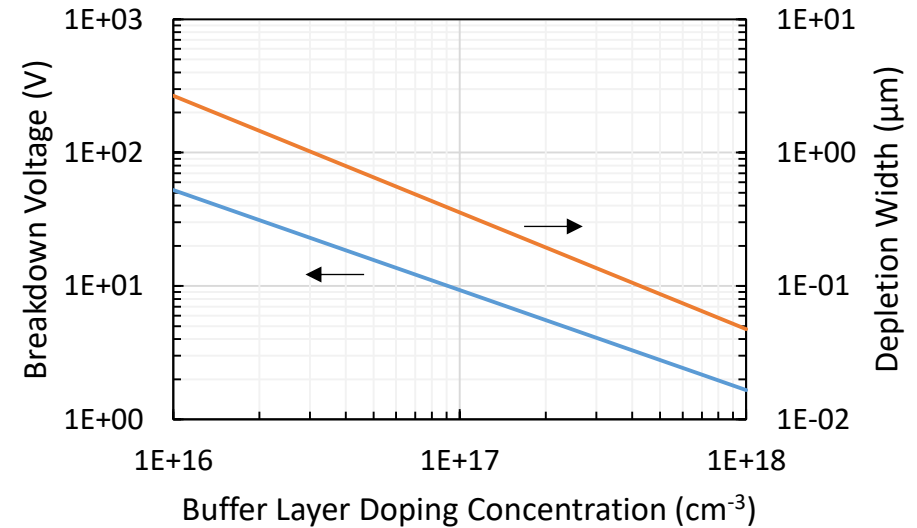
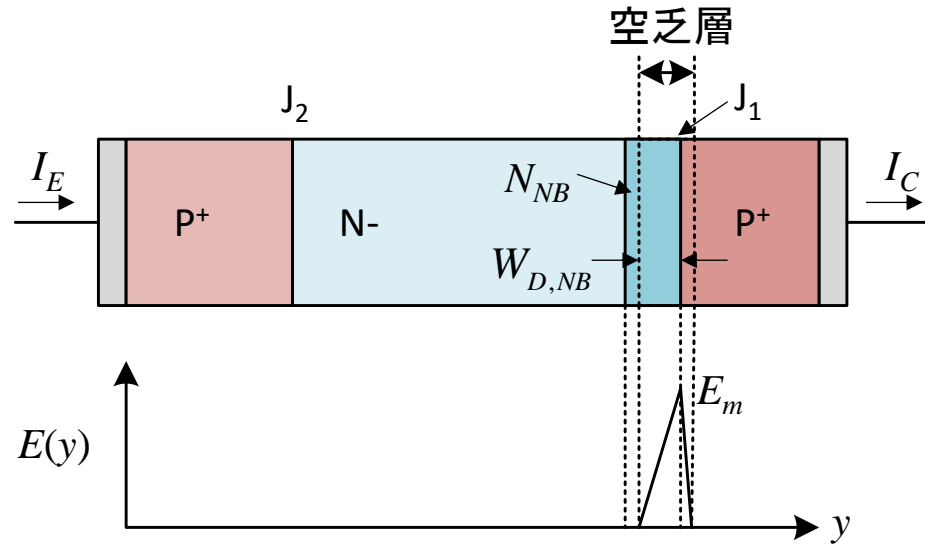
$$V_{NPT} = \frac{\epsilon_S E_m^2}{2qN_D} = \frac{\epsilon_S}{2qN_D} \left(\frac{V_C}{W_N} + \frac{qN_D W_N}{2\epsilon_S} \right)^2$$

$$\begin{cases} V_C = \left(\frac{E_m + E_1}{2} \right) W_N = E_m W_N - \frac{qN_D}{2\epsilon_S} W_N^2 \\ \vdots \\ E_1 = E_m - \frac{qN_D W_N}{\epsilon_S} \end{cases}$$

オープン・ベース・ブレイクダウン電圧導出

- ① オープン・ベース・ブレイクダウン条件から M を導出
- ② M の式から V_{NPT} を導出
- ② V_{NPT} の式から V_C を導出

非対称型逆方向ブロッキング特性



耐圧と空乏層広がりとのNバッファ層ドーピング濃度依存性

ブロッキング電圧: J_1 接合のアバランシェ耐圧

$$BV_{RB} = 5.24 \times 10^{13} N_{NB}^{-3/4} \text{ (V)}$$

\therefore Nベースの中性領域幅が広いから α_T 小

アバランシェ破壊時のNバッファ層内の空乏層広がり

$$W_{D,NB} = 2.60 \times 10^{10} N_{NB}^{-7/8} \text{ (cm)} \quad N_{NB} \text{ (cm}^{-3}\text{)}$$

非対称型構造の順方向リーク電流(1)

リーク電流密度 J_L (空乏層内の発生電流密度 J_{SCG})
 ⇒ 内部のPNPトランジスタが J_{SCG} を増幅

$$J_L = \frac{J_{SCG}}{1 - \alpha_{PNP}} \quad J_{SCG} = \frac{qW_D n_i}{\tau_{SC}} = \frac{n_i}{\tau_{SC}} \sqrt{\frac{2q\epsilon_s V_C}{N_D}} \quad \tau_{SC}: \text{空間電荷発生ライフタイム}$$

低いコレクタ電圧の場合(空乏層がNバッファ層にリーチスルーする前)

$$\alpha_{PNP} = \alpha_T = \alpha_{T,N-Buffer} \alpha_{T,N-Base} \quad \because M = 1$$

$J_P(W_{NB}-)$: NバッファとNドリフト界面での正孔電流密度
 $J_P(y_N)$: NバッファとP+コレクタ接合での正孔電流密度

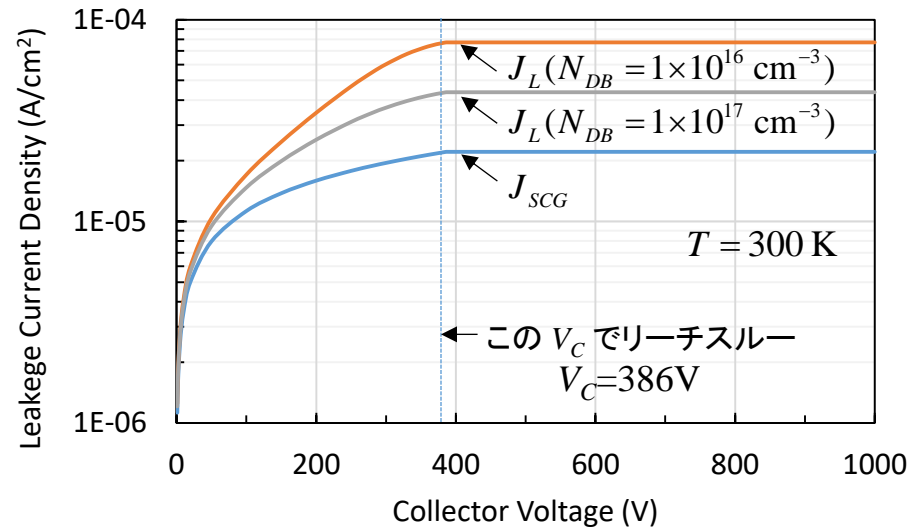
$$\alpha_{T,N-Buffer} = \frac{J_P(W_{NB}-)}{J_P(y_N)} = \frac{\gamma_E J_C e^{-W_{NB}/L_{P,NB}}}{\gamma_E J_C} = e^{-W_{NB}/L_{P,NB}}$$

$$\alpha_{T,N-Base} = \frac{1}{\cosh[(W_N - W_{DN})/L_{P,N}]} \quad W_{DN} = \sqrt{\frac{2\epsilon_s V_C}{qN_D}} \quad \Rightarrow J_L \text{ は } V_C \text{ とともに上昇}$$

高いコレクタ電圧の場合(空乏層がNバッファ層にリーチスルーした後)

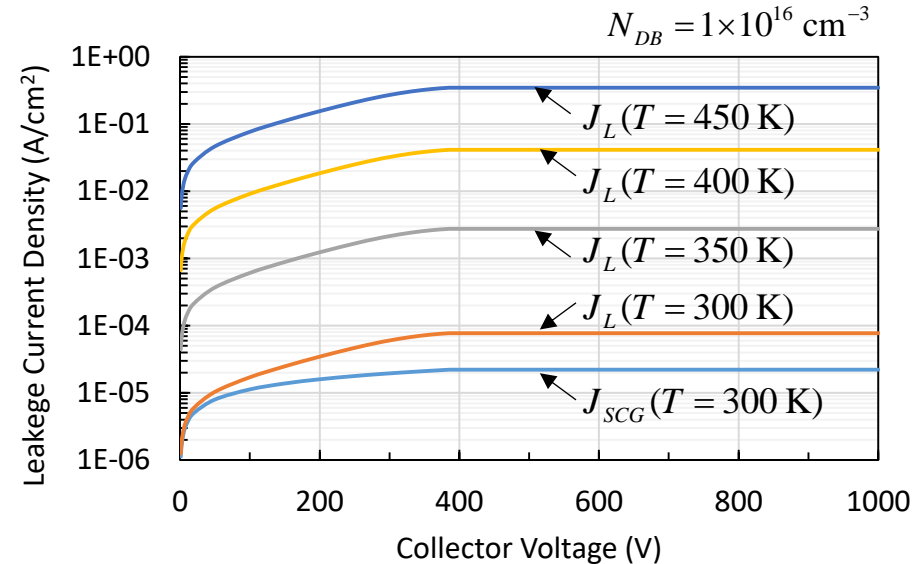
⇒ 空乏層はNバッファ層内にほとんど広がらない
 ⇒ 空乏層内の発生電流は飽和する } ⇒ J_L は V_C に対し一定

非対称型構造の順方向リーク電流(2)



リーク電流密度のコレクタ電圧依存性
(N_{DB} パラメータ)

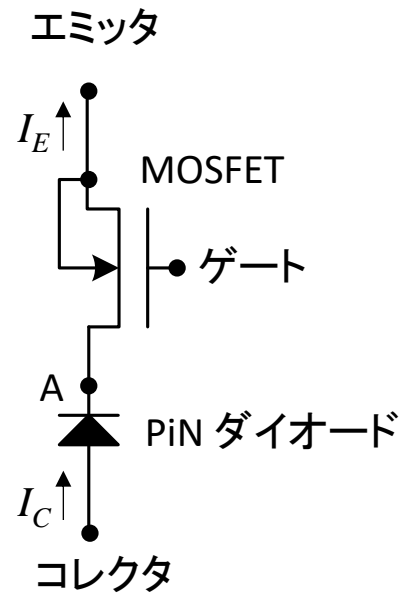
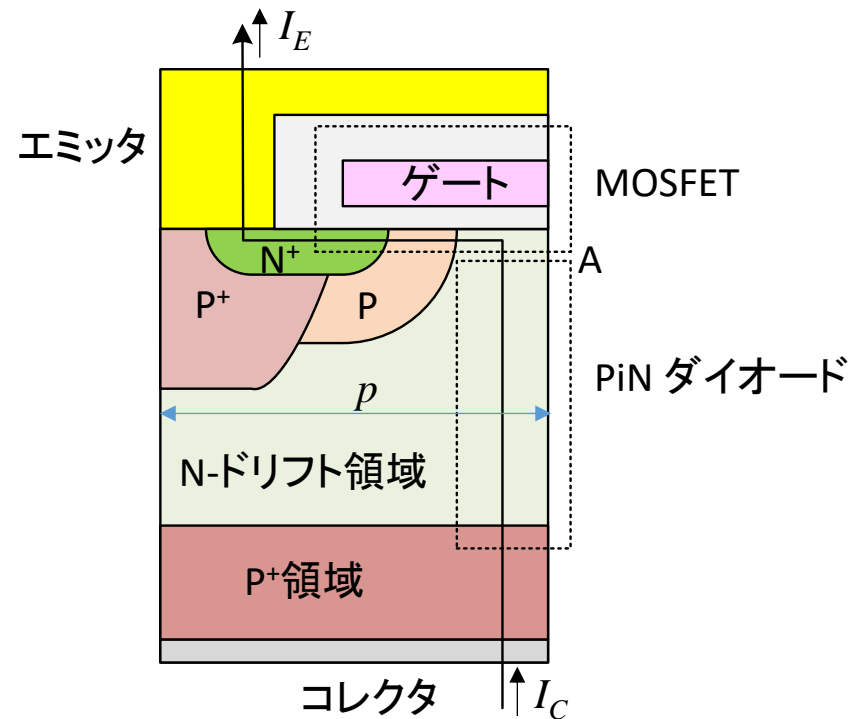
$W_N = 100\ \mu\text{m}$ $W_{NB} = 10\ \mu\text{m}$
 $N_D = 5 \times 10^{13}\text{ cm}^{-3}$ $\tau_{SC} = 1\ \mu\text{s}$ (Nベース領域)
 Nバッファ層のライフタイムの濃度依存考慮



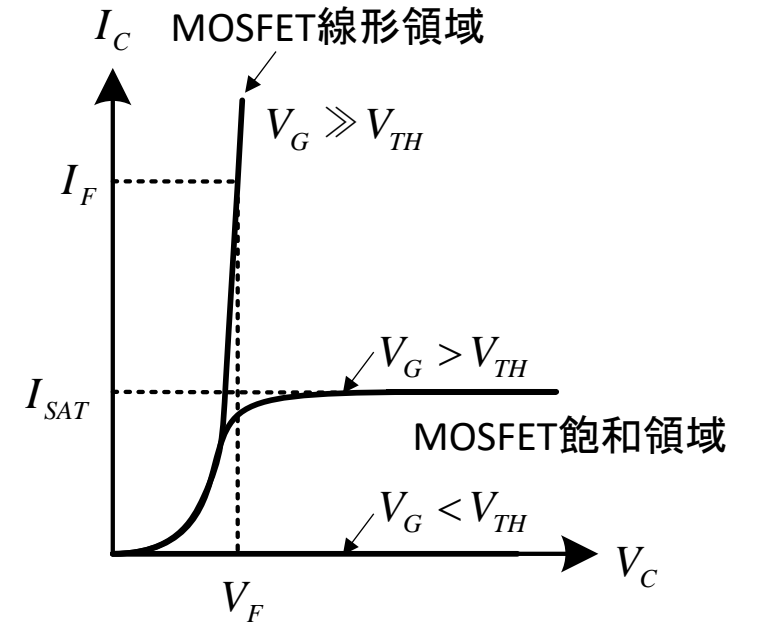
リーク電流密度のコレクタ電圧依存性
(温度パラメータ)

真性キャリア密度の温度依存により
温度上昇とともにリーク電流増加

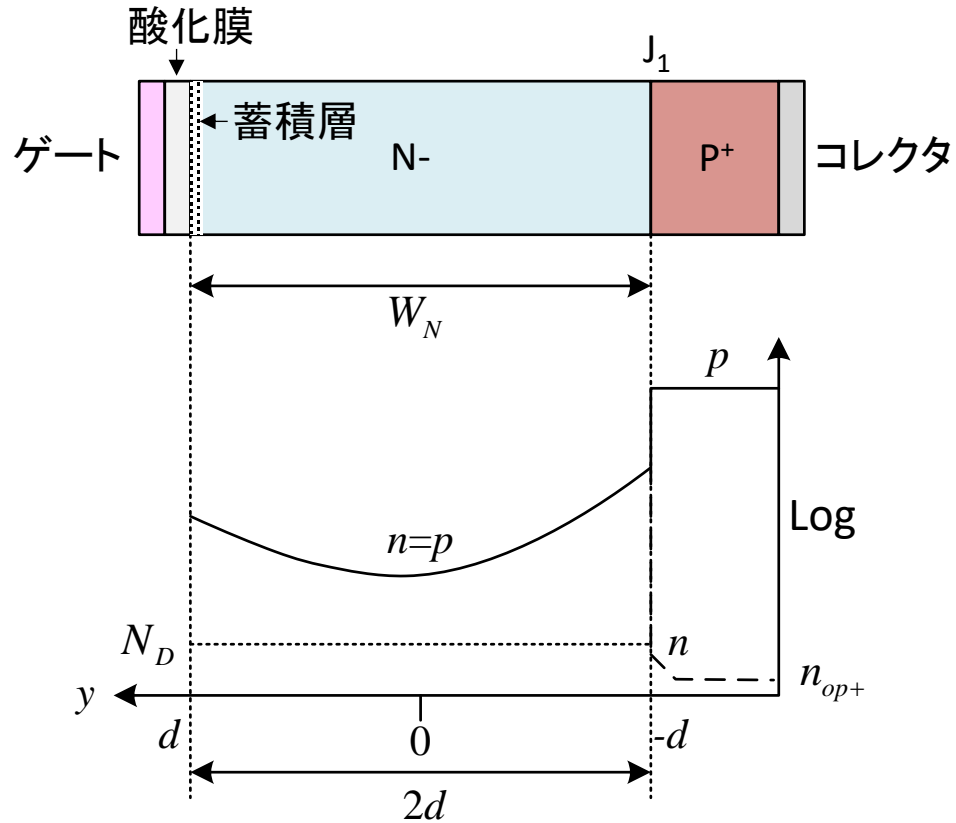
オン状態の特性



PiNダイオード+MOSFETモデル



IGBTのPiN領域のキャリア分布と電圧降下



キャリア分布(懸垂線)

キャリア分布

$$n(y) = p(y) = \frac{\tau_{HL} J_C}{2qL_a} \left[\frac{\cosh(y/L_a)}{\sinh(d/L_a)} - \frac{\sinh(y/L_a)}{2 \cosh(d/L_a)} \right]$$

PiN部分の電圧降下

$$V_{F, PiN} = \frac{2kT}{q} \ln \left[\frac{J_C d}{2qD_a n_i F(d/L_a)} \right] \quad V_{F, PiN} : \text{最小 at } d = L_a$$

$$F\left(\frac{d}{L_a}\right) = \frac{(d/L_a) \tanh(d/L_a)}{\sqrt{1 - 0.25 \tanh^4(d/L_a)}} e^{-qV_M/2kT}$$

D_a : 両極性拡散係数 $D_a = 2D_n D_p / (D_n + D_p)$ at $n = p$

τ_{HL} : 高レベル・ライフタイム

L_a : 両極性拡散長 $L_a = \sqrt{D_a \tau_{HL}}$

対称型IGBTのオン特性 (MOSFET線形領域)

コレクタ電流密度

$$J_C = \frac{2qD_a n_i}{d} F\left(\frac{d}{L_a}\right) e^{qV_{F, PiN}/2kT}$$

$$\frac{V_M}{kT/q} = \left\{ \frac{8b}{(b+1)^2} \frac{\sinh(d/L_a)}{\sqrt{1-B^2 \tanh^2(d/L_a)}} \times \arctan\left[\sqrt{1-B^2 \tanh^2(d/L_a)} \sinh(d/L_a)\right] \right\} + B \ln\left[\frac{1+B \tanh^2(d/L_a)}{1-B \tanh^2(d/L_a)}\right]$$

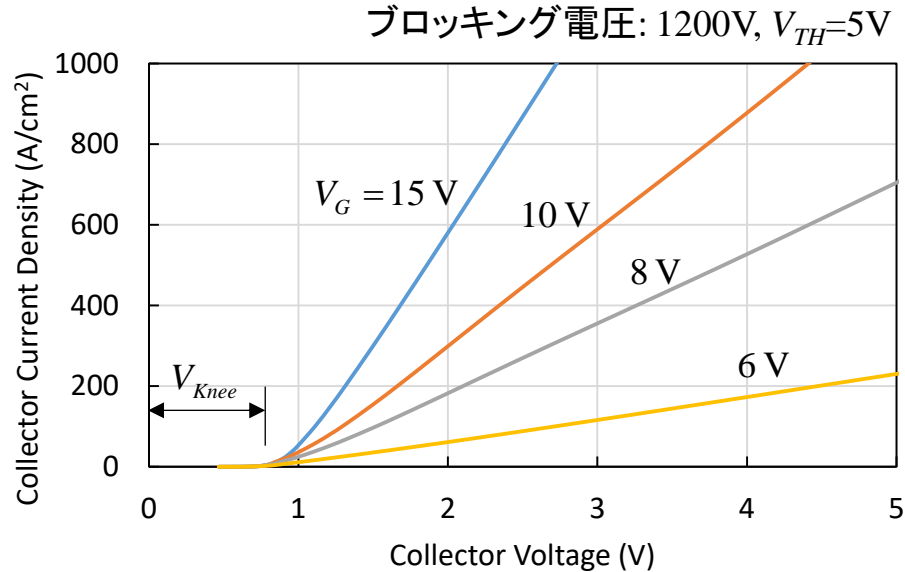
$$V_M = \frac{2kT}{q} \left(\frac{d}{L_a}\right)^2 \quad \text{for } \frac{d}{L_a} < 2 \quad V_M = \frac{3\pi kT}{8q} e^{(d/L_a)} \quad \text{for } \frac{d}{L_a} > 2 \quad B = \frac{\mu_n - \mu_p}{\mu_n + \mu_p} \quad b = \frac{\mu_n}{\mu_p}$$

コレクタ電圧

$$V_{F, IGBT} = V_{F, PiN} + V_{F, MOSFET} = \frac{2kT}{q} \ln\left[\frac{J_C d}{2qD_a n_i F(d/L_a)}\right] + \frac{pL_{CH} J_C}{\mu_{ni} C_{OX} (V_G - V_{TH})}$$

$$V_{F, MOSFET} = \frac{I_C L_{CH}}{Z \mu_{ni} C_{OX} (V_G - V_{TH})} = \frac{pL_{CH} J_C}{\mu_{ni} C_{OX} (V_G - V_{TH})} \quad I_C = J_C pZ$$

対称型IGBTのオン特性 (MOSFET線型モデル)

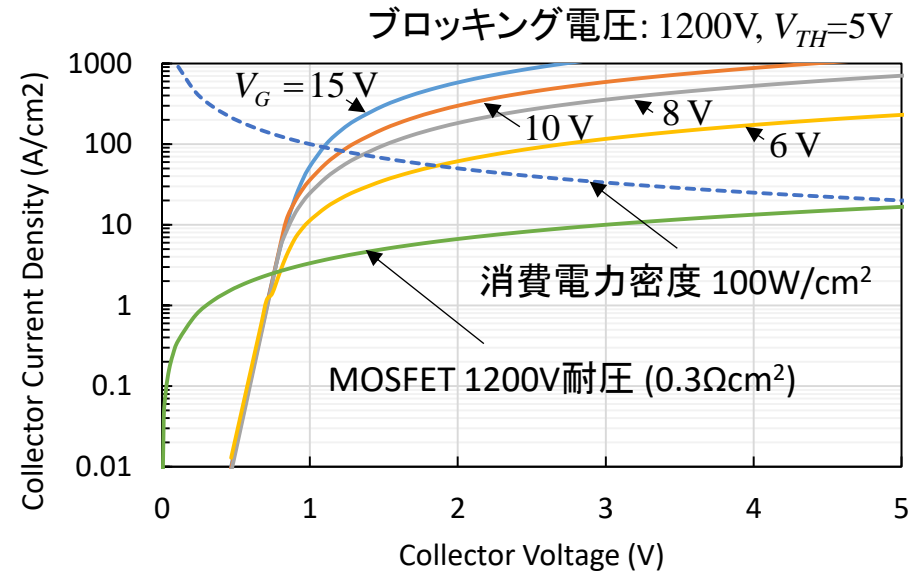


コレクタ電流密度のコレクタ電圧依存性 (線形スケール)

$$W_N = 200 \mu\text{m} \quad p = 15 \mu\text{m} \quad L_{CH} = 1.5 \mu\text{m}$$

$$\tau_{HL} = 10 \mu\text{s} \quad t_{OX} = 50 \text{ nm} \quad \mu_{ni} = 200 \text{ cm}^2 \text{V}^{-1} \text{s}^{-1}$$

V_{knee} : PiN電流がコレクタ電圧の指数関数になっていることに起因



コレクタ電流密度のコレクタ電圧依存性 (対数スケール)

$$V_{F,IGBT} = 1.28 \text{ V} \quad \text{at } V_G = 10\text{V}, J_C = 100 \text{ A/cm}^2$$

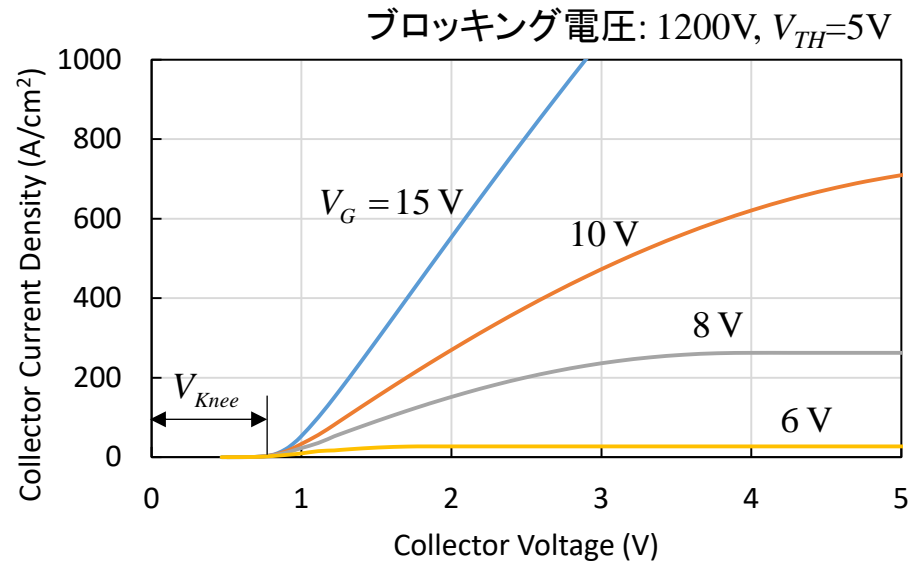
$$(\text{MOSFET 1200V耐圧} \Rightarrow V_{DS}=30\text{V at } I_{DS}=100\text{A/cm}^2)$$

$$J_C = 82 \text{ A/cm}^2, V_{F,IGBT} = 1.22 \text{ V}$$

$$\text{at } V_G = 10\text{V}, \text{消費電力密度}(P_D): 100 \text{ W/cm}^2$$

$$(\text{MOSFET 1200V耐圧} \Rightarrow I_{DS}=18\text{A/cm}^2, V_{DS}=5.41\text{V, at } P_D=100\text{W/cm}^2)$$

対称型IGBTのオン特性 (MOSFETピンチオフモデル)



コレクタ電流密度のコレクタ電圧依存性
(MOSFETピンチオフモデルを用いた場合)

$$W_N = 200 \mu\text{m} \quad p = 15 \mu\text{m} \quad L_{CH} = 1.5 \mu\text{m}$$

$$\tau_{HL} = 10 \mu\text{s} \quad t_{OX} = 50 \text{ nm} \quad \mu_{ni} = 200 \text{ cm}^2\text{V}^{-1}\text{s}^{-1}$$

コレクタ電流大 \Rightarrow MOSFET飽和特性 (ゲート電圧低の場合)

ピンチオフモデルを含むMOSFET電流式

$$I_C = J_C p Z = \frac{\mu_{ni} C_{OX} Z}{L_{CH}} \left[(V_G - V_{TH}) V_{F, MOSFET} - \frac{1}{2} V_{F, MOSFET}^2 \right]$$

MOSFETを横切る電圧降下 (ドレイン電圧)

$$V_{F, MOSFET} = (V_G - V_{TH}) \left[1 - \sqrt{1 - \frac{2 p L_{CH} J_C}{\mu_{ni} C_{OX} (V_G - V_{TH})^2}} \right]$$

対称型IGBTのオン状態のキャリア分布 (PNP領域) (1)

PNP領域のキャリア分布 (PiNモデルと境界条件異なる)

少数キャリア (N-ベース領域: 正孔) の連続の式

$$\frac{d^2 p}{dy^2} - \frac{p}{L_a^2} = 0 \quad \text{境界条件} \quad \left\{ \begin{array}{ll} p(0) = p_0 & \text{P}^+ \text{ コレクタとN-ベース接合 (J}_1\text{) 位置 (y=0)} \\ p(W_N) = 0 & \text{ディープP}^+ \text{ とN-ベース接合 (J}_2\text{) 位置 (y=W}_N\text{): 逆接合 (オン状態)} \end{array} \right.$$

PNP領域のキャリア分布 (PiNモデルと境界条件異なる)

$$p(y) = p_0 \frac{\sinh[(W_N - y)/L_a]}{\sinh(W_N/L_a)} \quad L_a = \sqrt{D_a \tau_{HL}} : \text{両極性拡散長}$$

J₁ における正孔電流

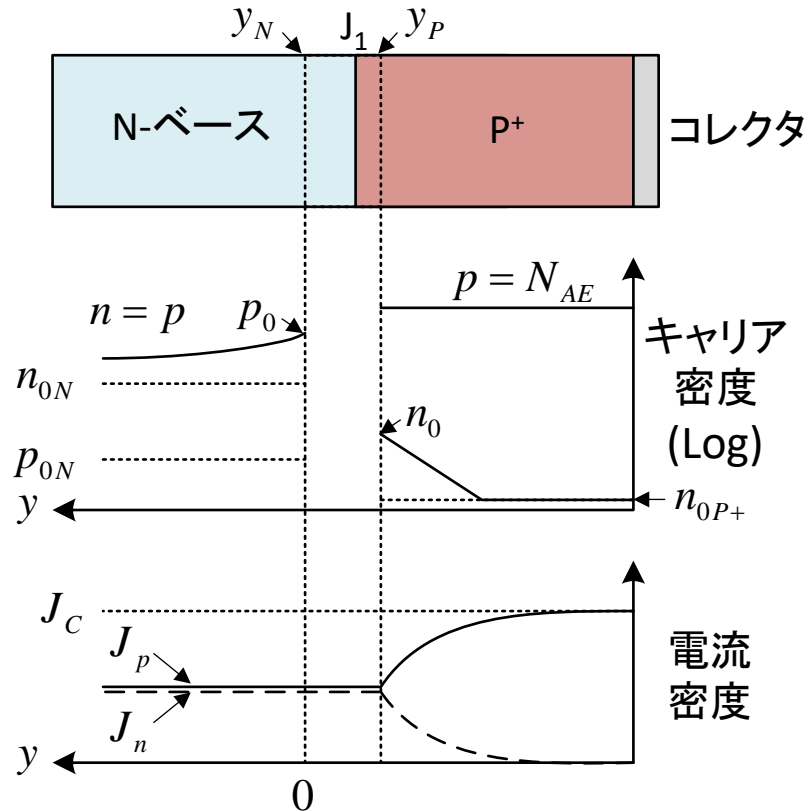
$$-2qD_p \left(\frac{dp}{dy} \right)_{y=0} = J_p(0) = \gamma_{E,ON} J_C$$

$\gamma_{E,ON}$: P⁺ コレクタとN-ベース接合の注入効率 (オン状態)

低レベル注入 $\Rightarrow \gamma_{E,ON} \doteq 1$

高レベル注入 $\Rightarrow \gamma_{E,ON} < 1$

対称型IGBTのオン状態のキャリア分布 (PNP領域) (2)



高レベル注入時のキャリアと電流密度分布 (at J_1)

J_1 における境界条件 (順方向バイアス)

$$\frac{p(y_N)}{p(y_P)} = \frac{n(y_P)}{n(y_N)} = e^{-\Delta\psi/kT} \quad \Delta\psi: J_1 \text{ を横切る電位障壁}$$

$$\Rightarrow n(y_P) = n_0 = \frac{p_0^2}{N_{AE}} \quad N_{AE}: P^+ \text{ 領域アクセプタ濃度}$$

$$\therefore n(y_N) = p(y_N) = p_0, \quad p(y_P) = p_{0E} = N_{AE}$$

P+ 内での少数キャリア (電子) の拡散電流 (低レベル注入)

$$J_n(y_P) = \frac{qD_{nE}n_0}{L_{nE}} = \frac{qD_{nE}p_0^2}{L_{nE}N_{AE}}$$

$$\Rightarrow J_n(y_P) = J_n(y_N)$$

\therefore 電子電流は空乏層内で連続

J_1 における注入効率 $\gamma_{E,ON}$

$$\gamma_{E,ON} = \frac{J_p(y_N)}{J_C} = 1 - \frac{J_n(y_N)}{J_C}$$

対称型IGBTのオン状態のキャリア分布 (PNP領域) (3)

P⁺ コレクタとN-ベース接合のN-ベース領域における (y=0) 電子電流

$$J_n(0) = q\mu_n n(0)E(0) + qD_n \left(\frac{dn}{dy} \right)_{y=0} = (1 - \gamma_{E,ON}) J_C \quad \Rightarrow \quad E(0) = \frac{(1 - \gamma_{E,ON}) J_C}{q\mu_n p_0} - \frac{kT}{qp_0} \left(\frac{dp}{dy} \right)_{y=0} \quad \because n(0) = p(0) = p_0$$

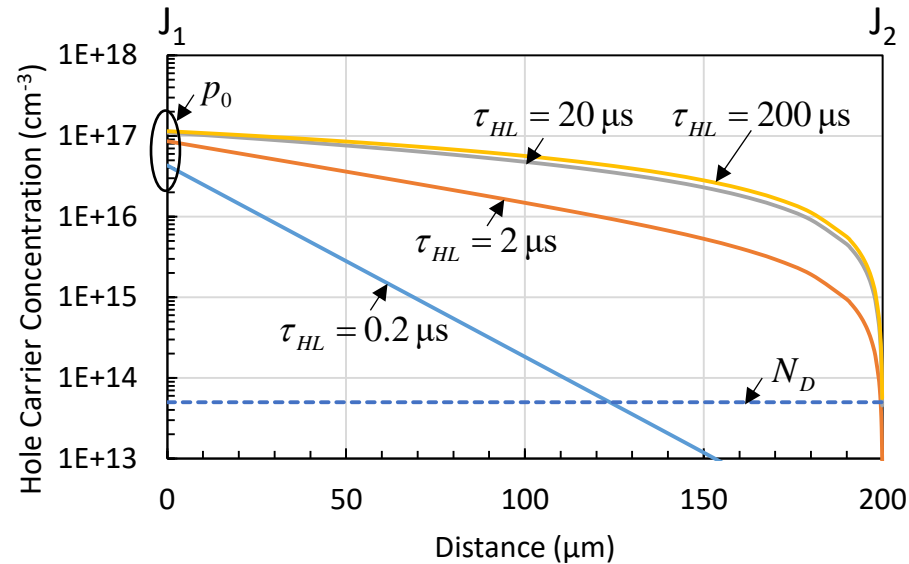
P⁺ コレクタとN-ベース接合のN-ベース領域における (y=0) 正孔電流

$$J_p(0) = q\mu_p n(0)E(0) - qD_p \left(\frac{dp}{dy} \right)_{y=0} \quad \Rightarrow \quad J_p(0) = \left(\frac{\mu_p}{\mu_n} \right) (1 - \gamma_{E,ON}) J_C - 2qD_p \left(\frac{dp}{dy} \right)_{y=0}$$

$$\Rightarrow \left(\frac{dp}{dy} \right)_{y=0} = \left(\frac{\mu_p}{\mu_n} \right) \left(\frac{J_C}{2qD_p} \right) \left[1 - \gamma_{E,ON} - \left(\frac{\mu_n}{\mu_p} \right) \gamma_{E,ON} \right] \quad \because J_p(0) = \gamma_{E,ON} J_C$$

$$\Rightarrow p_0 = \left(\frac{J_C L_a \tanh(W_N/L_a)}{2qD_p} \right) \left(\frac{\mu_p}{\mu_n} \right) \left[\gamma_{E,ON} \left(1 + \frac{\mu_n}{\mu_p} \right) - 1 \right] \quad \because \left(\frac{dp}{dy} \right)_{y=0} = - \frac{p_0}{L_a \tanh(W_N/L_a)}$$

対称型IGBTのオン状態のキャリア分布 (PNP領域) (4)



対称型IGBTのN-ベース領域内の正孔密度分布 (PNP領域)

$$W_N = 200 \mu\text{m} \quad J_C = 100 \text{ A/cm}^2 \quad N_{AE} = 1 \times 10^{18} \text{ cm}^{-3}$$

P+コレクタとN-ベース接合のN-ベース領域における ($y=0$) 正孔密度 p_0 の導出

$$ap_0^2 + bp_0 + c = 0$$

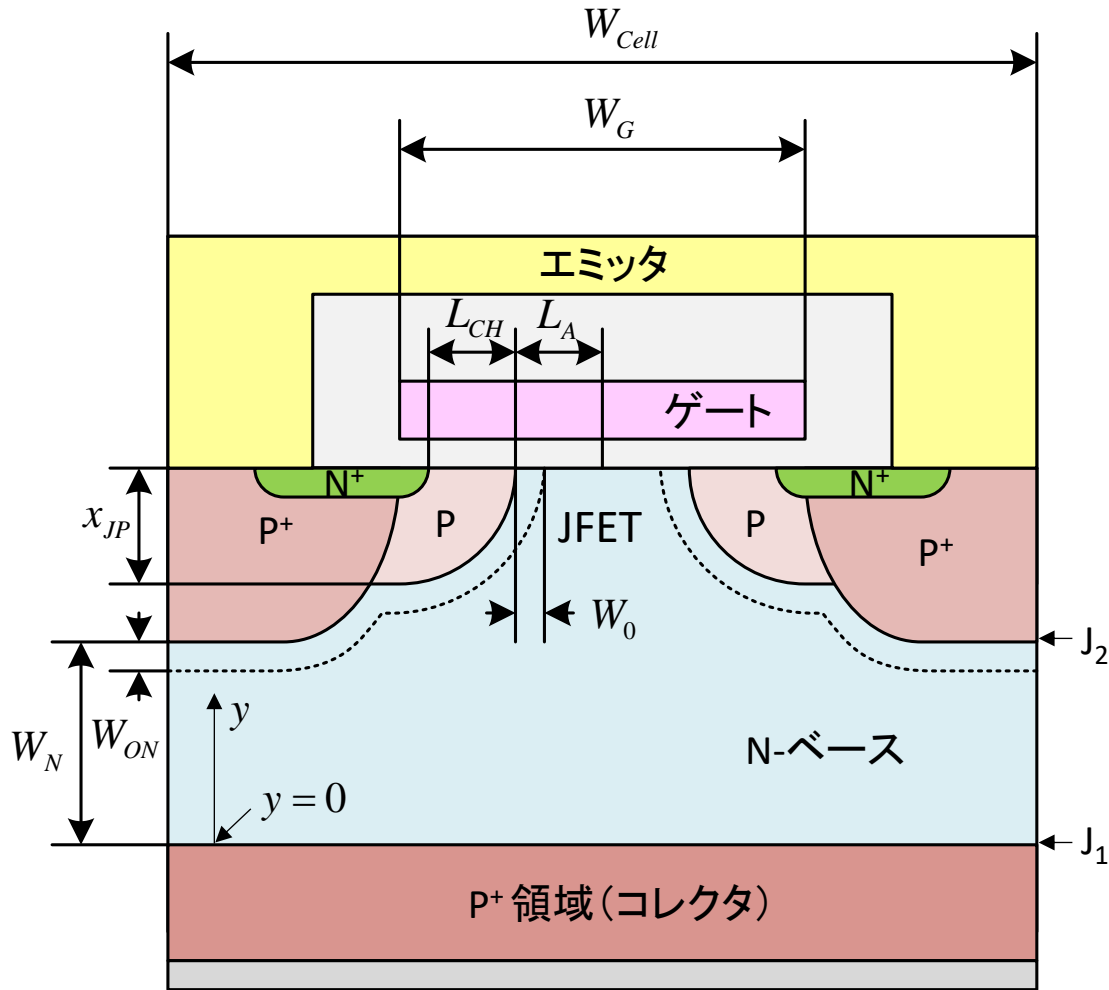
$$a = \frac{qD_{nE}}{L_{nE}N_{AE}J_C} \left(1 + \frac{\mu_n}{\mu_p} \right)$$

$$b = \frac{2qD_p}{J_C L_a \tanh(W_N/L_a)} \left(\frac{\mu_n}{\mu_p} \right)$$

$$c = -\frac{\mu_n}{\mu_p}$$

$$p_0 = \frac{-b + \sqrt{b^2 - 4ac}}{2a}$$

対称型IGBTのオン状態の電圧降下(1)



IGBTのオン電圧

$$V_{ON} = V_{P+N} + V_{NB} + V_{MOSFET}$$

V_{P+N} : P+ コレクタとN-ベース接合 (J_1) の電圧降下

V_{NB} : N-ベースの電圧降下

V_{MOSFET} : MOSFET領域の電圧降下

$$V_{P+N} = \frac{kT}{q} \ln\left(\frac{p_0}{p_{0N}}\right) = \frac{kT}{q} \ln\left(\frac{p_0 N_D}{n_i^2}\right) \quad \because p_{0N} N_D = n_i^2$$

$$V_{NB} = \frac{L_a J_C \sinh(W_N/L_a)}{q p_0 (\mu_n + \mu_p)} \ln\left[\frac{\tanh(W_N/2L_a)}{\tanh(W_{ON}/2L_a)}\right] + \frac{kT}{q} \left(\frac{\mu_n - \mu_p}{\mu_n + \mu_p}\right) \ln\left[\frac{\sinh[W_N/L_a]}{\sinh[W_{ON}/L_a]}\right]$$

$$V_{MOSFET} = V_{JFET} + V_{ACC} + V_{CH}$$

対称型IGBTのオン状態の電圧降下(2)

N-ベースの電圧降下導出

電子電流密度

$$J_n(y) = q\mu_n \left[n(y)E(y) + \frac{kT}{q} \frac{dn}{dy} \right]$$

正孔電流密度

$$J_p(y) = q\mu_p \left[p(y)E(y) - \frac{kT}{q} \frac{dp}{dy} \right]$$

N-ベース領域の電界

$$E(y) = \frac{J_C}{qp(y)(\mu_n + \mu_p)} - \frac{kT}{q} \left(\frac{\mu_n - \mu_p}{\mu_n + \mu_p} \right) \frac{1}{p(y)} \frac{dp}{dy} \quad \because J_n(y) + J_p(y) = J_C \quad \because n(y) = p(y)$$

$$E(y) = \frac{J_C \sinh(W_N/L_a)}{qp_0(\mu_n + \mu_p) \sinh[(W_N - y)/L_a]} + \frac{kT}{q} \left(\frac{\mu_n - \mu_p}{\mu_n + \mu_p} \right) \frac{1}{L_a \tanh[(W_N - y)/L_a]} \quad \because p(y) = p_0 \frac{\sinh[(W_N - y)/L_a]}{\sinh(W_N/L_a)}$$

N-ベースの電圧降下(電界を $0 \sim (W_N - W_{ON})$ まで積分: $y=0$ at J_1)

$$V_{NB} = \frac{L_a J_C \sinh(W_N/L_a)}{qp_0(\mu_n + \mu_p)} \ln \left[\frac{\tanh(W_N/2L_a)}{\tanh(W_{ON}/2L_a)} \right] + \frac{kT}{q} \left(\frac{\mu_n - \mu_p}{\mu_n + \mu_p} \right) \ln \left[\frac{\sinh[W_N/L_a]}{\sinh[W_{ON}/L_a]} \right]$$

対称型IGBTのオン状態の電圧降下(3)

MOSFET領域の電圧降下

$$V_{MOSFET} = V_{JFET} + V_{ACC} + V_{CH}$$

$$V_{JFET} = J_C R_{JFET,SP} = \frac{J_C \rho_{JFET} (x_{JP} + W_0) W_{Cell}}{W_G - 2x_{JP} - 2W_0}$$

$$V_{ACC} = J_C R_{A,SP} = \frac{J_C K_A (W_G - 2x_{JP}) W_{Cell}}{4\mu_{nA} C_{OX} (V_G - V_{TH})}$$

$$V_{CH} = J_C R_{CH,SP} = \frac{J_C L_{CH} W_{Cell}}{2\mu_{ni} C_{OX} (V_G - V_{TH})}$$

V_{JFET} : JFETの電圧降下

V_{ACC} : 蓄積領域の電圧降下

V_{CH} : MOSFETチャネル領域の電圧降下

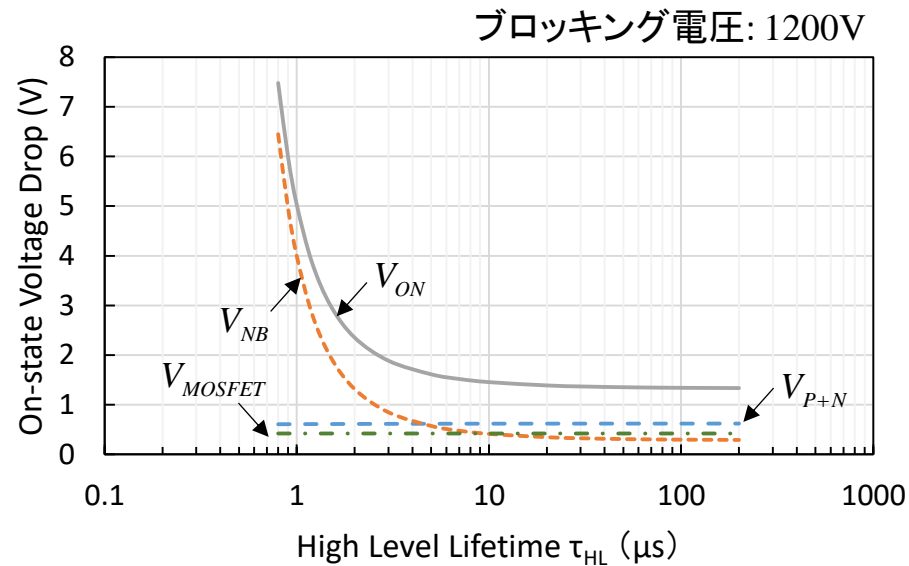
$$W_0 = \sqrt{\frac{2\varepsilon_S N_{A,P+} V_{bi}}{qN_{D,JFET} (N_{A,P+} + N_{D,JFET})}}$$

$$V_{bi} = \frac{kT}{q} \ln\left(\frac{N_{A,P+} N_{D,JFET}}{n_i^2}\right)$$

$N_{A,P+}$: ディープP+領域のドーピング濃度

$N_{D,JFET}$: JFET領域のドーピング濃度

対称型IGBTのオン状態の電圧降下(4)



$$N_D = 5 \times 10^{13} \text{ cm}^{-3}$$

$$N_{D,JFET} = 5 \times 10^{15} \text{ cm}^{-3}$$

$$(\rho_{JFET} = 0.96 \Omega\text{cm})$$

$$\mu_{ni} = 450 \text{ cm}^2\text{V}^{-1}\text{s}^{-1}$$

$$\mu_{nA} = 1000 \text{ cm}^2\text{V}^{-1}\text{s}^{-1}$$

$$J_C = 100 \text{ A/cm}^2$$

$$V_G = 15 \text{ V}$$

$$V_{TH} = 5 \text{ V}$$

$$W_{Cell} = 30 \mu\text{m}$$

$$W_G = 16 \mu\text{m}$$

$$L_{CH} = 1.5 \mu\text{m}$$

$$W_N = 200 \mu\text{m}$$

$$x_{JP} = 5 \mu\text{m}$$

$$t_{OX} = 50 \text{ nm}$$

$$K_A = 0.6$$

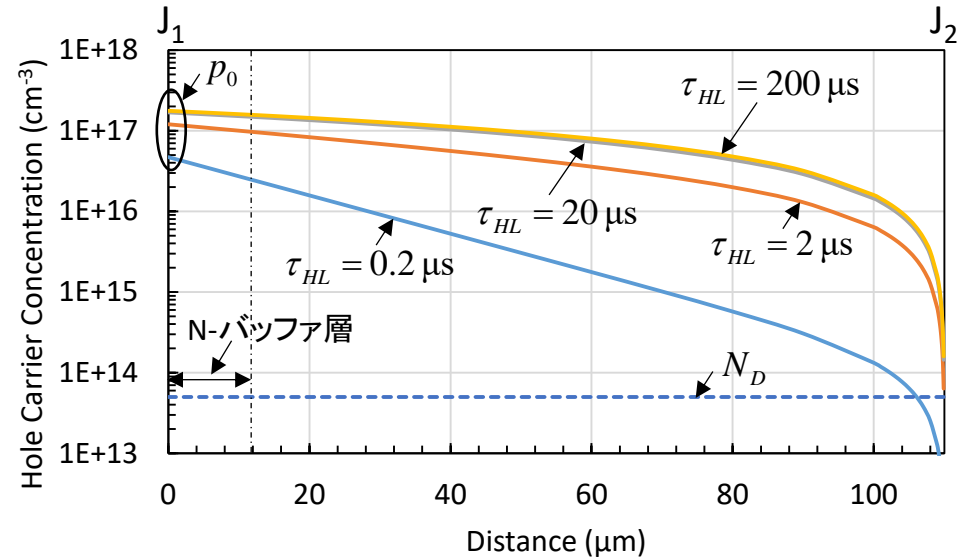
対称型IGBTのオン状態の電圧降下と高レベル・ライフタイムの関係

$$\tau_{HL} > 20 \mu\text{s}: V_{P+N}, V_{MOSFET} > V_{NB}$$

$$\tau_{HL} < 4 \mu\text{s}: V_{P+N}, V_{MOSFET} < V_{NB}$$

$\tau_{HL} < 2 \mu\text{s}: V_{NB}$ 急に増大 \Rightarrow スイッチング・スピード限定

非対称型IGBTのオン状態のキャリア分布 (PNP領域) (1)



N-バッファ層のドーピング濃度が低い場合 ($< 5 \times 10^{16} \text{ cm}^{-3}$)
 \Rightarrow N-ベースとN-バッファ層内では高レベル注入

N-ベースとN-バッファ層内の正孔密度分布 ($n=p$)

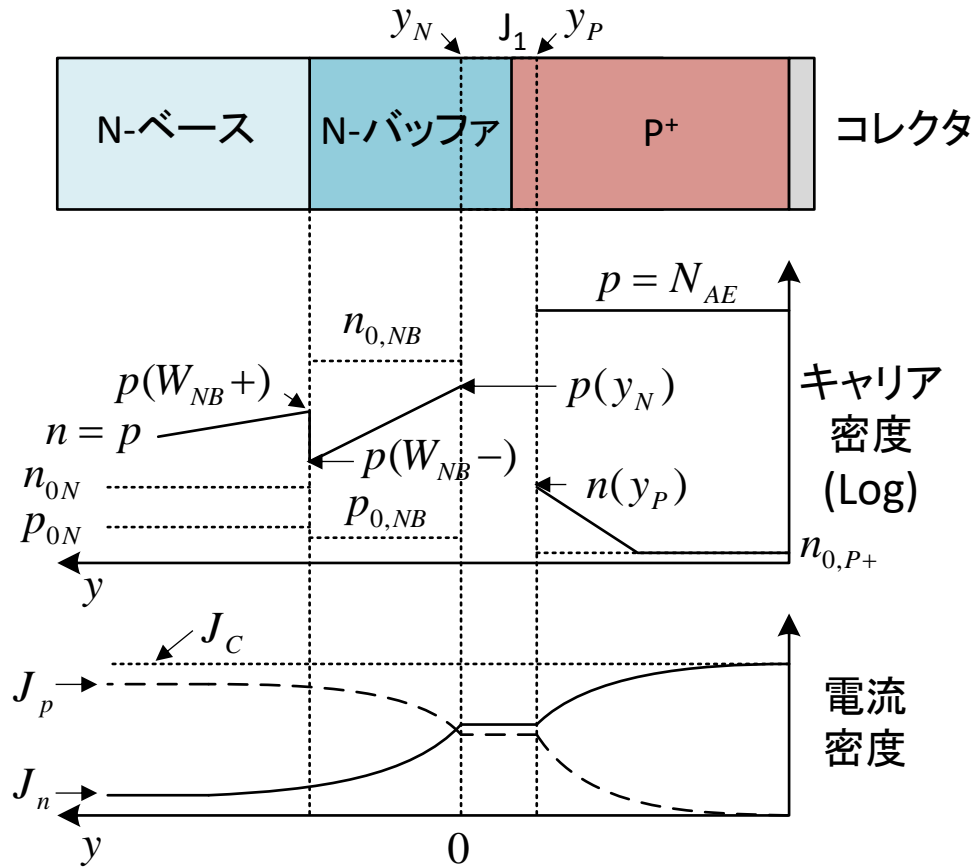
$$p(y) = p_0 \frac{\sinh[(W_N + W_{NB} - y)/L_a]}{\sinh[(W_N + W_{NB})/L_a]}$$

非対称型IGBTのN-ベース領域内の正孔密度分布 (PNP領域)
 (N-バッファ層のドーピング濃度が低い場合 ($< 5 \times 10^{16} \text{ cm}^{-3}$))

$$W_N = 100 \mu\text{m} \quad W_{NB} = 10 \mu\text{m}$$

$$J_C = 100 \text{ A/cm}^2 \quad N_{AE} = 1 \times 10^{19} \text{ cm}^{-3}$$

非対称型IGBTのオン状態のキャリア分布 (PNP領域) (2)



オン状態のキャリアと電流密度分布 (at J_1)

N-バッファ層のドーピング濃度が高い場合 ($> 1 \times 10^{17} \text{ cm}^{-3}$)

➡ { N-バッファ層: 低レベル注入
N-ベース領域: 高レベル注入

y_N における正孔電流密度

$$J_p(y_N) = \frac{D_{p,NB} p_{0,NB} L_{n,P+}}{D_{p,NB} p_{0,NB} L_{n,P+} + D_{n,P+} n_{0,P+} L_{p,NB}} J_C$$

y_N における少数キャリア (正孔) 密度

$$p(y_N) = \frac{p_{0,NB} L_{n,P+} L_{p,NB}}{q(D_{p,NB} p_{0,NB} L_{n,P+} + D_{n,P+} n_{0,P+} L_{p,NB})} J_C + p_{0,NB}$$

y_P における少数キャリア (電子) 密度

$$n(y_P) = \frac{n_{0,P+} L_{n,P+} L_{p,NB}}{q(D_{p,NB} p_{0,NB} L_{n,P+} + D_{n,P+} n_{0,P+} L_{p,NB})} J_C + n_{0,P+}$$

非対称型IGBTのオン状態のキャリア分布 (PNP領域) (3)

N-バッファ層とN-ベース領域界面のN-バッファ層側の正孔密度と正孔電流密度：低レベル注入

$$p(W_{NB}^-) = \frac{p_{0,NB} L_{n,P+} L_{p,NB}}{q(D_{p,NB} p_{0,NB} L_{n,P+} + D_{n,P+} n_{0,P+} L_{p,NB})} J_c e^{-(W_{NB}/L_{p,NB})} \quad (p_{0,NB} \text{ 無視})$$

$$J_p(W_{NB}^-) = \frac{D_{p,NB} p_{0,NB} L_{n,P+}}{D_{p,NB} p_{0,NB} L_{n,P+} + D_{n,P+} n_{0,P+} L_{p,NB}} J_c e^{-(W_{NB}/L_{p,NB})} \quad \because J_p(W_{NB}^-) = -qD_{p,NB} \left(\frac{dp}{dy} \right)_{y=W_{NB}^-} = qD_{p,NB} \frac{p(W_{NB}^-)}{L_{p,NB}}$$

N-バッファ層とN-ベース領域界面のN-ベース領域側の正孔密度と正孔電流密度：高レベル注入

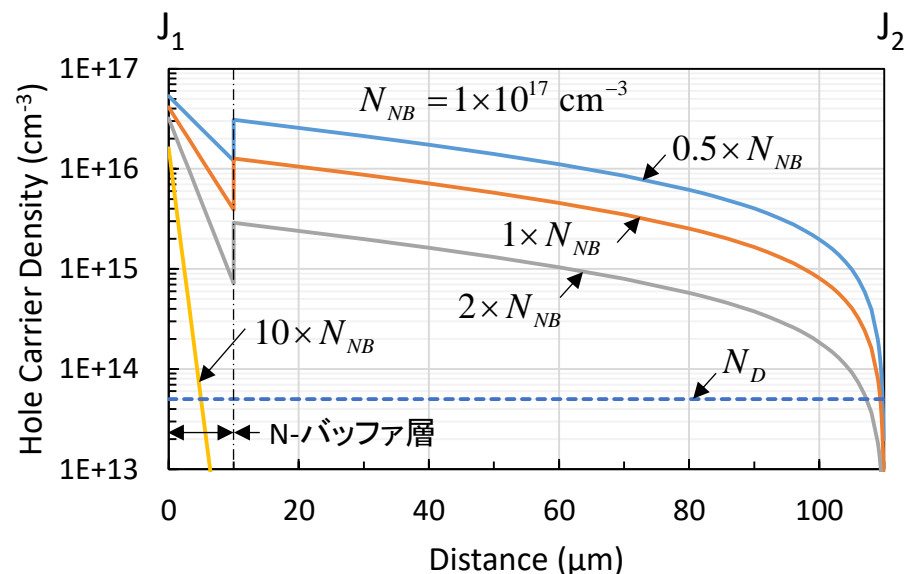
$$J_p(W_{NB}^+) = -2qD_p \left(\frac{dp}{dy} \right)_{y=W_{NB}^+} = \frac{2qD_p p(W_{NB}^+)}{L_a \tanh(W_N/L_a)} \quad \because p(y) = p(W_{NB}^+) \frac{\sinh[(W_N + W_{NB} - y)/L_a]}{\sinh(W_N/L_a)}$$

$$W_{NB} < y < W_{NB} + W_N$$

$$p(W_{NB}^+) = \frac{L_a \tanh(W_N/L_a)}{2qD_p} J_p(W_{NB}^-)$$

$$\because J_p(W_{NB}^+) = J_p(W_{NB}^-)$$

非対称型IGBTのオン状態のキャリア分布 (PNP領域) (4)



N-バッファ層の正孔密度 $< N_{NB}$
 \Rightarrow N-バッファ層内: 低レベル注入

N-ベース領域の正孔密度 $> N_D$ ($N_{NB} < 2 \times 10^{17} \text{ cm}^{-3}$)
 \Rightarrow N-ベース領域内: 高レベル注入

N-ベース領域の正孔密度 $< N_D$ ($N_{NB} = 1 \times 10^{18} \text{ cm}^{-3}$)
 \Rightarrow N-ベース領域内: 伝導度変調無し

非対称型IGBTのN-ベース領域内の正孔密度分布 (PNP領域)
 (N-ベース領域のドーピング濃度 N_{NB} 依存)

$$W_N = 100 \mu\text{m} \quad W_{NB} = 10 \mu\text{m} \quad J_C = 100 \text{ A/cm}^2$$

$$N_{AE} = 1 \times 10^{19} \text{ cm}^{-3} \quad N_D = 5 \times 10^{13} \text{ cm}^{-3}$$

N-ベース領域 $\tau_{HL} = 2 \mu\text{s}$ N-バッファ領域 $\tau_{HL} : N_{NB}$ でスケール

N-バッファ層のドーピング濃度上昇
 \Rightarrow N-ベース内の正孔密度低下
 (コレクタからN-バッファ層への正孔の注入効率低下)



N-ベース内のライフタイム低減と同様の効果
 (スイッチング・スピード上昇するが導通損失増大)

非対称型IGBTのオン状態の電圧降下(1)

オン状態の電圧降下

$$V_{ON} = V_{P+N} + V_{NB} + V_{MOSFET}$$

V_{P+N} : P⁺ コレクタとN-ベース接合 (J_1) の電圧降下

V_{NB} : N-ベースの電圧降下

V_{MOSFET} : MOSFET領域の電圧降下

$N_{NB} < 5 \times 10^{16} \text{ cm}^{-3}$ の場合 (N-ベース領域 & N-バッファ層: 高レベル注入)

$$V_{P+N} = \frac{kT}{q} \ln \left(\frac{p_0}{p_{0,NB}} \right) = \frac{kT}{q} \ln \left(\frac{p_0 N_{NB}}{n_i^2} \right)$$

$$\because p_{0,NB} N_{NB} = n_i^2$$

$$V_{NB} = \frac{L_a J_C \sinh[(W_N + W_{NB})/L_a]}{q p_0 (\mu_n + \mu_p)} \ln \left\{ \frac{\tanh[(W_N + W_{NB})/2L_a]}{\tanh(W_{ON}/2L_a)} \right\} + \frac{kT}{q} \left(\frac{\mu_n - \mu_p}{\mu_n + \mu_p} \right) \ln \left\{ \frac{\sinh[(W_N + W_{NB})/L_a]}{\sinh[W_{ON}/L_a]} \right\}$$

$N_{NB} \geq 5 \times 10^{16} \text{ cm}^{-3}$ の場合 ((N-ベース領域:高レベル注入, N-バッファ層:低レベル注入)

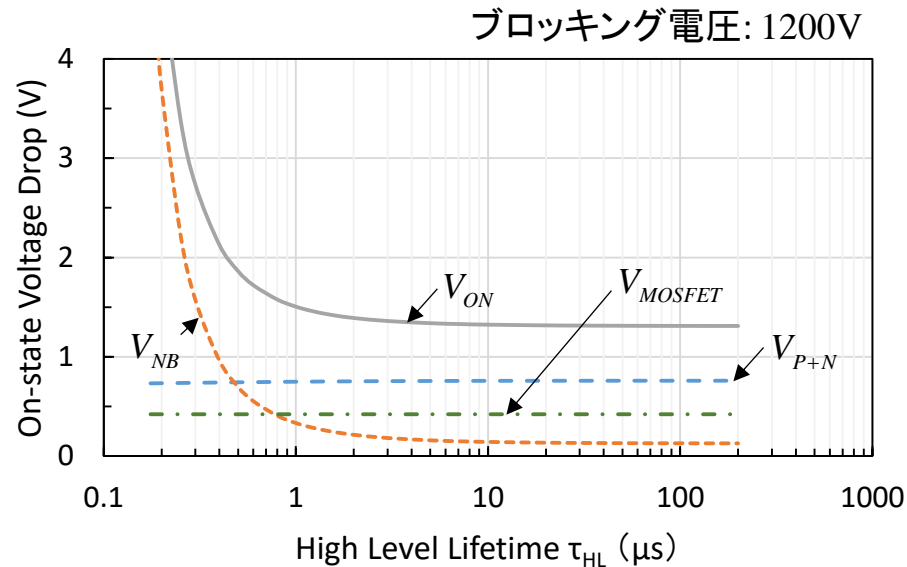
$$V_{P+N} = \frac{kT}{q} \ln \left(\frac{p(y_N)}{p_{0,NB}} \right) = \frac{kT}{q} \ln \left(\frac{p(y_N) N_{NB}}{n_i^2} \right)$$

(N-バッファ層の電圧降下無視)

$$V_{NB} = \frac{L_a J_C \sinh(W_N/L_a)}{q p (W_{NB}+) (\mu_n + \mu_p)} \ln \left[\frac{\tanh(W_N/2L_a)}{\tanh(W_{ON}/2L_a)} \right] + \frac{kT}{q} \left(\frac{\mu_n - \mu_p}{\mu_n + \mu_p} \right) \ln \left[\frac{\sinh[W_N/L_a]}{\sinh[W_{ON}/L_a]} \right]$$

$$V_{MOSFET} = V_{JFET} + V_{ACC} + V_{CH}$$

非対称型IGBTのオン状態の電圧降下(2)



非対称型IGBTのオン状態の電圧降下と高レベル・ライフタイムの関係

低ドーピングN-バッファ層の場合

(N-ベース領域 & N-バッファ層: 高レベル注入)

$$\tau_{HL} > 1 \mu\text{s}: V_{P+N}, V_{MOSFET} > V_{NB}$$

$$\tau_{HL} < 0.4 \mu\text{s}: V_{P+N}, V_{MOSFET} < V_{NB}$$

$\tau_{HL} < 0.3 \mu\text{s}$: V_{NB} 急激に増大 \Rightarrow スイッチング・スピードは増大するが、導通損失も増大する

$$N_D = 5 \times 10^{13} \text{ cm}^{-3}$$

$$N_{D,JFET} = 5 \times 10^{15} \text{ cm}^{-3}$$

$$(\rho_{JFET} = 0.96 \Omega\text{cm})$$

$$N_{NB} = 1 \times 10^{16} \text{ cm}^{-3}$$

$$\mu_{ni} = 450 \text{ cm}^2\text{V}^{-1}\text{s}^{-1}$$

$$\mu_{nA} = 1000 \text{ cm}^2\text{V}^{-1}\text{s}^{-1}$$

$$J_C = 100 \text{ A/cm}^2$$

$$V_G = 15 \text{ V}$$

$$V_{TH} = 5 \text{ V}$$

$$W_{Cell} = 30 \mu\text{m}$$

$$W_G = 16 \mu\text{m}$$

$$L_{CH} = 1.5 \mu\text{m}$$

$$W_N = 100 \mu\text{m}$$

$$W_{NB} = 10 \mu\text{m}$$

$$x_{JP} = 5 \mu\text{m}$$

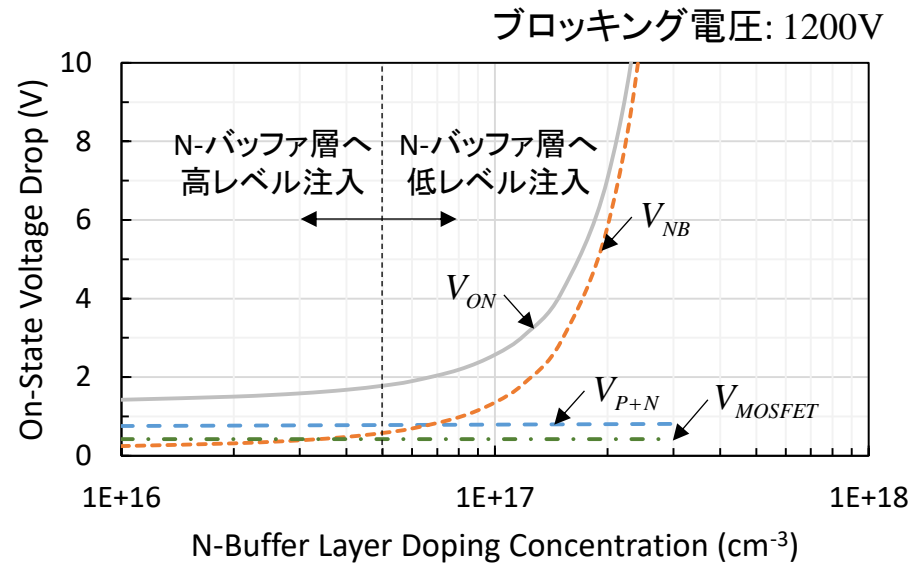
$$t_{OX} = 50 \text{ nm}$$

$$K_A = 0.6$$

同じブロッキング電圧で比較

- ・最大スイッチング・スピード: 非対称型IGBT > 対称型IGBT
- ・オン状態の電圧降下: 非対称型IGBT < 対称型IGBT

非対称型IGBTのオン状態の電圧降下(3)



非対称型IGBTのオン状態の電圧降下と
N-バッファ層ドーピング密度 N_{NB} の関係

$$N_{NB} < 3 \times 10^{16} \text{cm}^{-3}: V_{P+N}, V_{MOSFET} > V_{NB}$$

$$N_{NB} > 8 \times 10^{16} \text{cm}^{-3}: V_{P+N}, V_{MOSFET} < V_{NB}$$

$N_{NB} > 2 \times 10^{17} \text{cm}^{-3}: V_{NB}$ 急に増大 \Rightarrow スイッチング・スピードは増大するが、導通損失も増大する

$$N_D = 5 \times 10^{13} \text{cm}^{-3}$$

$$N_{D,JFET} = 5 \times 10^{15} \text{cm}^{-3}$$

$$(\rho_{JFET} = 0.96 \Omega\text{cm})$$

$$\mu_{ni} = 450 \text{cm}^2\text{V}^{-1}\text{s}^{-1}$$

$$\mu_{nA} = 1000 \text{cm}^2\text{V}^{-1}\text{s}^{-1}$$

$$J_C = 100 \text{A/cm}^2$$

$$V_G = 15 \text{V}$$

$$V_{TH} = 5 \text{V}$$

$$W_{Cell} = 30 \mu\text{m}$$

$$W_G = 16 \mu\text{m}$$

$$L_{CH} = 1.5 \mu\text{m}$$

$$W_N = 100 \mu\text{m}$$

$$W_{NB} = 10 \mu\text{m}$$

$$x_{JP} = 5 \mu\text{m}$$

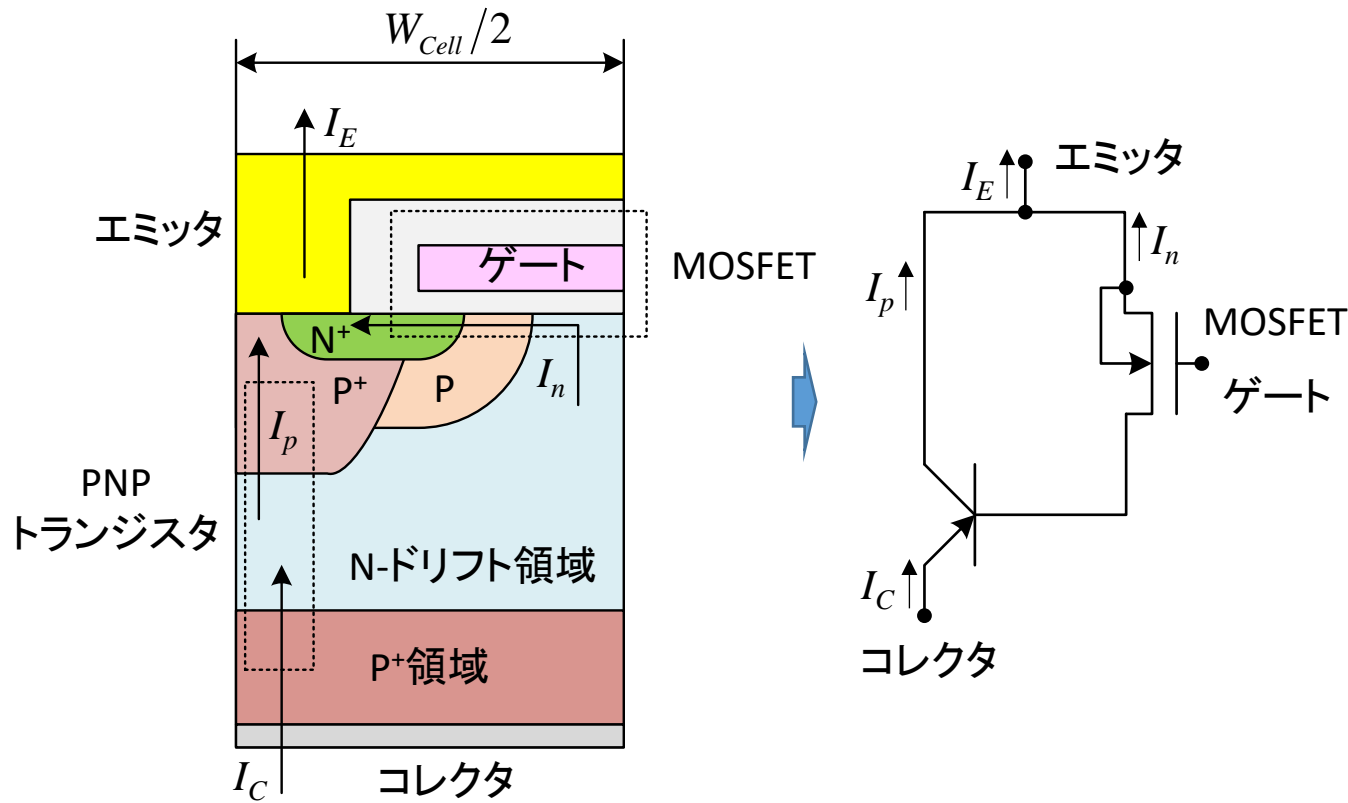
$$t_{OX} = 50 \text{nm}$$

$$K_A = 0.6$$

N-ベース領域 $\tau_{HL} = 2 \mu\text{s}$

N-バッファ領域 $\tau_{HL}: N_{NB}$ でスケール

電流飽和特性 (PNPトランジスタ+MOSFET モデル) (1)



PNPトランジスタ+MOSFET モデル

エミッタ電流 I_E

$$I_E = I_p + I_n$$

$$I_p = \left(\frac{\alpha_{PNP}}{1 - \alpha_{PNP}} \right) I_n$$

$$I_E = I_C = \frac{I_n}{1 - \alpha_{PNP}}$$

I_n : PNP のベース電流

PNPの電流利得(ベース接地) α_{PNP}

$$\alpha_{PNP} = \gamma_E \alpha_{T,PNP} M = \gamma_E \alpha_{T,PNP} \quad \because M = 1$$

$$\alpha_{T,PNP} = \frac{1}{\cosh(l/L_a)}$$

$$l = W_N - W_{DN} = W_N - \sqrt{\frac{2\epsilon_s V_C}{qN_D}}$$

$\alpha_{T,PNP}$: ベース輸送ファクター

l : 空乏領域でないN-ベース領域

L_a : 両極性拡散長

電流飽和特性 (PNPトランジスタ+MOSFETモデル) (2)

MOSFETの飽和電流 (ピンチオフモデル)

$$I_n = \frac{\mu_{ni} C_{OX} Z}{2L_{CH}} (V_G - V_{TH})^2$$

飽和領域のトランスコンダクタンス

$$g_{m,SAT} = \frac{dI_{C,SAT}}{dV_G} = \frac{\mu_{ni} C_{OX} Z}{L_{CH} (1 - \alpha_{PNP})} (V_G - V_{TH})$$

IGBTに掛かる電圧

$$V_{F,IGBT} = V_{F,PiN} + V_{F,MOSFET} (= V_C)$$

$$V_{F,PiN} = \frac{2kT}{q} \ln \left[\frac{J_C d}{2qD_a n_i F(d/L_a)} \right]$$

IGBTの飽和電流

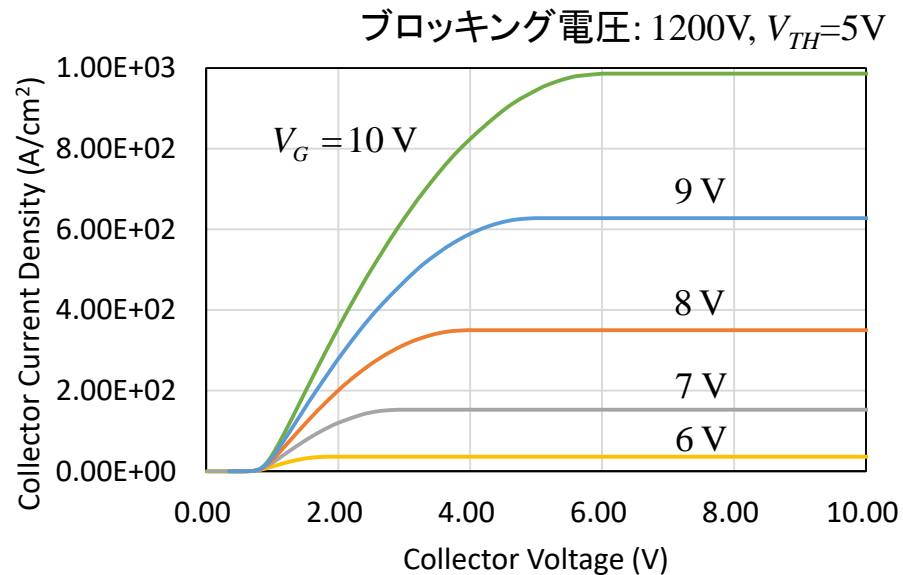
$$I_{E,SAT} = I_{C,SAT} = \frac{\mu_{ni} C_{OX} Z}{2L_{CH} (1 - \alpha_{PNP})} (V_G - V_{TH})^2$$

$$\therefore I_n = \frac{W_{Cell}}{2} Z J_C (1 - \alpha_{PNP})$$

$$V_{F,MOSFET} = (V_G - V_{TH}) \left[1 - \sqrt{1 - \frac{W_{Cell} L_{CH} J_C (1 - \alpha_{PNP})}{\mu_{ni} C_{OX} (V_G - V_{TH})^2}} \right]$$

J_C - V_C 特性 \Rightarrow 繰り返し計算必要 ($\alpha_{T,PNP}$ に V_C 依存性があるため)

電流飽和特性 (PNPトランジスタ+MOSFET モデル) (3)



$$W_N = 200 \mu\text{m} \quad p = W_{Cell}/2 = 15 \mu\text{m} \quad L_{CH} = 1.5 \mu\text{m}$$

$$\tau_{HL} = 10 \mu\text{s} \quad t_{OX} = 50 \text{ nm} \quad \mu_{ni} = 200 \text{ cm}^2 \text{ V}^{-1} \text{ s}^{-1}$$

$$\alpha_{PNP} \approx \alpha_{T,PNP} \approx 0.25$$

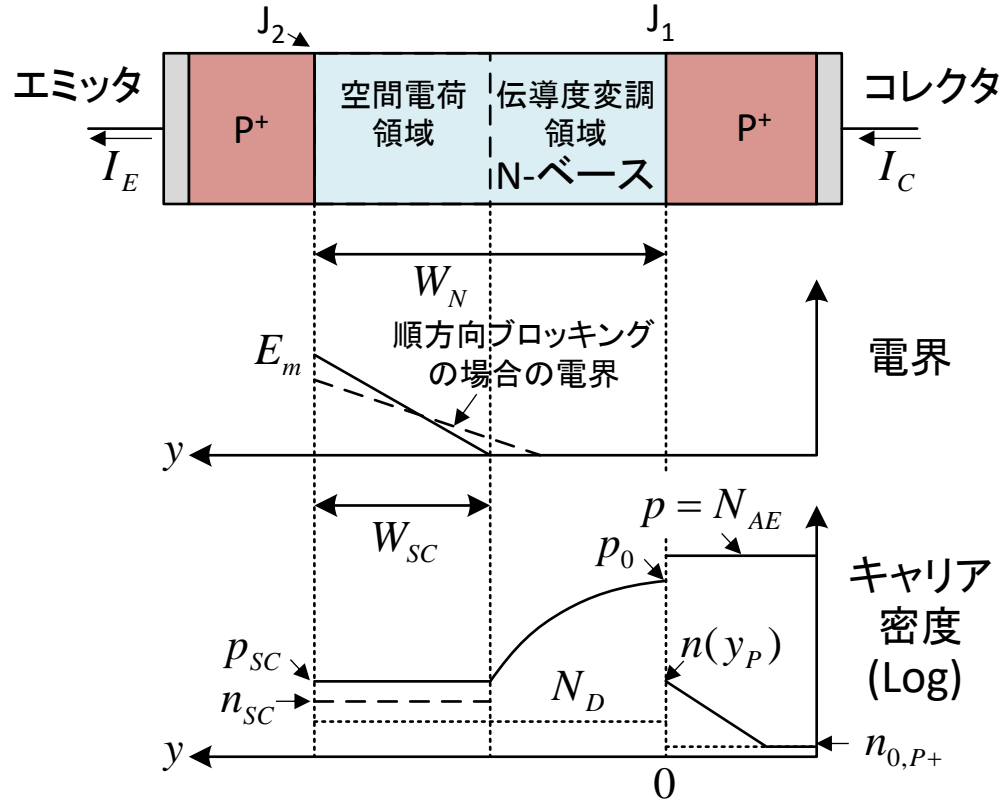
$$(\alpha_{T,PNP} \approx 0.24 \sim 0.29 \text{ for } V_C = 0 \sim 10 \text{ V})$$

コレクタ電流密度のコレクタ電圧依存性

コレクタ電流: (PNPトランジスタ+MOSFET モデル) > (PiNダイオード+MOSFET モデル)

∴ PNPトランジスタの利得を考慮

対称型IGBTの電流飽和領域におけるキャリア分布(1)



W_{SC} (飽和電流印加時) < W_{SC} (順方向ブロッキング時)
 同じ V_C 印加時 $\therefore p_{SC} > n_{SC}$

空間電荷領域内の電子と正孔密度

$$n_{SC} = \frac{J_{n,PNP}}{qv_{sat,n}} = \frac{\mu_{ni} C_{OX}}{qv_{sat,n} W_{Cell} L_{CH}} (V_G - V_{TH})^2 \quad p_{SC} = \frac{J_C}{qv_{sat,p}}$$

\therefore PNP ベース電流(飽和電流)

$$\Rightarrow J_{B,PNP} = J_{n,PNP} = \frac{I_{DSAT}}{(W_{Cell}/2)Z} = \frac{\mu_{ni} C_{OX}}{W_{Cell} L_{CH}} (V_G - V_{TH})^2$$

N-ベース領域内の正孔の連続の式

(定常状態、高レベル注入 ($n=p$)、再結合がない場合)

境界条件

$$\frac{d^2 p}{dy^2} = 0 \quad \begin{cases} p(0) = p_0 & \text{P+ コレクタとN-ベース接合 (J}_1\text{) 位置 (y=0)} \\ p(W_N - W_{SC}) = p_{SC} & \text{ディープP+ とN-ベース接合 (J}_2\text{) の} \\ & \text{ベース領域内の空乏層端} \end{cases}$$

N-ベース領域内の正孔密度

$$p(y) = p_0 - \left(\frac{p_0 - p_{SC}}{W_N - W_{SC}} \right) y$$

対称型IGBTの電流飽和領域におけるキャリア分布(2)

N-ベース領域の電子電流密度

$$J_n(y) = q\mu_n \left[n(y)E(y) + \frac{kT}{q} \frac{dn}{dy} \right]$$

N-ベース領域の正孔電流密度

$$J_p(y) = q\mu_p \left[p(y)E(y) - \frac{kT}{q} \frac{dp}{dy} \right]$$

N-ベース領域の電界

$$E(y) = \frac{J_C}{qp(y)(\mu_n + \mu_p)} - \frac{kT}{q} \left(\frac{\mu_n - \mu_p}{\mu_n + \mu_p} \right) \frac{1}{p(y)} \frac{dp}{dy} \quad \because J_n(y) + J_p(y) = J_C, n(y) = p(y)$$

$$E(0) = \frac{J_C W_N}{qp_0(\mu_n + \mu_p)} + \frac{kT}{qp_0} \left(\frac{\mu_n - \mu_p}{\mu_n + \mu_p} \right) \frac{p_0 - p_{SC}}{W_N - W_{SC}}$$

$y_N(y=0)$ と y_P における正孔電流密度

$$J_p(y_N) = J_p(0) \cong \frac{\mu_p J_C}{\mu_n + \mu_p} + \left(\frac{2\mu_n \mu_p}{\mu_n + \mu_p} \right) \frac{kT}{W_N - W_{SC}} p_0 \quad J_p(y_P) = J_C - \frac{qD_{nE}}{L_{nE}} \frac{p_0^2}{N_{AE}}$$

対称型IGBTの電流飽和領域におけるキャリア分布(3)

P⁺ コレクタ(薄型エミッタ)とN-ベース接合のN-ベース領域における(y=0)正孔密度 p_0 の導出

$$ap_0^2 + bp_0 + c = 0 \quad \because J_p(y_N) = J_p(y_P)$$

$$a = \frac{qD_{nE}}{L_{nE}N_{AE}} \quad b = \left(\frac{2\mu_n\mu_p}{\mu_p + \mu_n} \right) \frac{kT}{W_N - W_{SC}} \quad c = -\frac{\mu_n}{\mu_n + \mu_p} J_C \quad \Rightarrow \quad p_0 = \frac{-b + \sqrt{b^2 - 4ac}}{2a}$$

p_0 導出 \Rightarrow 繰り返し計算必要(J_C に $\alpha_{T,PNP}(V_C)$ 依存性があるため)

p_0 導出の簡易方法

仮定:

- (1) コレクタ電流はコレクタ電圧で大きく変わらない(電流飽和領域)
- (2) ベース輸送ファクター $\alpha_{T,PNP}=1$ (N-ベース領域内で再結合無視)
- (3) キャリア増倍係数 $M=1$

\Rightarrow 低コレクタ電圧で正孔密度 p_0 を求めることができる

対称型IGBTの電流飽和領域におけるキャリア分布(4)

p_0 の簡易導出

J_1 における注入効率(電流飽和領域) $\gamma_{E,S}$

J_{C0} : 低コレクタ電圧でのコレクタ飽和電流

$$\gamma_{E,S} = \frac{J_p(y_N)}{J_{C0}} = 1 - \frac{J_n(y_N)}{J_{C0}} = 1 - \frac{qD_{nE}}{J_{C0}L_{nE}N_{AE}} p_0^2 \quad \because J_n(y_N) = J_n(y_P) = \frac{qD_{nE}n_0}{L_{nE}} = \frac{qD_{nE}p_0^2}{L_{nE}N_{AE}}$$

p_0 導出

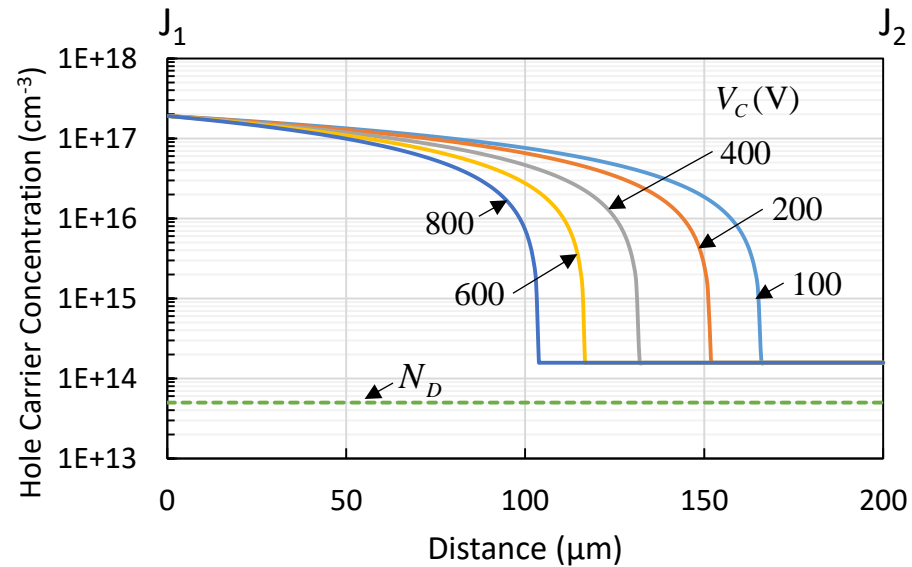
$$J_{C0} = \frac{J_{B,PNP}}{1 - \alpha_{PNP}} = \frac{J_{B,PNP}}{1 - \gamma_{E,S}} \quad \rightarrow \quad p_0 = \sqrt{\frac{J_{B,PNP}L_{nE}N_{AE}}{qD_{nE}}}$$

p_{SC} と W_{SC}

$$p_{SC} = \frac{J_{C0}}{qv_{sat,p}} \quad W_{SC} = \sqrt{\frac{2\varepsilon_s V_C}{q(N_D + p_{SC} - n_{SC})}}$$

$$J_{C0} = \frac{2kT}{W_N} \mu_p p_0 + \left(\frac{\mu_n + \mu_p}{\mu_n} \right) \frac{qD_{nE}}{L_{nE}N_{AE}} p_0^2 \quad (W_{SC} \text{ 無視})$$

対称型IGBTの電流飽和領域におけるキャリア分布(5)



対称型IGBTの電流飽和領域におけるキャリア分布
(コレクタ電圧:パラメータ)

$$N_{AE} = 1 \times 10^{18} \text{ cm}^{-3}$$

$$N_D = 5 \times 10^{13} \text{ cm}^{-3}$$

$$J_{B,PNP} = 153 \text{ A/cm}^2$$

$$J_{C0} = 252 \text{ A/cm}^2$$

$$p_0 = 1.9 \times 10^{17} \text{ cm}^{-3}$$

$$p_{SC} = 1.6 \times 10^{14} \text{ cm}^{-3}$$

$$n_{SC} = 9.5 \times 10^{13} \text{ cm}^{-3}$$

$$\gamma_{E,S} = 0.39$$

$$W_{Cell} = 30 \text{ } \mu\text{m}$$

$$W_N = 200 \text{ } \mu\text{m}$$

$$L_{CH} = 1.5 \text{ } \mu\text{m}$$

$$t_{OX} = 50 \text{ nm}$$

$$\mu_{ni} = 450 \text{ cm}^2 \text{ V}^{-1} \text{ s}^{-1}$$

$$V_G = 6.5 \text{ V}$$

$$V_{TH} = 5 \text{ V}$$

対称型IGBTの出力特性(1)

コレクタ電流密度の V_G, V_C 依存性

$$J_C(V_G, V_C) = \frac{J_{B,PNP}(V_G)}{1 - \alpha_{PNP}} = \frac{J_{B,PNP}(V_G)}{1 - (\gamma_{E,S} \alpha_{T,PNP} M)}$$

$\gamma_{E,S}$: V_G 依存性 $\alpha_{T,PNP}, M$: V_C 依存性

$$\gamma_{E,S} = \frac{J_p(0+)}{J_{C0}} = \frac{J_p(y_N)}{J_{C0}} = 1 - \frac{qD_{nE}}{J_{C0}L_{nE}N_{AE}} p_0^2$$

$$M = \frac{1}{1 - (V_C/BV_{SC})^n}$$

$$\alpha_{T,PNP} = \frac{J_p(W_N - W_{SC})}{J_p(0+)}$$

$$BV_{SC} = 5.24 \times 10^{13} (N_D - p_{SC} - n_{SC})^{-3/4} \quad n = 5$$

BV_{SC} : 平型 P⁺-N 接合アバランシェ・ブレイクダウン電圧

N-ベース領域内の正孔の連続の式 (定常状態、高レベル注入 (n=p))

$$L_a = \sqrt{D_a \tau_{HL}}$$

$$\frac{d^2 p}{dy^2} - \frac{p}{L_a^2} = 0$$

境界条件

$$\begin{cases} p(0) = p_0 & \text{P}^+ \text{コレクタとN-ベース接合 (J}_1\text{) 位置 (y=0)} \\ p(W_N - W_{SC}) = p_{SC} & \text{ディープP}^+ \text{とN-ベース接合 (J}_2\text{) のベース領域内の空乏層端} \end{cases}$$

N-ベース領域内の正孔密度

$$p(y) = p_0 \cosh\left(\frac{y}{L_a}\right) + \frac{p_{SC} - p_0 \cosh[(W_N - W_{SC})/L_a]}{\sinh[(W_N - W_{SC})/L_a]} \sinh\left(\frac{y}{L_a}\right)$$

$$W_{SC} = \sqrt{\frac{2\epsilon_s V_C}{q(N_D + p_{SC} - n_{SC})}}$$

対称型IGBTの出力特性(2)

N-ベース領域の電子電流密度

$$J_n(y) = q\mu_n \left[n(y)E(y) + \frac{kT}{q} \frac{dn}{dy} \right]$$

N-ベース領域の正孔電流密度

$$J_p(y) = q\mu_p \left[p(y)E(y) - \frac{kT}{q} \frac{dp}{dy} \right]$$

N-ベース領域の電界

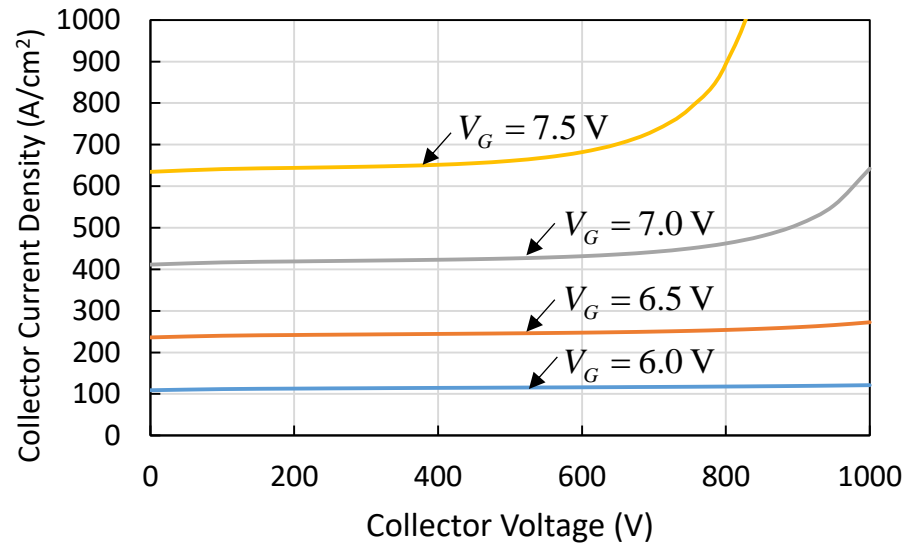
$$E(y) = \frac{J_C}{qp(y)(\mu_n + \mu_p)} - \frac{kT}{q} \left(\frac{\mu_n - \mu_p}{\mu_n + \mu_p} \right) \frac{1}{p(y)} \frac{dp}{dy} \quad \because J_n(y) + J_p(y) = J_C, n(y) = p(y)$$

yにおける正孔電流密度(E(y)をJ_p(y)に代入)

$$J_p(y) = \frac{\mu_p J_C}{\mu_n + \mu_p} - 2qD_p \left(\frac{\mu_n}{\mu_n + \mu_p} \right) \frac{dp}{dy}$$

$$\Rightarrow J_p(W_N - W_{SC}) \cong \left\{ \frac{\mu_p}{\mu_n + \mu_p} + \left(\frac{\mu_n}{\mu_n + \mu_p} \right) \frac{K_S}{\cosh[(W_N - W_{SC})/L_a]} \right\} J_C \quad K_S = \left(\frac{\mu_n + \mu_p}{\mu_n} \right) \gamma_{E,S} - \frac{\mu_p}{\mu_n}$$

対称型IGBTの出力特性(3)



対称型IGBTの出力特性

$$N_{AE} = 1 \times 10^{18} \text{ cm}^{-3}$$

$$W_{Cell} = 30 \mu\text{m}$$

$$N_D = 5 \times 10^{13} \text{ cm}^{-3}$$

$$W_N = 200 \mu\text{m}$$

$$t_{OX} = 50 \text{ nm}$$

$$L_{CH} = 1.5 \mu\text{m}$$

$$\mu_{ni} = 450 \text{ cm}^2 \text{ V}^{-1} \text{ s}^{-1}$$

$$V_{TH} = 5 \text{ V}$$

$$\gamma_{E,S} = 0.43 \sim 0.36 \quad (V_G = 6.0 \sim 7.5 \text{ V})$$

$$\alpha_{T,PNP} \approx 0.87 \sim 0.98$$

$$V_G = 6.0 \text{ V}, p_{SC} = 7.49 \times 10^{13} \text{ cm}^{-3}, BV_{SC} = 1913 \text{ V}$$

$$V_G = 6.5 \text{ V}, p_{SC} = 1.57 \times 10^{14} \text{ cm}^{-3}, BV_{SC} = 1522 \text{ V}$$

$$V_G = 7.0 \text{ V}, p_{SC} = 2.70 \times 10^{14} \text{ cm}^{-3}, BV_{SC} = 1222 \text{ V}$$

$$V_G = 7.5 \text{ V}, p_{SC} = 4.12 \times 10^{14} \text{ cm}^{-3}, BV_{SC} = 996 \text{ V}$$

対称型IGBTの出力抵抗(1)

コレクタ電流密度

$$J_C(V_G, V_C) = \frac{J_{B,PNP}(V_G)}{1 - \alpha_{PNP}} = \frac{J_{B,PNP}(V_G)}{1 - (\gamma_{E,S} \alpha_{T,PNP} M)} \quad \gamma_{E,S}: V_G \text{ 依存性} \quad \alpha_{T,PNP}, M: V_C \text{ 依存性}$$

低いコレクタ電圧 \Rightarrow コレクタ電流は $\alpha_{T,PNP}(V_C)$ に依存 ($\because M \doteq 1$)

高いコレクタ電圧 \Rightarrow コレクタ電流は $M(V_C)$ に依存 ($\because \alpha_{T,PNP}(V_C) \doteq 1$)

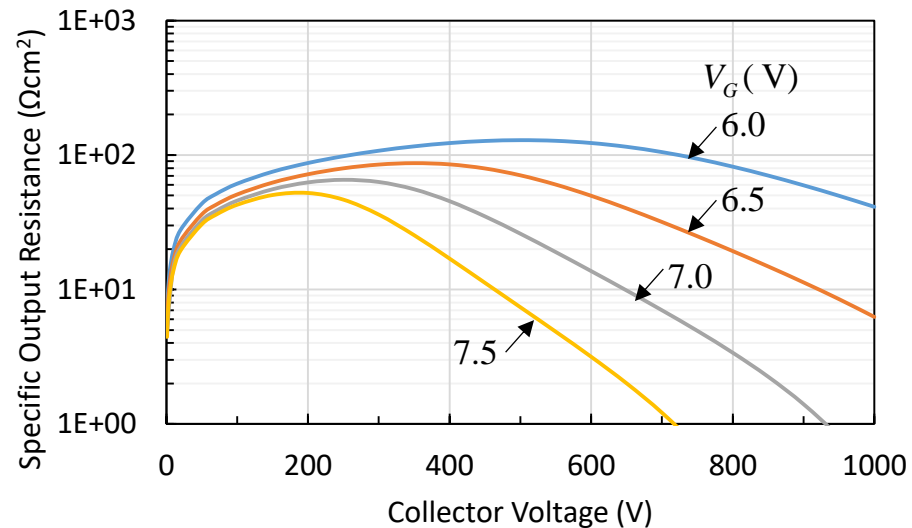
$$J_C(V_G, V_C) = \frac{J_{B,PNP}(V_G)(BV_{SC}^n - V_C^n)}{(1 - \gamma_{E,S} \alpha_{T,PNP})BV_{SC}^n - V_C^n} \quad \because M = \frac{1}{1 - (V_C/BV_{SC})^n}$$

特性出力抵抗

$$R_{O,SP} = \left(\frac{dJ_C}{dV_C} \right)^{-1} = \frac{[(1 - \gamma_{E,S})BV_{SC}^n - V_C^n]^2}{\gamma_{E,S} J_{B,PNP} BV_{SC}^n [n\alpha_{T,PNP} V_C^{n-1} + (BV_{SC}^n - V_C^n)(d\alpha_{T,PNP}/dV_C)]}$$

$$\frac{d\alpha_{T,PNP}}{dV_C} = \frac{1}{\gamma_{E,S} L_a} \left(\frac{\mu_n}{\mu_n + \mu_p} \right) K_S \frac{\tanh[(W_N - W_{SC})/L_a]}{\cosh[(W_N - W_{SC})/L_a]} \sqrt{\frac{\epsilon_S}{2q(N_D + p_{SC} - n_{SC})V_C}}$$

対称型IGBTの出力抵抗(2)



対称型IGBTの特性出力抵抗

$$N_{AE} = 1 \times 10^{18} \text{ cm}^{-3}$$

$$W_{Cell} = 30 \text{ } \mu\text{m}$$

$$N_D = 5 \times 10^{13} \text{ cm}^{-3}$$

$$W_N = 200 \text{ } \mu\text{m}$$

$$t_{OX} = 50 \text{ nm}$$

$$L_{CH} = 1.5 \text{ } \mu\text{m}$$

$$\mu_{ni} = 450 \text{ cm}^2 \text{ V}^{-1} \text{ s}^{-1}$$

$$V_{TH} = 5 \text{ V}$$

$$\gamma_{E,S} = 0.43 \sim 0.36 \quad (V_G = 6.0 \sim 7.5 \text{ V})$$

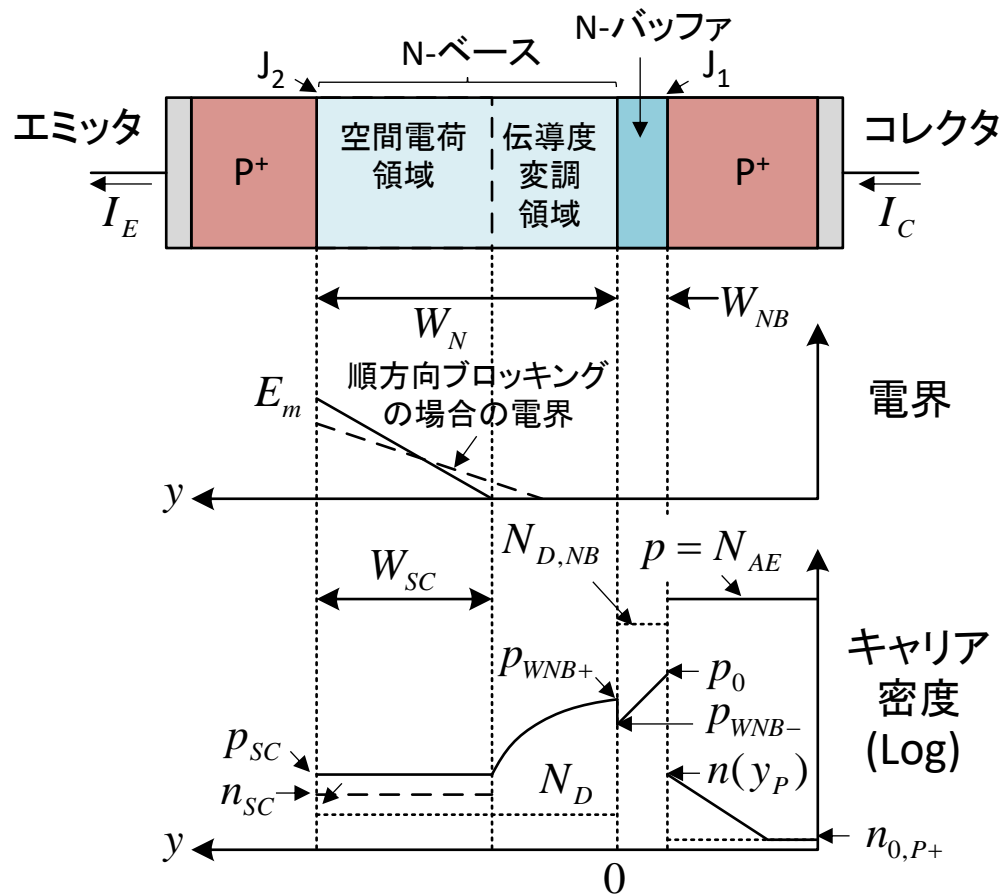
$$\alpha_{T,PNP} \approx 0.87 \sim 0.98$$

特性出力抵抗

低コレクタ電圧: $\alpha_{T,PNP}$ に依存して増大

高コレクタ電圧: M に依存して減少

非対称型IGBTの電流飽和領域におけるキャリア分布(1)



非対称IGBTの電界とキャリア分布(パンチスルー前)

空間電荷領域内の電子と正孔密度

$$n_{SC} = \frac{J_{n,PNP}}{qv_{sat,n}} = \frac{\mu_{ni}C_{OX}}{qv_{sat,n}W_{Cell}L_{CH}}(V_G - V_{TH})^2 \quad p_{SC} = \frac{J_C}{qv_{sat,p}}$$

∴ PNP ベース電流(飽和電流)

$$\Rightarrow J_{B,PNP} = J_{n,PNP} = \frac{I_{DSAT}}{(W_{Cell}/2)Z} = \frac{\mu_{ni}C_{OX}}{W_{Cell}L_{CH}}(V_G - V_{TH})^2$$

N-ベース領域内の正孔の連続の式

(定常状態、高レベル注入(n=p))

$$\frac{d^2 p}{dy^2} - \frac{p}{L_a^2} = 0 \quad L_a = \sqrt{D_a \tau_{HL}}$$

境界条件

$$\begin{cases} p(W_{NB}+) = p_{WNB+} & \text{N-ベースとN-バッファ接合界面のN-ベース側} \\ p(W_N - W_{SC}) = p_{SC} & \text{ディープP+とN-ベース接合(J}_2\text{)の} \\ & \text{ベース領域内の空乏層端} \end{cases}$$

非対称型IGBTの電流飽和領域におけるキャリア分布(2)

N-ベース領域内の正孔密度 $W_{NB+} \Rightarrow y = 0$

$$p(y) = p_{WNB+} \cosh\left(\frac{y}{L_a}\right) + \frac{p_{SC} - p_{WNB+} \cosh[(W_N - W_{SC})/L_a]}{\sinh[(W_N - W_{SC})/L_a]} \sinh\left(\frac{y}{L_a}\right) \quad W_{SC} = \sqrt{\frac{2\varepsilon_s V_C}{q(N_D + p_{SC} - n_{SC})}}$$

N-ベース領域の電子電流密度

N-ベース領域の正孔電流密度

$$J_n(y) = q\mu_n \left[n(y)E(y) + \frac{kT}{q} \frac{dn}{dy} \right] \quad J_p(y) = q\mu_p \left[p(y)E(y) - \frac{kT}{q} \frac{dp}{dy} \right]$$

N-ベース領域の電界

$$E(y) = \frac{J_C}{qp(y)(\mu_n + \mu_p)} - \frac{kT}{q} \left(\frac{\mu_n - \mu_p}{\mu_n + \mu_p} \right) \frac{1}{p(y)} \frac{dp}{dy} \quad \because J_n(y) + J_p(y) = J_C, \quad n(y) = p(y)$$

yにおける正孔電流密度(E(y)をJ_p(y)に代入)

$$J_p(y) = \frac{\mu_p J_C}{\mu_n + \mu_p} - 2qD_p \left(\frac{\mu_n}{\mu_n + \mu_p} \right) \frac{dp}{dy}$$

非対称型IGBTの電流飽和領域におけるキャリア分布(3)

N-ベースとN-バッファ接合界面のN-ベース側の正孔密度

$$p_{WNB+} = \frac{K_{AS} J_C L_a}{2qD_p} \tanh[(W_N - W_{SC})/L_a] \quad K_{AS} = \left(\frac{\mu_n + \mu_p}{\mu_n} \right) \gamma_{E,S} e^{-(W_{NB}/L_{p,NB})} - \frac{\mu_p}{\mu_n} \Rightarrow K_{AS} = \gamma_{E,S} e^{-(W_{NB}/L_{p,NB})}$$

$$\because J_p(W_{NB+}) = J_p(W_{NB-}) \quad (p_{SC} \text{ 無視}) \quad \because J_p(W_{NB+}) = -2qD_p \frac{dp}{dy}$$

$$J_p(W_{NB+}) = \frac{\mu_p J_C}{\mu_n + \mu_p} - \frac{2qD_p}{L_a} \left(\frac{\mu_n}{\mu_n + \mu_p} \right) \left\{ \frac{p_{SC} - p_{WNB+} \cosh[(W_N - W_{SC})/L_a]}{\sinh[(W_N - W_{SC})/L_a]} \right\}$$

$$J_p(W_{NB-}) = \gamma_{E,S} J_C e^{-(W_{NB}/L_{p,NB})} \quad \gamma_{E,S} = \frac{D_{p,NB} p_{0,NB} L_{n,P+}}{D_{p,NB} p_{0,NB} L_{n,P+} + D_{n,P+} n_{0,P+} L_{p,NB}} \quad \because \text{N-バッファ領域: 低レベル注入}$$

パンチスルー前: コレクタ電圧 V_C 増大 \Rightarrow 空間電荷領域 W_{SC} 増大 $\Rightarrow p_{WNB+}$ 減少

低コレクタ電圧でのコレクタ飽和電流一定: $J_C \rightarrow J_{C0}$ (at $W_{SC}=0$) $\rightarrow p_{WNB+}$ を求めることが可能

非対称型IGBTの電流飽和領域におけるキャリア分布(4)

N-バッファ領域内の正孔密度(N-バッファ領域:低レベル注入) (P+ コレクタとN-バッファ界面→ y=0)

$$p(y) = p_0 e^{-y/L_{p,NB}} \quad p_0 = \frac{p_{0,NB} J_{C0} L_{n,P+} L_{p,NB}}{q(D_{p,NB} p_{0,NB} L_{n,P+} + D_{n,P+} n_{0,P+} L_{p,NB})}$$

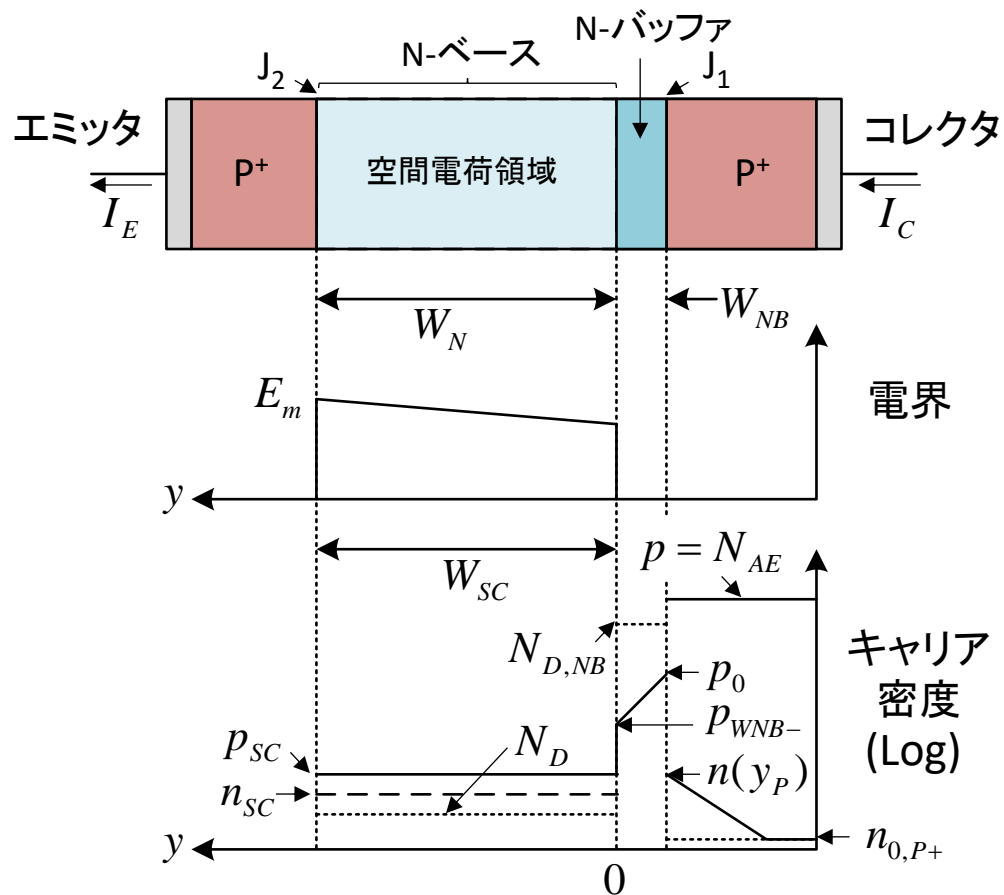
J_{C0} (at $W_{SC}=0$)の導出(低コレクタ電圧)

$$J_{C0} = \frac{J_{B,PNP}}{1 - \alpha_{PNP,0}} \quad \alpha_{PNP,0} = \gamma_{E,S} \alpha_{T,0} = \gamma_{E,S} \alpha_{T,N-Buffer} \alpha_{T,N-Base,0}$$

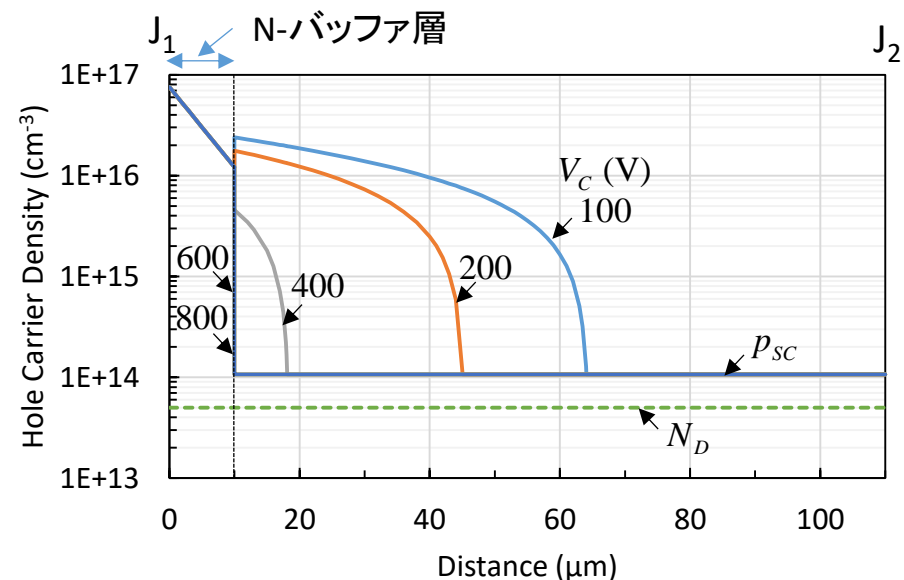
$$\alpha_{T,N-Buffer} = \frac{J_p(W_{NB-})}{J_p(y_N)} = \frac{\gamma_E J_C e^{-W_{NB}/L_{p,NB}}}{\gamma_E J_C} = e^{-W_{NB}/L_{p,NB}} \quad \alpha_{T,N-Base,0} = \frac{J_p(W_N)}{J_p(W_{NB+})}$$

$$J_p(W_{NB+}) = \left[\frac{\mu_p}{\mu_n + \mu_p} + \frac{\mu_n}{\mu_n + \mu_p} K_{AS} \right] J_C \quad J_p(W_N) = \left[\frac{\mu_p}{\mu_n + \mu_p} + \frac{\mu_n}{\mu_n + \mu_p} \frac{K_{AS}}{\cosh(W_N/L_a)} \right] J_C$$

非対称型IGBTの電流飽和領域におけるキャリア分布(5)



非対称IGBTの電界とキャリア分布(パンチスルー後)



非対称IGBTの電流飽和領域におけるキャリア分布

$$\begin{aligned}
 W_N &= 100 \mu\text{m} & W_{NB} &= 10 \mu\text{m} & W_{Cell} &= 30 \mu\text{m} & L_{CH} &= 1.5 \mu\text{m} \\
 N_{AE} &= 1 \times 10^{19} \text{cm}^{-3} & N_{NB} &= 1 \times 10^{17} \text{cm}^{-3} & N_D &= 5 \times 10^{13} \text{cm}^{-3} \\
 \tau_{HL} &= 2 \mu\text{s} \text{ (N-ベース領域)} & V_G &= 6.5 \text{ V} & V_{TH} &= 5 \text{ V}
 \end{aligned}$$

$$\gamma_{E,S} = 0.78 \quad \alpha_{T,N-buffer} = 0.16 \quad \alpha_{T,N-Base,0} = 0.85 \quad \alpha_{PNP,0} = 0.11$$

$$J_{C0} = 171 \text{ A/cm}^2 \quad J_{B,PNP} = 153 \text{ A/cm}^2$$

$$p_{SC} = 1.1 \times 10^{14} \text{ cm}^{-3} \quad n_{SC} = 9.5 \times 10^{13} \text{ cm}^{-3} \quad p_0 = 7.6 \times 10^{16} \text{ cm}^{-3}$$

非対称型IGBTの出力特性(1)

コレクタ電流密度の V_G, V_C 依存性

$$J_C(V_G, V_C) = \frac{J_{B,PNP}(V_G)}{1 - \alpha_{PNP}} = \frac{J_{B,PNP}(V_G)}{1 - (\gamma_{E,S} \alpha_{T,PNP} M)}$$

$$\alpha_{T,PNP} = \alpha_{T,N-Buffer} \alpha_{T,N-Base} \quad \alpha_{T,N-Base} = \frac{J_p(W_N - W_{SC})}{J_p(W_{NB+})}$$

$$M = \frac{1}{1 - (V_{NPT}/BV_{SC})^n}$$

$$BV_{SC} = 5.24 \times 10^{13} (N_D - p_{SC} - n_{SC})^{-3/4} \quad n = 5$$

BV_{SC} : 平型 P⁺-N接合アバランシェ・ブレイクダウン電圧

$$V_{NPT} = \frac{\epsilon_S}{2qN_D} \left[\frac{V_C}{W_N} + \frac{q(N_D + p_{SC} - n_{SC})W_N}{2\epsilon_S} \right]^2$$

$$J_p(W_N - W_{SC}) = \left[\frac{\mu_p}{\mu_n + \mu_p} + \frac{\mu_n}{\mu_n + \mu_p} \frac{K_{AS}}{\cosh[(W_N - W_{SC})/L_a]} \right] J_C$$

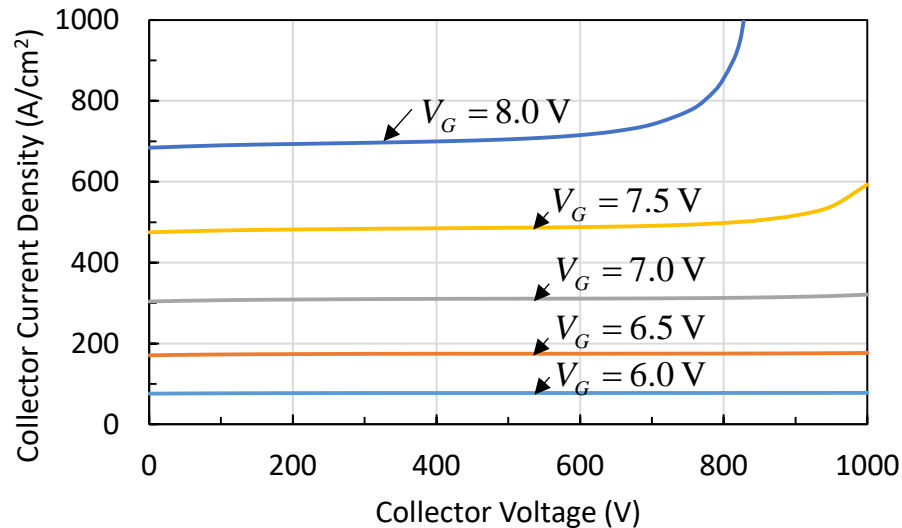
$\gamma_{E,S}$: 電圧依存性なし

$\alpha_{T,N-Buffer}$: 電圧依存性なし

$\alpha_{T,N-base}$: V_C 依存性(パンチスルー前)
1(パンチスルー後)

M : V_C 依存性あり
 $\doteq 1$ (パンチスルー前)

非対称型IGBTの出力特性(2)



非対称型IGBTの出力特性

V_G の上昇と共にパンチスルー電圧 V_{PH} の上昇は、空間電荷領域内の正孔密度 p_{SC} の上昇による。
 ⇒コレクタ電圧の上昇に対し飽和コレクタ電流は緩やかに上昇する。

$$\begin{aligned}
 W_N &= 100 \mu\text{m} & W_{NB} &= 10 \mu\text{m} \\
 W_{Cell} &= 30 \mu\text{m} & L_{CH} &= 1.5 \mu\text{m} \\
 N_{AE} &= 1 \times 10^{19} \text{ cm}^{-3} & N_{NB} &= 1 \times 10^{17} \text{ cm}^{-3} \\
 N_D &= 5 \times 10^{13} \text{ cm}^{-3} \\
 V_{TH} &= 5 \text{ V} & \tau_{HL} &= 2 \mu\text{s} \quad (\text{N-ベース領域})
 \end{aligned}$$

$$\begin{aligned}
 V_G = 6.0 \text{ V}, & \quad p_{SC} = 4.74 \times 10^{13} \text{ cm}^{-3}, \quad BV_{SC} = 2593 \text{ V}, \quad V_{PT} = 425 \text{ V} \\
 V_G = 6.5 \text{ V}, & \quad p_{SC} = 1.07 \times 10^{14} \text{ cm}^{-3}, \quad BV_{SC} = 2391 \text{ V}, \quad V_{PT} = 474 \text{ V} \\
 V_G = 7.0 \text{ V}, & \quad p_{SC} = 1.90 \times 10^{14} \text{ cm}^{-3}, \quad BV_{SC} = 2161 \text{ V}, \quad V_{PT} = 542 \text{ V} \\
 V_G = 7.5 \text{ V}, & \quad p_{SC} = 2.97 \times 10^{14} \text{ cm}^{-3}, \quad BV_{SC} = 1931 \text{ V}, \quad V_{PT} = 630 \text{ V} \\
 V_G = 8.0 \text{ V}, & \quad p_{SC} = 4.28 \times 10^{14} \text{ cm}^{-3}, \quad BV_{SC} = 1716 \text{ V}, \quad V_{PT} = 737 \text{ V}
 \end{aligned}$$

非対称型IGBTの出力抵抗(1)

コレクタ電流密度

$$J_C(V_G, V_C) = \frac{J_{B,PNP}(V_G)}{1 - \alpha_{PNP}} = \frac{J_{B,PNP}(V_G)}{1 - (\gamma_{E,S} \alpha_{T,PNP} M)} \quad \alpha_{T,PNP} = \alpha_{T,N-Buffer} \alpha_{T,N-Base}$$

パンチスルー前⇒ コレクタ電流は $\alpha_{T,N-Base}(V_C)$ に依存 ($\because M \doteq 1$)

パンチスルー後⇒ コレクタ電流は $M(V_C)$ に依存 ($\because \alpha_{T,PNP}(V_C)=1$)

$\gamma_{E,S}$: 電圧依存性なし

$\alpha_{T,N-Buffer}$: 電圧依存性なし

パンチスルー前の特性出力抵抗 $R_{O,SP}$

$$R_{O,SP} = \left(\frac{dJ_C}{dV_C} \right)^{-1} = \frac{(1 - \gamma_{E,S} \alpha_{T,N-Buffer} \alpha_{T,N-Base})^2}{\gamma_{E,S} \alpha_{T,N-Buffer} J_{B,PNP} (d\alpha_{T,N-Base} / dV_C)}$$

$$\frac{d\alpha_{T,N-Base}}{dV_C} = \frac{J_{C0}}{L_a J_p (W_{NB} +)} \left(\frac{\mu_n K_{AS}}{\mu_n + \mu_p} \right) \frac{\tanh[(W_N - W_{SC}) / L_a]}{\cosh[(W_N - W_{SC}) / L_a]} \sqrt{\frac{\epsilon_S}{2q(N_D + p_{SC} - n_{SC})V_C}}$$

$$J_p(W_{NB} +) = J_p(W_{NB} -) = \gamma_{E,S} e^{-W_{NB}/L_{p,NB}} J_{C0}$$

非対称型IGBTの出力抵抗(2)

パンチスルー後の特性出力抵抗 $R_{O,SP}$

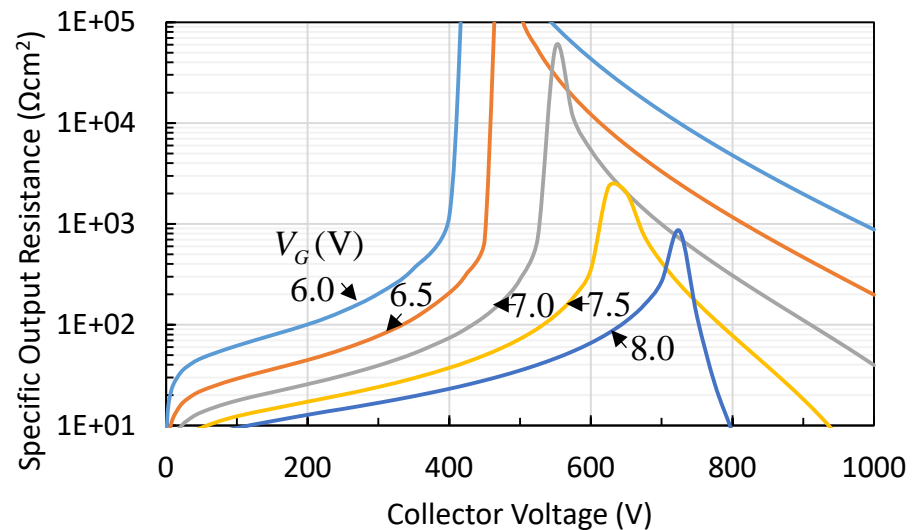
$$J_C(V_G, V_C) = \frac{J_{B,PNP}(V_G)(BV_{SC}^n - V_{NPT}^n)}{(1 - \gamma_{E,S}\alpha_{T,N-Buffer})BV_{SC}^n - V_{NPT}^n} \quad \therefore M = \frac{1}{1 - (V_{NPT}/BV_{SC})^n}$$

パンチスルー後の特性出力抵抗

$$R_{O,SP} = \left(\frac{dJ_C}{dV_C} \right)^{-1} = \frac{\left[(1 - \gamma_{E,S}\alpha_{T,N-Buffer})BV_{SC}^n - V_{NPT}^n \right]^2}{n\gamma_{E,S}\alpha_{T,N-Buffer}J_{B,PNP}BV_{SC}^n V_{NPT}^{n-1} (dV_{NPT}/dV_C)}$$

$$\frac{dV_{NPT}}{dV_C} = \frac{\epsilon_S}{qN_D W_N} \left[\frac{V_C}{W_N} - \frac{q(N_D + p_{SC} - n_{SC})W_N}{2\epsilon_S} \right]$$

非対称型IGBTの出力抵抗(3)



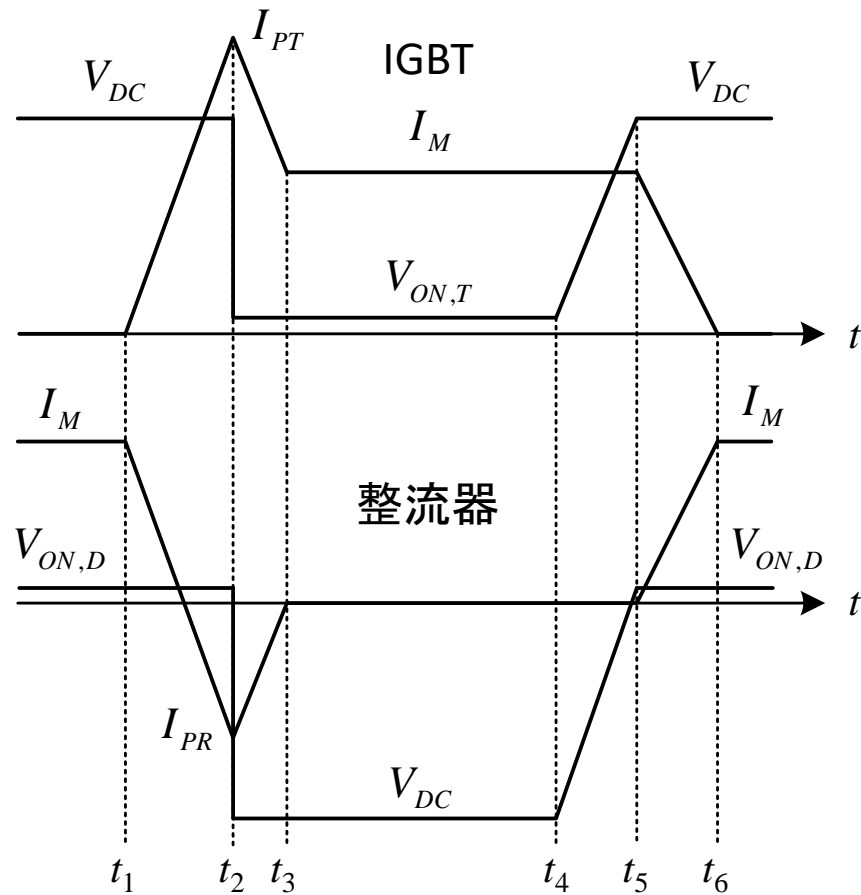
非対称型IGBTの特性出力抵抗

$$\begin{aligned}
 W_N &= 100 \mu\text{m} & W_{NB} &= 10 \mu\text{m} \\
 W_{Cell} &= 30 \mu\text{m} & L_{CH} &= 1.5 \mu\text{m} \\
 N_{AE} &= 1 \times 10^{19} \text{cm}^{-3} & N_{NB} &= 1 \times 10^{17} \text{cm}^{-3} \\
 N_D &= 5 \times 10^{13} \text{cm}^{-3} \\
 V_{TH} &= 5 \text{V} & \tau_{HL} &= 2 \mu\text{s} \quad (\text{N-ベース領域})
 \end{aligned}$$

低コレクタ電圧領域(パンチスルー前)でコレクタ電圧上昇
 ⇒特性出力抵抗上昇(空間電荷領域拡大: $\alpha_{TN-Base}(V_C)$ 上昇)

高コレクタ電圧領域(パンチスルー後)でコレクタ電圧上昇
 ⇒特性出力抵抗低下(キャリア増倍係数 $M(V_C)$ 増大)

スイッチング特性(ターンオン)(1)



モータ制御回路の中のターンオン・オフ時のIGBTと整流器の電圧電流波形

ターンオン時にドリフト領域へ注入される過剰多数キャリア密度 δn

$$\frac{\partial \delta n}{\partial t} = \frac{1}{q} \frac{\partial J_n}{\partial y} - \frac{\delta n}{\tau_n} \Rightarrow \frac{\partial \delta n}{\partial t} = D_n \frac{\partial^2 \delta n}{\partial y^2} - \frac{\delta n}{\tau_n} \quad \because J_n = qD_n \frac{\partial \delta n}{\partial y}$$

$$\Rightarrow \frac{\partial \delta n(y,t)}{\partial t} = D_n \frac{\partial^2 \delta n(y,t)}{\partial y^2} \quad \because \text{仮定: ターンオンの期間再結合なし}$$

$$\Rightarrow \delta n(y,t) = A(t)e^{-(y/\sqrt{4D_n t})}$$

P⁺ コレクタとN-ベース接合 J₁ (y=0) で高レベル注入の場合

$$J = J_n(0) = 2qD_n \left(\frac{\partial \delta n}{\partial y} \right)_{y=0} \Rightarrow J = 2qD_n \frac{A(t)}{\sqrt{4D_n t}}$$

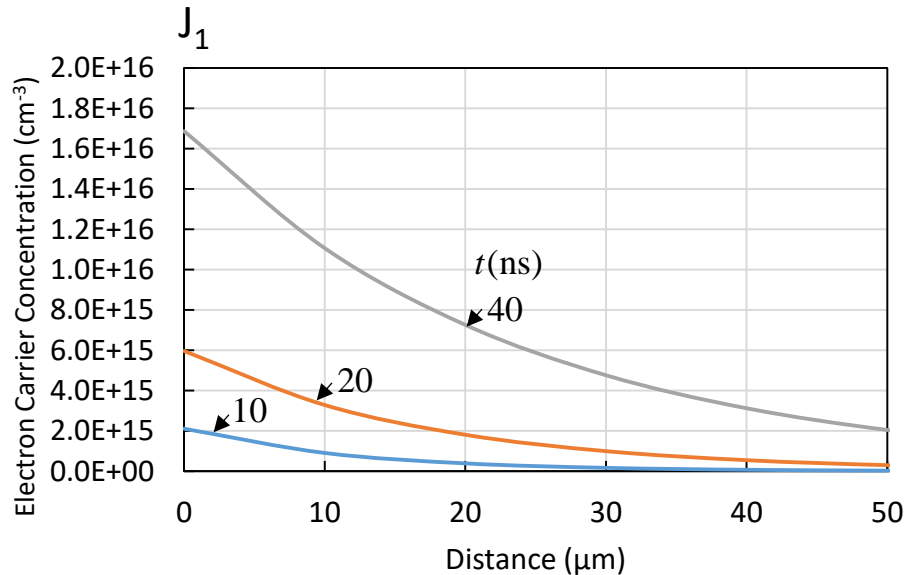
ターンオン(フォワード・リカバリ)時

(電流立上り期間が再結合ライフタイムより短い場合)

⇒ IGBTのドリフト領域で伝導度変調の発生なし

⇒ 電圧波形にオーバーシュート発生

スイッチング特性(ターンオン)(2)



対称IGBTフォワード・リカバリの間の電子密度分布

電流 Ramp rate = $2 \times 10^9 \text{ Acm}^{-2}\text{s}^{-1}$ $N_D = 5 \times 10^{13} \text{ cm}^{-3}$

N-ベース長(ドリフト長) = 200 μm

電子密度分布(ターンオン時線形に電流が上昇)

$$J = at \quad a: \text{定数 (Ramp rate)}$$

$$\Rightarrow A(t) = \frac{at^{3/2}}{q\sqrt{D_n}} \quad \Rightarrow \delta n(y,t) = \frac{at^{3/2}}{q\sqrt{D_n}} e^{-(y/\sqrt{4D_nt})}$$

$$\Rightarrow n(y,t) = \delta n(y,t) + N_D = \frac{at^{3/2}}{q\sqrt{D_n}} e^{-(y/\sqrt{4D_nt})} + N_D$$

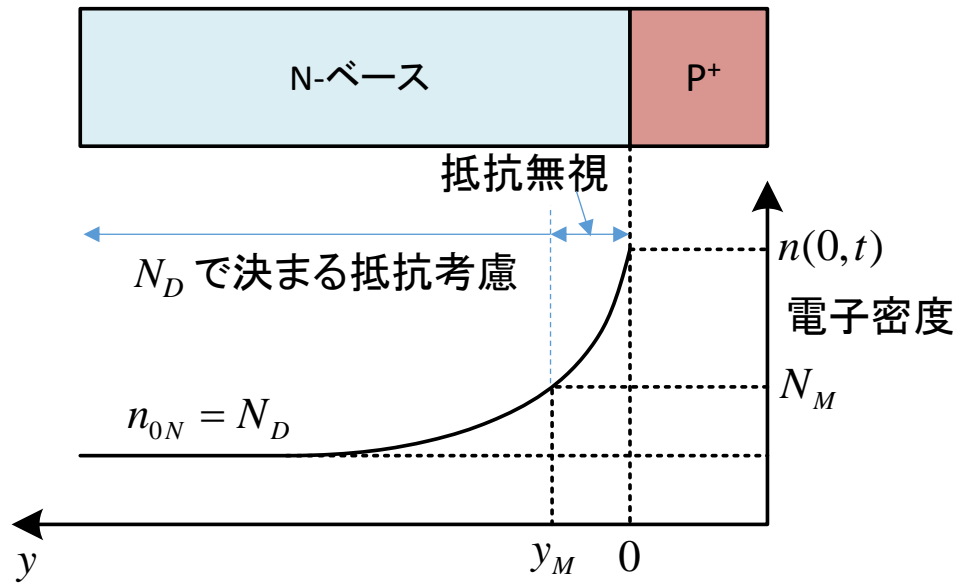
yにおける抵抗

$$dR = \rho(y)dy = \frac{dy}{q\mu_n(y,t)n(y,t)}$$

$$R_{N-Base} = \int_0^{W_N} dR = \int_0^{W_N} \frac{dy}{q\mu_n(y,t)n(y,t)}$$

⇒ 解析的に解けない

スイッチング特性(ターンオン)(3)



N_M : 伝導度変調電子密度

ターンオン時のN-ベース抵抗を解析的に解く簡易方法

- ・伝導度変調領域の抵抗無視

伝導度変調領域の定義 $\Rightarrow n \geq N_M$ ($0 \leq y \leq y_M$)

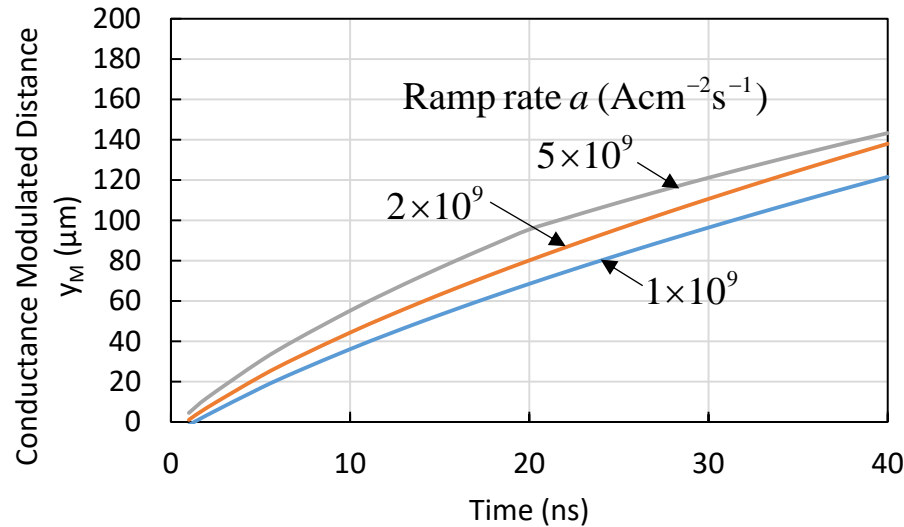
$$y_M(t) = \sqrt{4D_n t} \ln \left[\frac{at^{3/2}}{q\sqrt{D_n}(N_M - N_D)} \right]$$

- ・伝導度変調領域以外の領域の抵抗考慮

- ・N-ベース(ドリフト)領域の電圧降下

$$v_D(t) = R_{N-Base}(t)J_F(t)$$

スイッチング特性(ターンオン)(4)



$$N_D = 5 \times 10^{13} \text{ cm}^{-3}$$

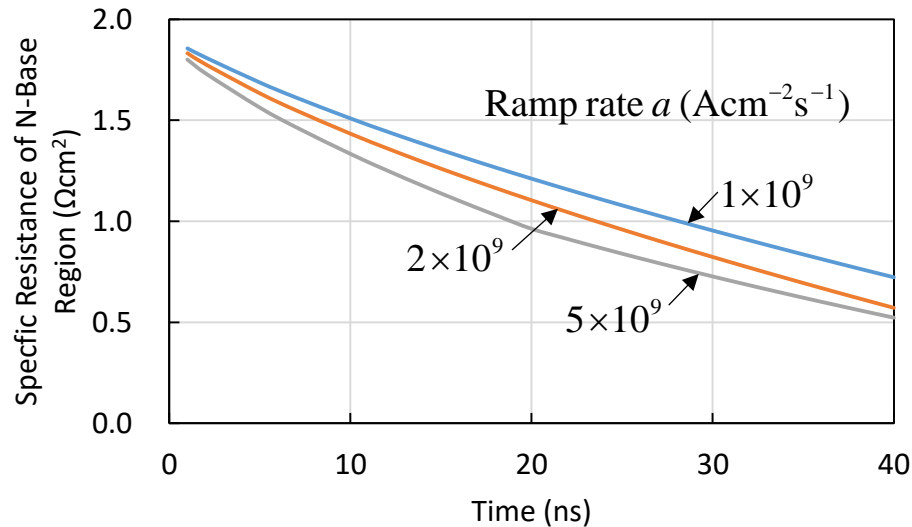
$$N_M = 1 \times 10^{14} \text{ cm}^{-3}$$

オン状態のコレクタ電流 = 100 A/cm^2

Ramp rate $5 \times 10^9 \text{ Acm}^{-2}\text{s}^{-1}$ の場合
 $\Rightarrow t=20 \text{ ns}$ で 100 Acm^{-2} に到達

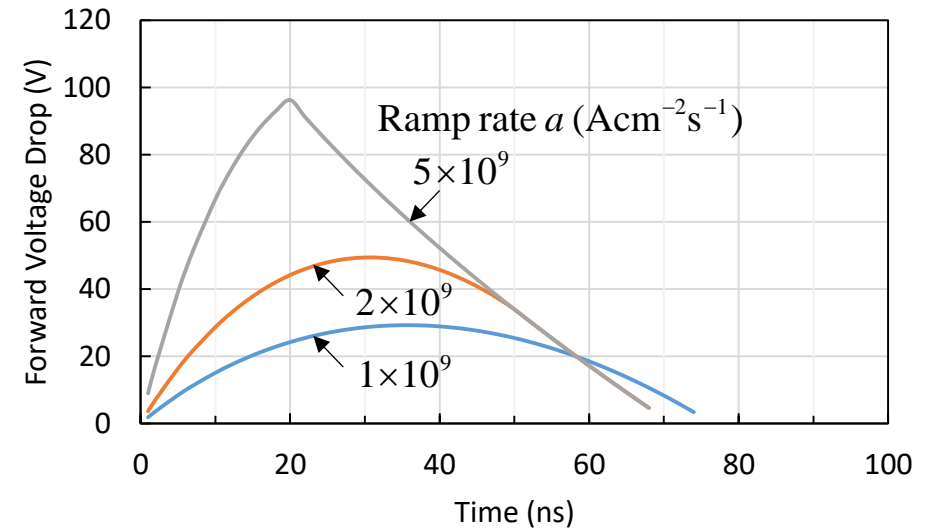
対称型IGBTターンオン(フォワード・リカバリ)時における
ドリフト領域の伝導度変調領域の成長

スイッチング特性(ターンオン)(5)



対称型IGBTターンオン(フォワード・リカバリ)時におけるドリフト領域の特性抵抗の時間変化

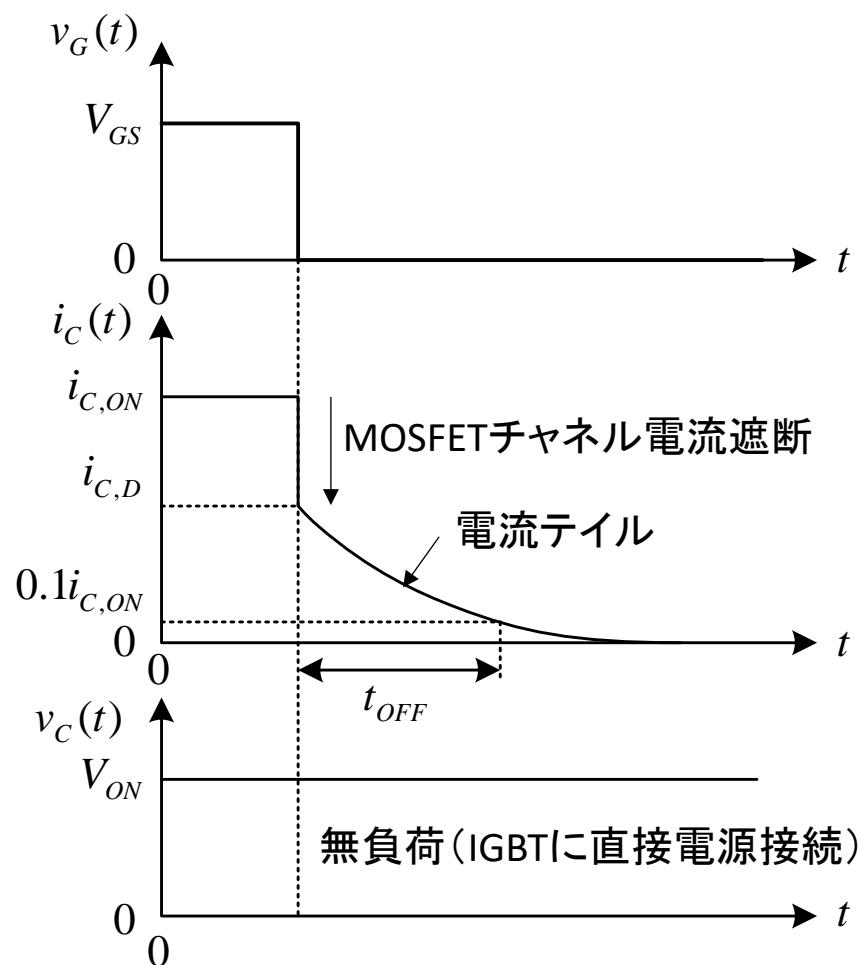
Ramp rate $5 \times 10^9 \text{ Acm}^{-2}\text{s}^{-1}$ の場合 $\Rightarrow t=20 \text{ ns}$ で 100 Acm^{-2} に到達
Ramp rate $2 \times 10^9 \text{ Acm}^{-2}\text{s}^{-1}$ の場合 $\Rightarrow t=50 \text{ ns}$ で 100 Acm^{-2} に到達



対称型IGBTターンオン(フォワード・リカバリ)時におけるドリフト領域の順方向電圧降下の時間変化

Ramp rateの上昇とともに電圧降下のピーク値も上昇
(この電圧降下のオーバーシュートは少数キャリアのライフタイムには関係しない)

スイッチング特性(ターンオフ:無負荷の場合)



MOSFETのチャネル電流 $I_{B,PNP}$
 (IGBT内部のPNPトランジスタのベース駆動電流)
 ⇒ ターンオフ時すぐに遮断

コレクタ電流 I_C
 (IGBT内部のPNPトランジスタのエミッタ電流)
 ⇒ コレクタ電流瞬時低下

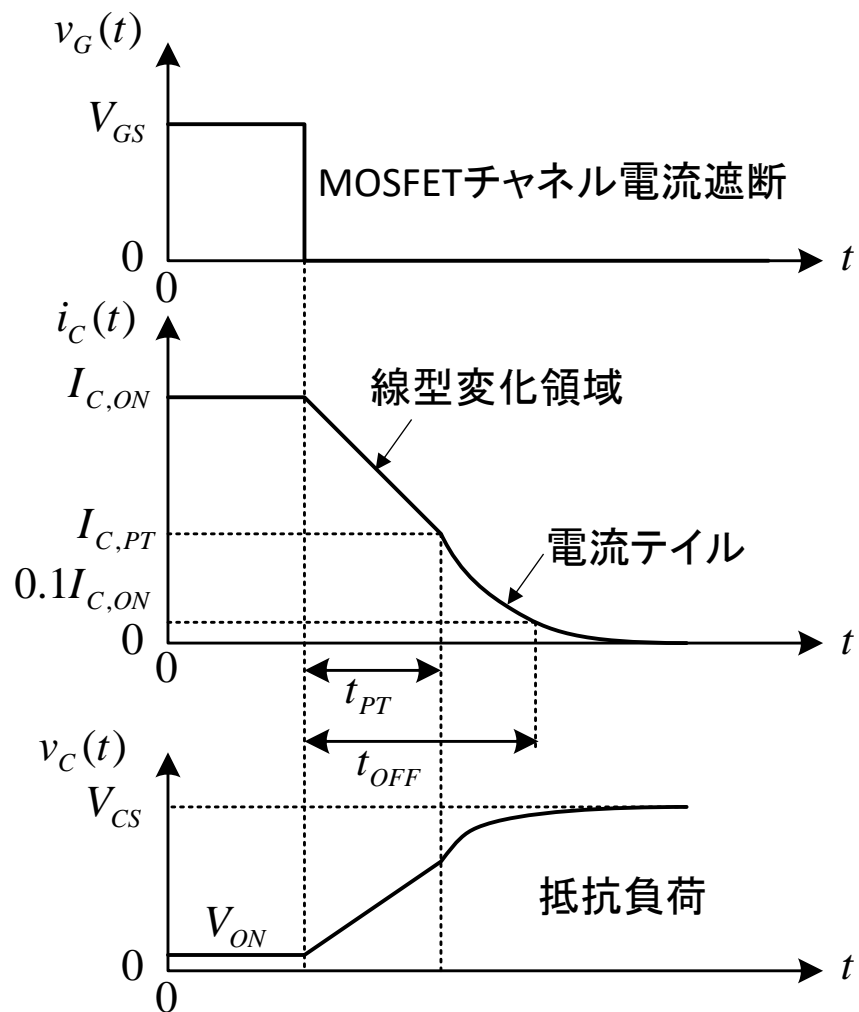
$$I_C = \frac{I_{B,PNP}}{1 - \alpha_{PNP,0}} \quad \Rightarrow \quad I_{B,PNP} = I_C (1 - \alpha_{PNP,0})$$

瞬時低下後の I_C

$\alpha_{PNP,0} = \gamma_E \alpha_T$: 低コレクタ電圧時のベース接地電流利得

⇒ コレクタ電流テイル
 時定数: 非対称型IGBTの場合、N-バッファ層内の
 再結合ライフタイムに依存(蓄積電荷の消滅)

スイッチング特性(ターンオフ: 抵抗負荷の場合)(1)



線型変化領域

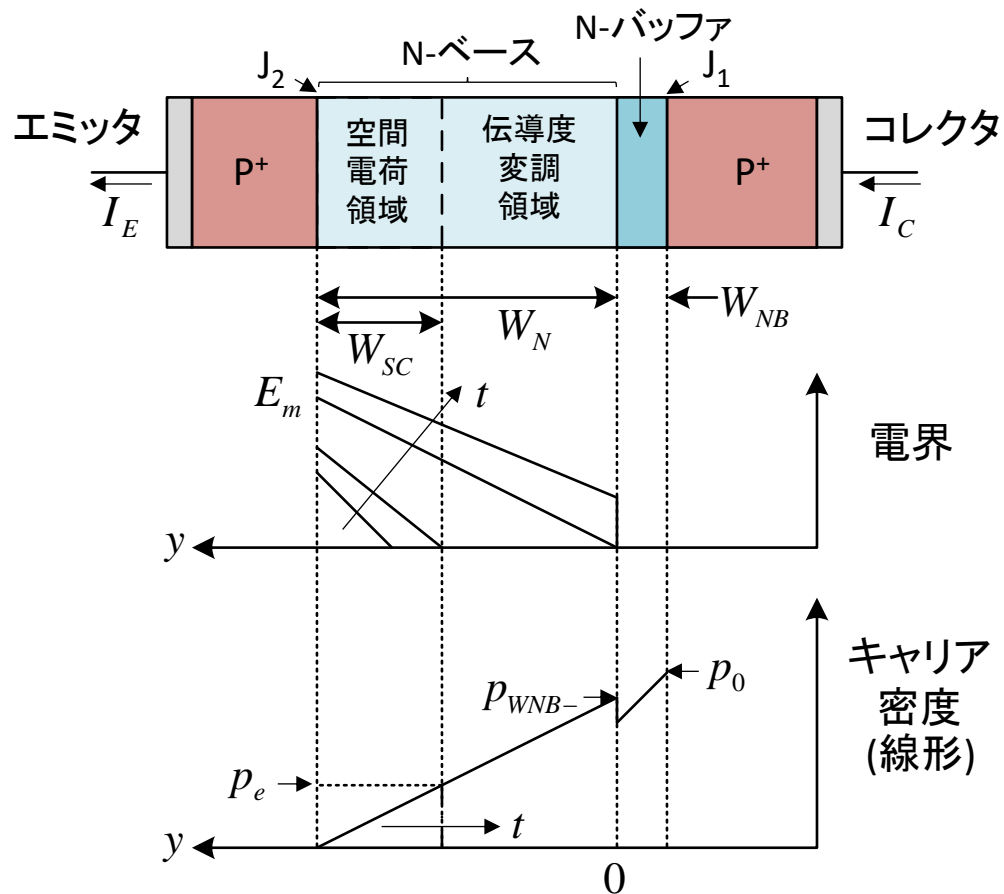
空間電荷領域がN-バッファ層にパンチスルーするまでの領域

電流テイル領域(パンチスルー後)

N-バッファ層内に残った蓄積電荷がその層内で再結合により消滅

非対称IGBTの抵抗負荷ターンオフ特性

スイッチング特性(ターンオフ: 抵抗負荷の場合)(2)



非対称IGBTターンオフ時抵抗負荷の蓄積電荷と電界分布

N-ベース領域内の正孔密度(オン状態)

- 仮定1: (1) N-ベース領域内の再結合を無視,
 (2) 空間電荷領域端で正孔密度=0, (3) 空間電荷領域幅=0

$$p(y) = p_{WNB+} \left(1 - \frac{y}{W_N} \right)$$

空間電荷領域端の正孔密度(ターンオフ過程)

- 仮定2: ターンオフ過程において、上記正孔密度分布はN-ベースの伝導度変調部分で変わらない。

$$p_e(t) = p_{WNB+} \frac{W_{SC}(t)}{W_N}$$

ターンオフ過程のコレクタ電流密度

$$J_C(t) = qp_e(t) \frac{dW_{SC}(t)}{dt} = qp_{WNB+} \left[\frac{W_{SC}(t)}{W_N} \right] \frac{dW_{SC}(t)}{dt}$$

(空間電荷領域拡張によって除去された電荷 ⇒ 電流に寄与)

スイッチング特性(ターンオフ: 抵抗負荷の場合)(3)

空間電荷領域幅

$$W_{SC}(t) = \sqrt{\frac{2\varepsilon_S v_{sat,p} [V_{CS} - J_C(t)R_L]}{qN_D v_{sat,p} + J_C(t)}} \quad \because W_{SC}(t) = \sqrt{\frac{2\varepsilon_S V_C(t)}{q[N_D + p_{SC}(t)]}} \quad V_C(t) = V_{CS} - J_C(t)R_L \quad p_{SC}(t) = \frac{J_C(t)}{qv_{sat,p}}$$

$$\Rightarrow J_C(t) = \frac{2\varepsilon_S v_{sat,p} V_{CS} - qN_D v_{sat,p} W_{SC}^2}{W_{SC}^2 + 2\varepsilon_S v_{sat,p} R_L} \quad R_L = \frac{V_{CS}}{J_{C,ON}} \quad \text{特性負荷抵抗}$$

空間電荷領域幅が満たす微分方程式

$$qp_{WNB+} \left[\frac{W_{SC}(t)}{W_N} \right] \frac{dW_{SC}(t)}{dt} = \frac{2\varepsilon_S v_{sat,p} V_{CS} - qN_D v_{sat,p} W_{SC}^2}{W_{SC}^2 + 2\varepsilon_S v_{sat,p} R_L}$$

$$\Rightarrow W_{SC}(t) = K_1 + K_2 e^{-t/\tau_R}$$

$$\Rightarrow W_{SC}(t) = K_1 (1 - e^{-t/\tau_R}) \quad \because W_{SC}(0) = 0$$

$$\left\{ \begin{array}{l} K_1 = \sqrt{\frac{2\varepsilon_S V_{CS}}{qN_D}} = W_D(V_{CS}) \\ \tau_R = \frac{p_{WNB+} \varepsilon_S (V_{CS} + qv_{sat,p} N_D R_L)}{qv_{sat,p} W_N N_D^2} \end{array} \right.$$

$W_{SC}(t)$ の増大の割合: 時間の増大とともに遅くなる。 $\because p_e$ の増大と J_C の低下

スイッチング特性(ターンオフ:抵抗負荷の場合)(4)

コレクタ電流密度の時間変化
(空間電荷領域がN-バッファ層にパンチスルーするまで有効)

$$J_C(t) = \frac{qN_D v_{sat,p} V_{CS} \left[1 - \left(1 - e^{-t/\tau_R} \right)^2 \right]}{V_{CS} \left(1 - e^{-t/\tau_R} \right)^2 + qN_D v_{sat,p} R_L} \Rightarrow J_C(t) \text{ は } V_{CS} \text{ 依存}$$

パンチスルー時間
(空間電荷領域がN-バッファ層にパンチスルーするまでの時間)

$$t_{PT} = \tau_R \ln \left[\frac{W_D(V_{CS})}{W_D(V_{CS}) - W_N} \right] \Rightarrow t_{PT} \text{ は } V_{CS} \text{ 依存}$$

パンチスルー発生時点のコレクタ電流密度

$$J_{C,PT} = \frac{2\varepsilon_S v_{sat,p} V_{CS} - qN_D v_{sat,p} W_N^2}{W_N^2 + 2\varepsilon_S v_{sat,p} R_L} \Rightarrow J_{C,PT} \text{ は } V_{CS} \text{ 依存}$$

パンチスルー発生後のコレクタ電流密度の時間変化

$$J_C(t) = J_{C,PT} e^{-t/\tau_{p0,NB}} \left\{ \begin{array}{l} \text{N-バッファ層内へは電界が入り込まない。} \\ \text{低レベル注入} \end{array} \right.$$

パンチスルー発生後からターンオフするまでの時間

(ターンオフ:オン状態のコレクタ電流 $J_{C,ON} \Rightarrow 0.1J_{C,ON}$)

$$\tau_{off,R} = \tau_{p0,NB} \ln \left(\frac{J_{C,PT}}{0.1J_{C,ON}} \right)$$

$$\tau_{p0,NB} = \frac{\tau_{p0,N}}{1 + (N_{D,NB}/N_S)}$$

ターンオフ時間

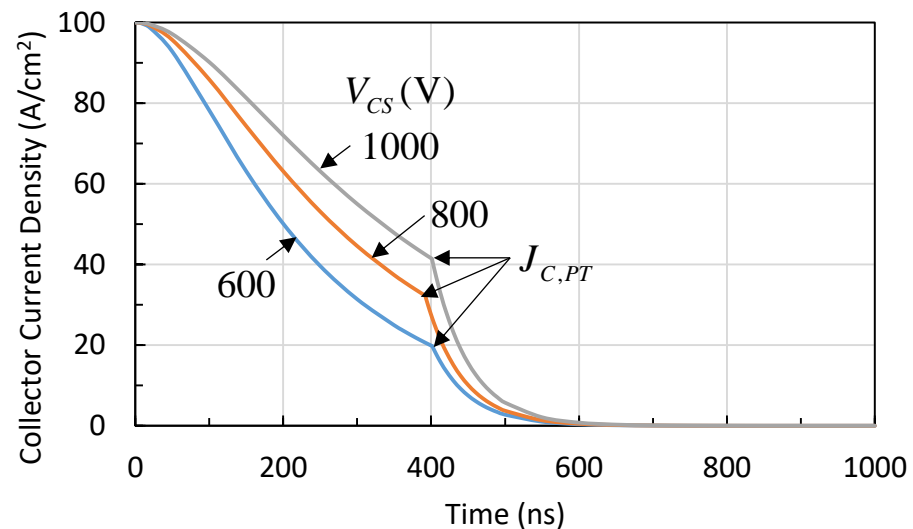
$$t_{OFF} = t_{PT} + \tau_{off,R}$$

$\tau_{p0,NB}$: N-バッファ層内の少数キャリア・ライフタイム

$\tau_{p0,N}$: N-ベース領域内の少数キャリア・ライフタイム

N_S : ライフタイム・スケール・ファクタ

スイッチング特性(ターンオフ: 抵抗負荷の場合)(5)



$$N_{D,NB} = 1 \times 10^{17} \text{ cm}^{-3}$$

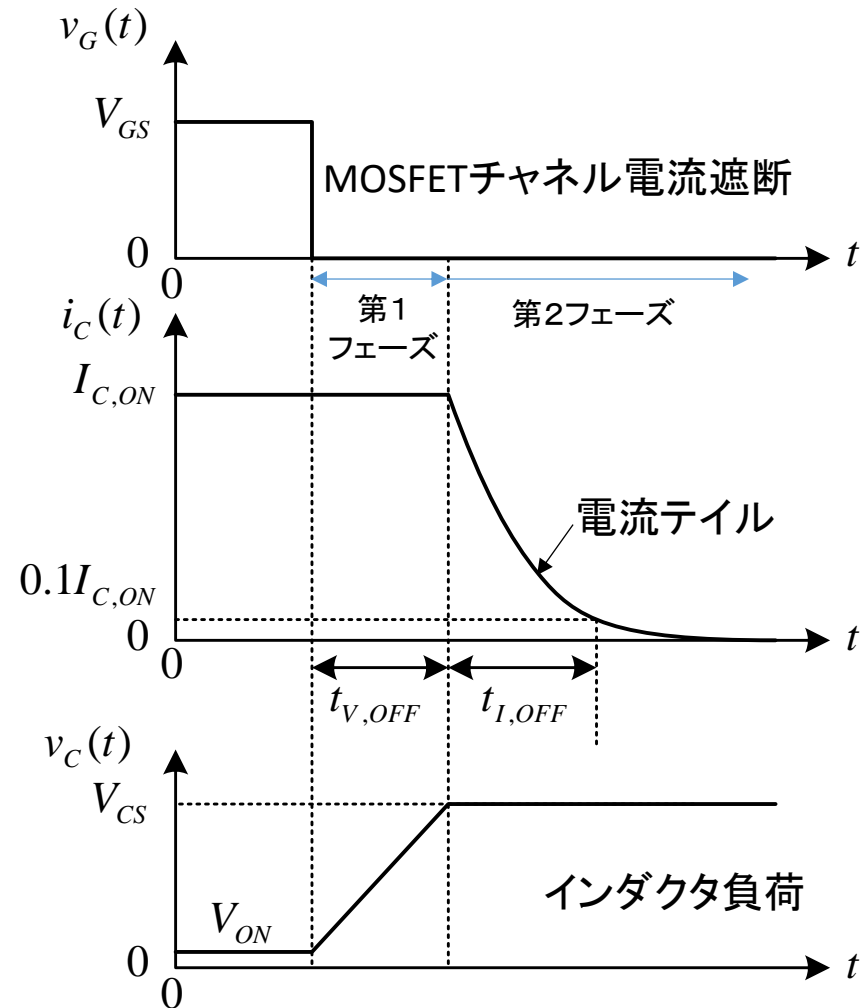
$$J_{C,ON} = 100 \text{ A/cm}^2$$

$$\tau_{p0,N} = 1 \mu\text{s}$$

$$W_N = 100 \mu\text{m}$$

非対称IGBTの抵抗負荷ターンオフ時のコレクタ電流密度波形

スイッチング特性 (ターンオフ: インダクタ負荷の場合): 対称型IGBTの場合 (1)



IGBTのインダクタ負荷ターンオフ特性

(1) 第1フェーズ:

ゲート・ターンオフ~コレクタ電圧がコレクタ供給電圧に到達

コレクタ電流

⇒一定値で流れ続ける(∵インダクタ負荷)

(MOSFETチャネル電流遮断→正孔電流がコレクタ電流に寄与)

コレクタ電圧

⇒線形でコレクタ供給電圧(+ダイオード順方向電圧)まで上昇

(P-ベースとN-ベース接合(J_2)における空間電荷がこの上昇電圧をサポート)

(2) 第2フェーズ:コレクタ電圧がコレクタ供給電圧に到達後

コレクタ電流

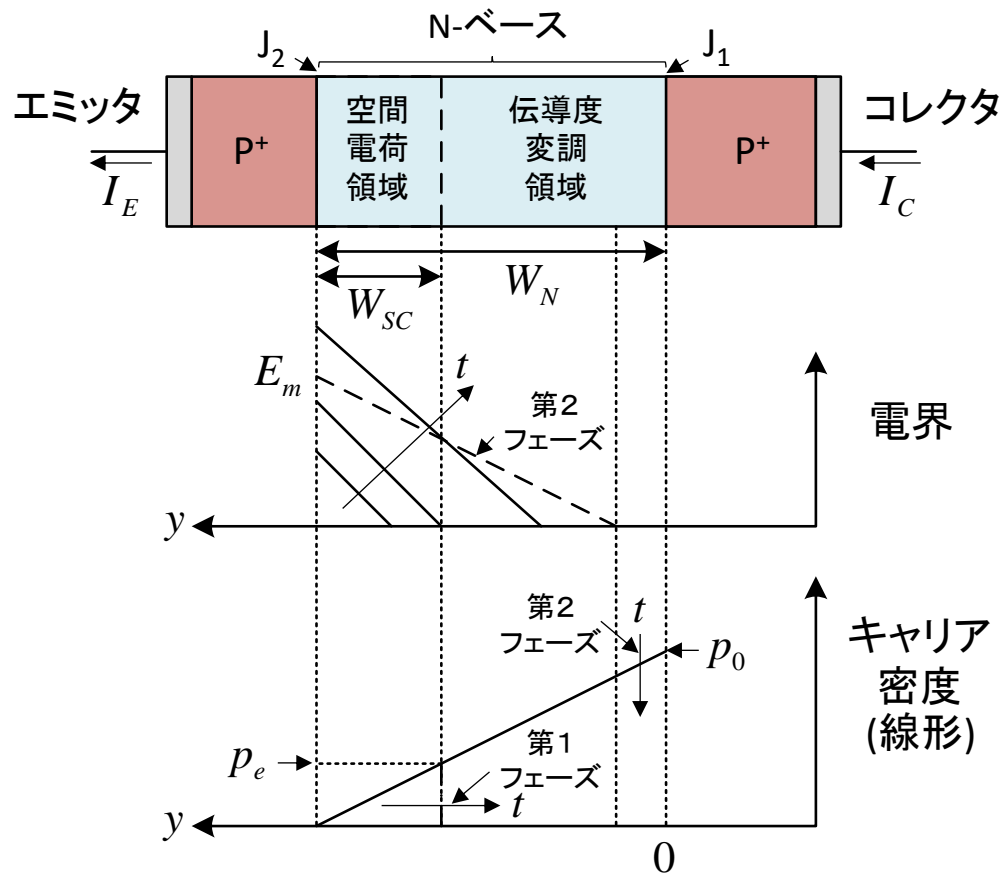
⇒IGBTからダイオードに移り、指数関数的に低下

(時定数はP+コレクタとN-ベース接合近傍のN-ベース領域内にある蓄積電荷の再結合時間に依存)

コレクタ電圧

⇒コレクタ供給電圧(+ダイオード順方向電圧)で一定

スイッチング特性 (ターンオフ: インダクタ負荷の場合): 対称型IGBTの場合 (2)



対称型IGBTターンオフ時インダクタ負荷の蓄積電荷と電界分布

オン状態

- ・N-ベース領域の再結合無視
⇒N-ベース領域のキャリア(正孔)は線形分布
- ・空間電荷幅≒0
- ・空間電荷領域端でキャリア(正孔)密度≒0

伝導度変調領域内の正孔密度分布 ⇒ $p(y) = p_0 \left(1 - \frac{y}{W_N} \right)$

第1フェーズ

- ・N-ベース(伝導度変調)領域の上記正孔分布は変わらない

空間電荷領域端の正孔密度 ⇒ $p_e(y) = p_0 \left(\frac{W_{SC}(t)}{W_N} \right)$

正孔電流密度

$$\Rightarrow J_{C,ON} = qp_e(y) \frac{dW_{SC}(t)}{dt} = qp_0 \left(\frac{W_{SC}(t)}{W_N} \right) \frac{dW_{SC}(t)}{dt}$$

スイッチング特性 (ターンオフ: インダクタ負荷の場合): 対称型IGBTの場合 (3)

第1フェーズ

空間電荷幅の時間変化 (空間電荷幅 $\doteq 0$ (at $t=0$))

$$W_{SC}(t) = \sqrt{\frac{2W_N J_{C,ON} t}{q p_0}}$$

空間電荷層によってサポートされるコレクタ電圧

$$V_C(t) = \frac{q(N_D + p_{SC})W_{SC}^2(t)}{2\varepsilon_s} \quad p_{SC} = \frac{J_{C,ON}}{qv_{sat,p}} \quad p_{SC}: \text{一定} (\because J_{C,ON} \text{一定 (第1フェーズ)})$$

$$\Rightarrow V_C(t) = \frac{W_N(N_D + p_{SC})J_{C,ON}}{\varepsilon_s p_0} t \quad \Rightarrow \text{コレクタ電圧は時間で線形に増大}$$

第1フェーズの期間

$$t_{V,OFF} = \frac{\varepsilon_s p_0 V_{CS}}{W_N(N_D + p_{SC})J_{C,ON}} \quad \Rightarrow t_{V,OFF}: V_{CS} \text{に比例}$$

第1フェーズ終了後の空間電荷幅

$$W_{SC}(t_{V,OFF}) = \sqrt{\frac{2\varepsilon_s V_{CS}}{q(N_D + p_{SC})}}$$

$W_{SC}(t_{V,OFF}) < W_N$
N-ベース領域のリーチスルーを防ぐために必要

スイッチング特性 (ターンオフ: インダクタ負荷の場合): 対称型IGBTの場合 (4)

第2フェーズ(コレクタ電流はN-ベース領域内の再結合に依存)

N-ベース領域における正孔の連続の式(拡散成分無視)

$$\frac{d\delta p_N}{dt} = -\frac{\delta p_N}{\tau_{HL}} \quad \Rightarrow \delta p_N(t) \approx p_N(t) = p_0 e^{-t/\tau_{HL}}$$

δp_N : N-ベース領域内の過剰正孔密度

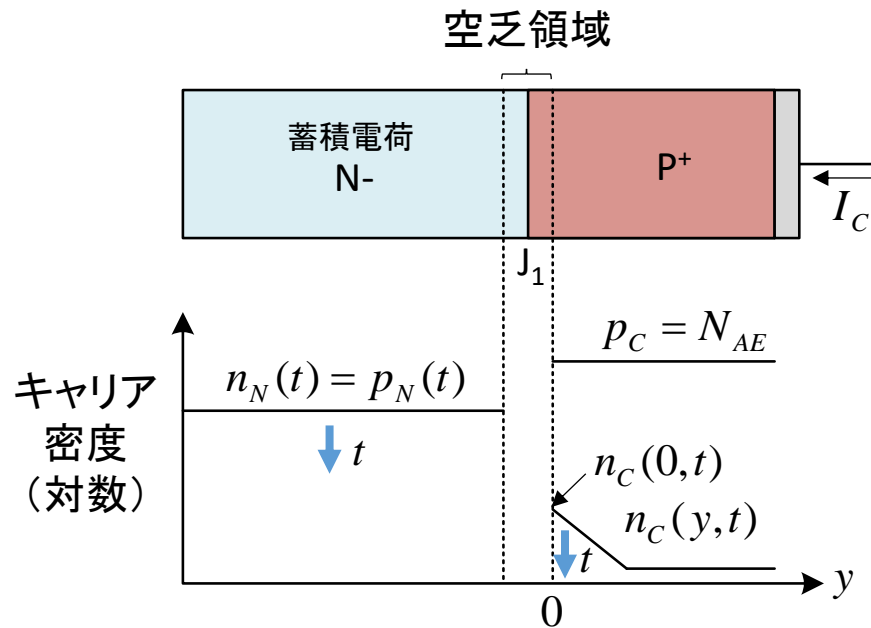
J_1 における電子・正孔密度の関係

$$\frac{p_C}{p_N(t)} = \frac{n_N(t)}{n_C(0,t)} = e^{qV_C/kT} \quad \Rightarrow n_C(0,t) = \frac{n_N(t)p_N(t)}{N_{AE}} = \frac{p_N^2(t)}{N_{AE}}$$

N-ベース領域の正孔の再結合 \Rightarrow P+ コレクタ領域の電子電流

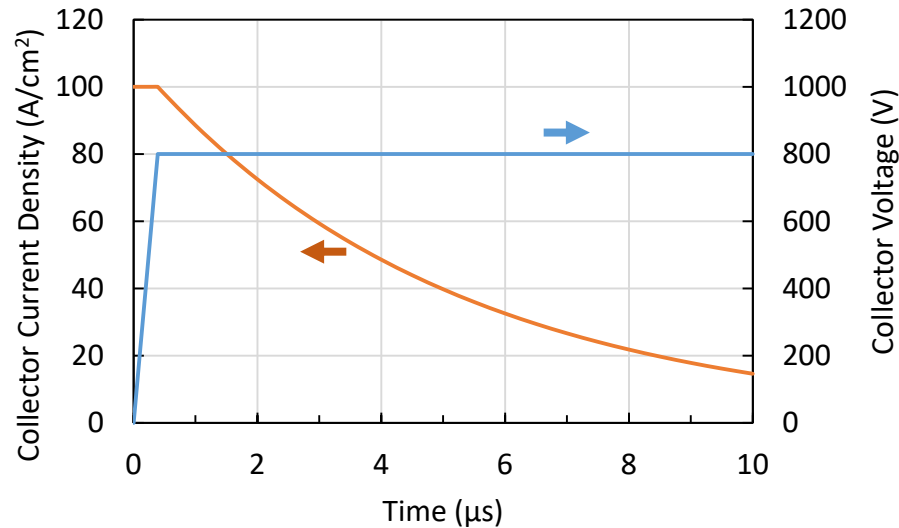
$$J_C(t) = -qD_{nE} \frac{\partial n_C(y,t)}{\partial y} \Big|_{y=0} = \frac{qD_{nE} n_C(0,t)}{L_{nE}} = \frac{qD_{nE} p_N^2(t)}{L_{nE} N_{AE}}$$

$$= \frac{qD_{nE} p_0^2(t)}{L_{nE} N_{AE}} e^{-2t/\tau_{HL}} = J_{C,ON} e^{-2t/\tau_{HL}} \quad \because n_C(y,t) = n_C(0,t) e^{-y/L_{nE}} \quad (\text{低レベル注入})$$



対称型IGBTターンオフ第2フェーズのP+コレクタと
N-ベース接合におけるキャリア密度分布

スイッチング特性 (ターンオフ: インダクタ負荷の場合): 対称型IGBTの場合 (5)



対称型IGBTのターンオフにおけるコレクタ電流と電圧

コレクタ電流ターンオフ時間
(0.1 × オン状態コレクタ電流に至る時間)

$$t_{I,OFF} = \frac{\tau_{HL}}{2} \ln(10) = 1.15\tau_{HL}$$

(高レベルライフタイムのみに依存)

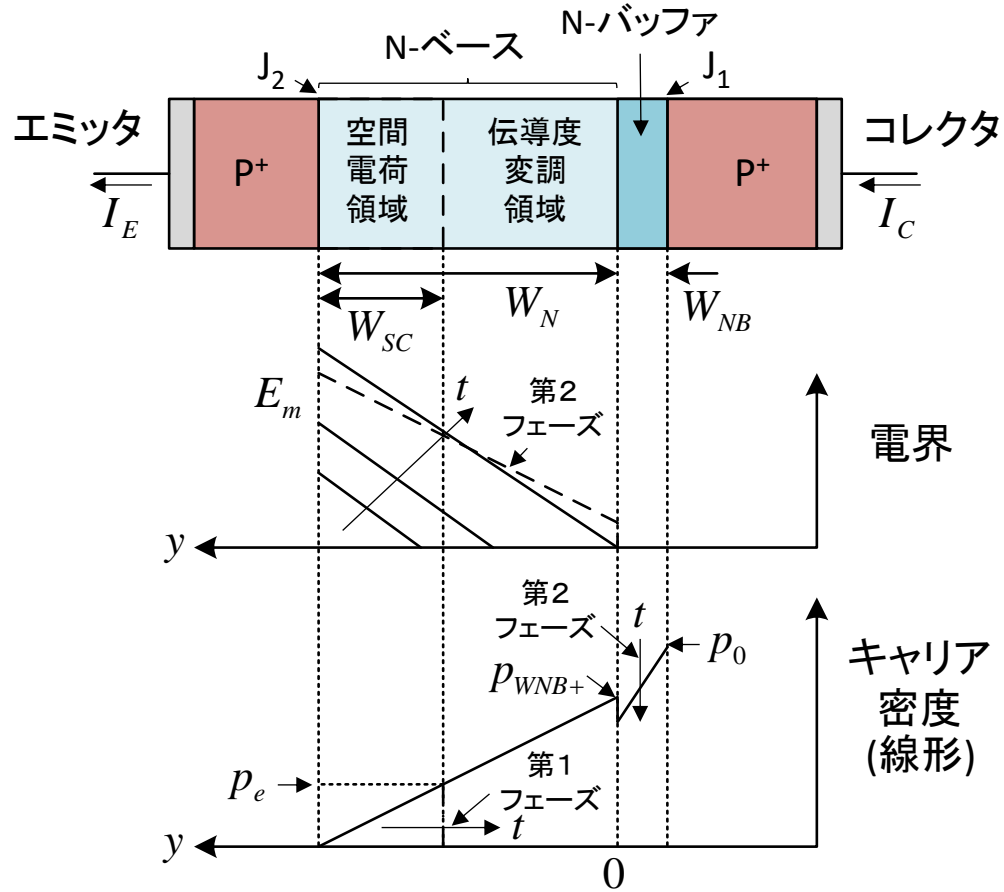
$$N_D = 5 \times 10^{13} \text{ cm}^{-3} \quad p_0 = 1.06 \times 10^{17} \text{ cm}^{-3}$$

$$p_{SC} = 6.25 \times 10^{13} \text{ cm}^{-3}$$

$$J_{C,ON} = 100 \text{ A/cm}^2 \quad W_N = 200 \text{ μm}$$

$$\tau_{HL} = 10 \text{ μs} \quad t_{I,OFF} = 11.5 \text{ μs}$$

スイッチング特性 (ターンオフ: インダクタ負荷の場合): 非対称型IGBTの場合 (1)



非対称型IGBTターンオフ時インダクタ負荷の蓄積電荷と電界分布

オン状態

- ・N-ベース領域の再結合無視
⇒ N-ベース領域のキャリア(正孔)は線形分布
- ・空間電荷幅 ≈ 0
- ・空間電荷領域端でキャリア(正孔)密度 ≈ 0

伝導度変調領域内の正孔密度分布 $\Rightarrow p(y) = p_{WNB+} \left(1 - \frac{y}{W_N} \right)$

第1フェーズ

- ・N-ベース(伝導度変調)領域の上記正孔分布は変わらない

空間電荷領域端の正孔密度 $\Rightarrow p_e(y) = p_{WNB+} \left(\frac{W_{SC}(t)}{W_N} \right)$

正孔電流密度

$$\Rightarrow J_{C,ON} = qp_e(y) \frac{dW_{SC}(t)}{dt} = qp_{WNB+} \left(\frac{W_{SC}(t)}{W_N} \right) \frac{dW_{SC}(t)}{dt}$$

スイッチング特性 (ターンオフ: インダクタ負荷の場合): 非対称型IGBTの場合 (2)

第1フェーズ

空間電荷幅の時間変化 (空間電荷幅 $\doteq 0$ (at $t=0$))

$$W_{SC}(t) = \sqrt{\frac{2W_N J_{C,ON} t}{qP_{WNB+}}}$$

空間電荷層によってサポートされるコレクタ電圧

$$V_C(t) = \frac{q(N_D + p_{SC})W_{SC}^2(t)}{2\varepsilon_S} \quad p_{SC} = \frac{J_{C,ON}}{qv_{sat,p}} \quad p_{SC}: \text{一定} (\because J_{C,ON} \text{一定 (第1フェーズ)})$$

$$\Rightarrow V_C(t) = \frac{W_N(N_D + p_{SC})J_{C,ON}}{\varepsilon_S P_{WNB+}} t \quad \Rightarrow \text{コレクタ電圧は時間で線形に増大}$$

第1フェーズの期間

$$t_{V,OFF} = \frac{\varepsilon_S P_{WNB+} V_{CS}}{W_N(N_D + p_{SC})J_{C,ON}} \quad \Rightarrow t_{V,OFF}: V_{CS} \text{に比例}$$

第1フェーズ終了後の空間電荷幅

$$W_{SC}(t_{V,OFF}) = \sqrt{\frac{2\varepsilon_S V_{CS}}{q(N_D + p_{SC})}} \quad W_{SC}(t_{V,OFF}) < W_N$$

左式は上記の場合に成立

スイッチング特性 (ターンオフ: インダクタ負荷の場合): 非対称型IGBTの場合 (3)

第2フェーズ(コレクタ電流はN-バッファ領域内の再結合に依存)

N-ベース領域における正孔の連続の式(拡散成分無視)

$$\frac{d\delta p_{NB}}{dt} = -\frac{\delta p_{NB}}{\tau_{p0,NB}} \Rightarrow \delta p_{NB}(y_N, t) \approx p_{NB}(y_N, t) = p(y_N) e^{-t/\tau_{p0,NB}}$$

δp_{NB} : N-バッファ領域内の過剰正孔密度

J_1 における電子・正孔密度の関係

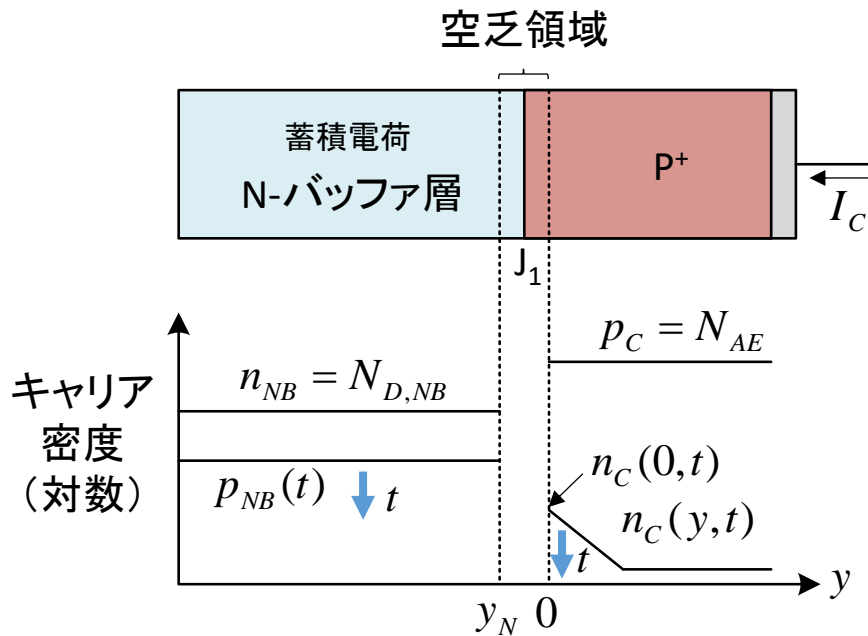
$$\frac{p_C}{p_{NB}(y_N, t)} = \frac{n_{NB}}{n_C(0, t)} = e^{qV_C/kT} \Rightarrow n_C(0, t) = \frac{N_{D,NB} p_{NB}(y_N, t)}{N_{AE}}$$

N-バッファ領域の正孔の再結合 \Rightarrow P⁺ コレクタ領域の電子電流

$$J_C(t) = -qD_{nE} \left. \frac{\partial n_C(y, t)}{\partial y} \right|_{y=0} = \frac{qD_{nE} n_C(0, t)}{L_{nE}} = \frac{qD_{nE} N_{D,NB} p_{NB}(y_N, t)}{L_{nE} N_{AE}}$$

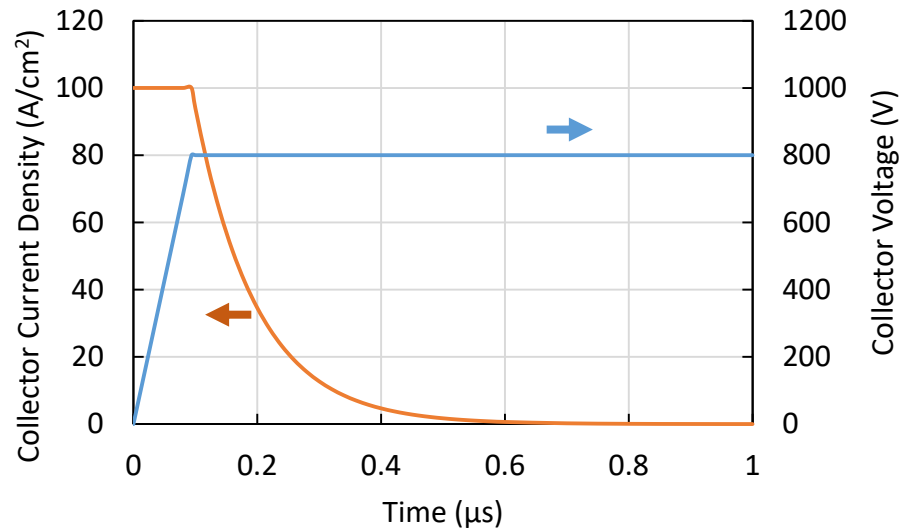
$$= \frac{qD_{nE} N_{D,NB} p(y_N)}{L_{nE} N_{AE}} e^{-t/\tau_{p0,NB}} = J_{C,ON} e^{-t/\tau_{p0,NB}} \quad \because n_C(y, t) = n_C(0, t) e^{-y/L_{nE}}$$

(低レベル注入)



非対称型IGBTターンオフ第2フェーズのP⁺コレクタと
N-ベース接合におけるキャリア密度分布

スイッチング特性 (ターンオフ: インダクタ負荷の場合): 非対称型IGBTの場合 (4)



非対称型IGBTのターンオフにおけるコレクタ電流と電圧

コレクタ電流ターンオフ時間
(0.1 × オン状態コレクタ電流に至る時間)

$$t_{I,OFF} = \tau_{p0,NB} \ln(10) = 2.3\tau_{p0,NB}$$

(N-バッファ領域の少数キャリアライフタイムのみに依存)

$$N_D = 5 \times 10^{13} \text{ cm}^{-3} \quad N_{NB} = 1 \times 10^{17} \text{ cm}^{-3}$$

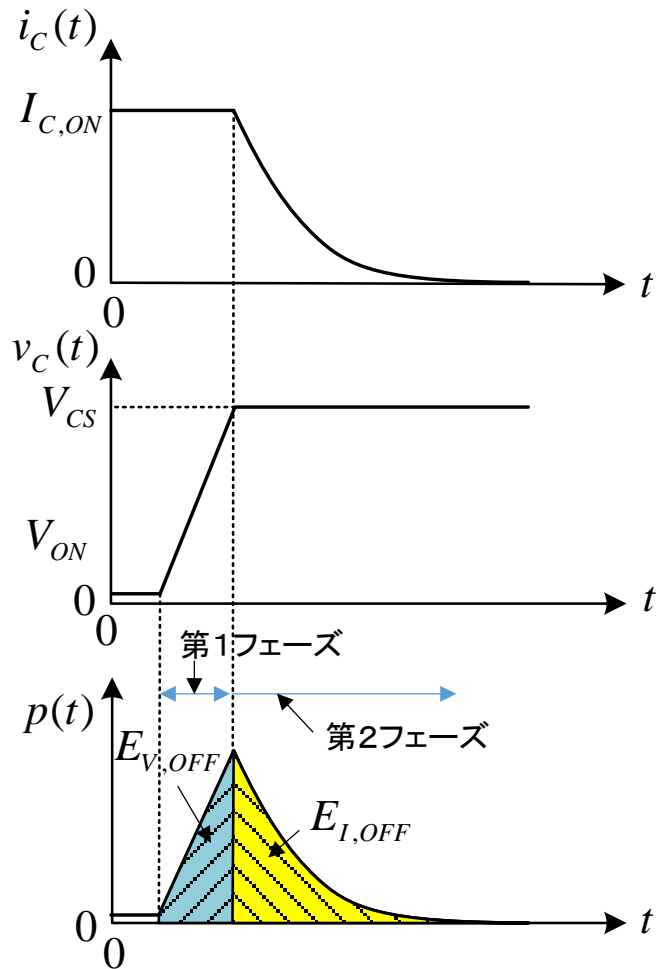
$$p_{SC} = 6.25 \times 10^{13} \text{ cm}^{-3} \quad p_{WNB+} = 1.27 \times 10^{16} \text{ cm}^{-3}$$

$$J_{C,ON} = 100 \text{ A/cm}^2 \quad W_N = 100 \text{ μm} \quad W_{NB} = 10 \text{ μm}$$

$$\tau_{p0,NB} = 0.1 \text{ μs} \quad t_{I,OFF} = 0.23 \text{ μs}$$

$$\tau_{HL} = 2 \text{ μs} \quad (\text{N-ベース領域})$$

ターンオフ期間のエネルギー損失



ターンオフ期間のエネルギー損失

第1フェーズ

$$E_{V,OFF} = \frac{1}{2} J_{C,ON} V_{CS} t_{V,OFF}$$

第2フェーズ

$$E_{I,OFF} = \int_0^{\infty} V_{CS} J_C(t) dt$$

第2フェーズ

対称型IGBT

$$E_{I,OFF} = J_{C,ON} V_{CS} \tau_{OFF} = J_{C,ON} V_{CS} \left(\frac{\tau_{HL,N-Base}}{2} \right)$$

$$\because J_C(t) = J_{C,ON} e^{-t/\tau_{OFF}}$$

非対称型IGBT

$$E_{I,OFF} = J_{C,ON} V_{CS} \tau_{OFF} = J_{C,ON} V_{CS} \tau_{p0,N-Buffer}$$

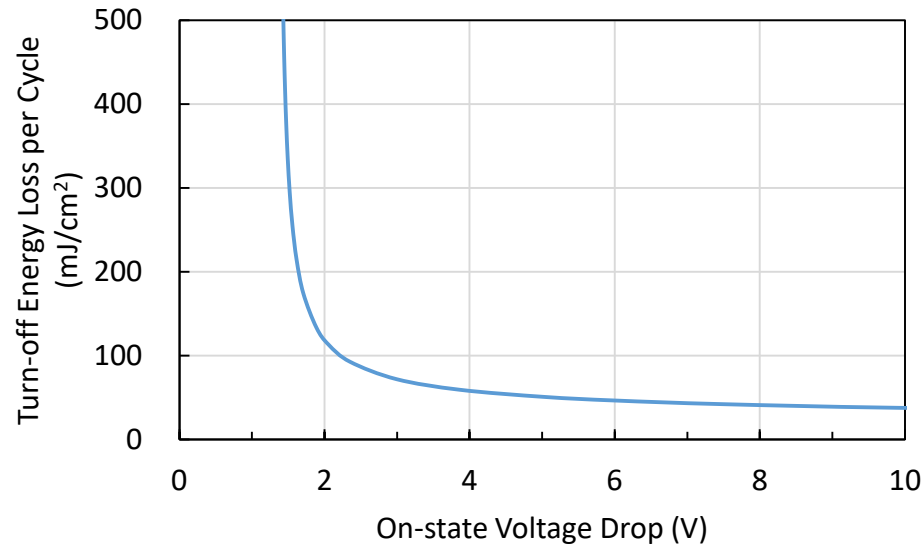
$$\because J_C(t) = J_{C,ON} e^{-t/\tau_{OFF}}$$

ターンオフ期間のエネルギー損失比較

構造	$t_{V,OFF}$ (μs)	$E_{V,OFF}$ (mJ/cm^2)	$t_{I,OFF}$ (μs)	$E_{I,OFF}$ (mJ/cm^2)	E_{OFF} (mJ/cm^2)
対称型IGBT	0.390	15.6	11.5	400	416
非対称型IGBT	0.094	3.8	0.23	8.0	11.8

インダクタ負荷 $J_{C,ON} = 100 \text{ A}/\text{cm}^2$ $V_{CS} = 800 \text{ V}$

パワー損失の最適化

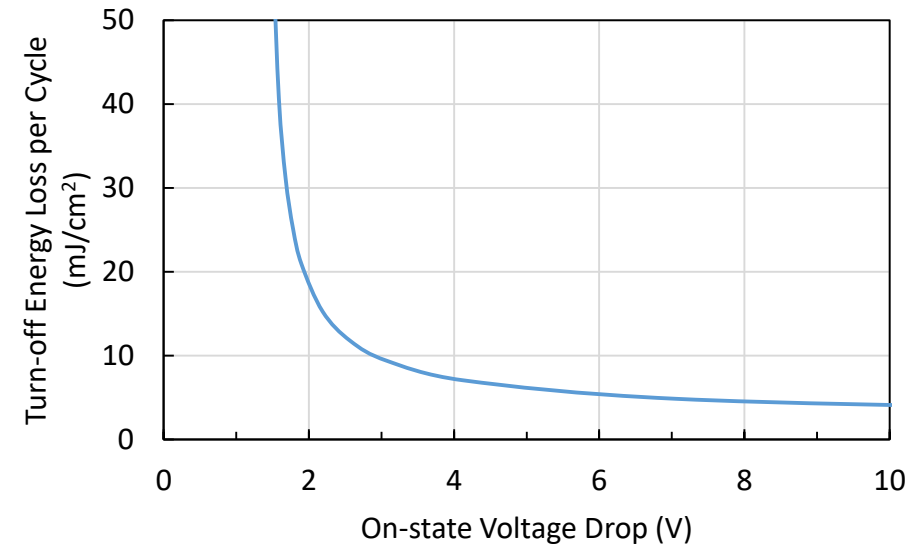


対称型IGBTの1周期当たりのターンオフ・エネルギー損失
とオン状態の電圧降下のトレードオフ

ブロッキング電圧: 1200V対応 $W_N = 200 \mu\text{m}$

ターンオフとオン状態の損失 \Rightarrow トレードオフ関係 (IGBT内部構造に依存)

ターンオン損失 \Rightarrow フライバック・ダイオードの逆回復特性に依存



非対称型IGBTの1周期当たりのターンオフ・エネルギー損失
とオン状態の電圧降下のトレードオフ

ブロッキング電圧: 1200V対応 $W_N = 100 \mu\text{m}$ $W_{NB} = 10 \mu\text{m}$

低周波スイッチング動作 \Rightarrow オン状態損失増大

高周波スイッチング動作 \Rightarrow ターンオフ損失増大